



HAL
open science

Rapport de fouilles. 3e Campagne de fouilles de la Mission Archéologique Française d'Halaesa

Michela Costanzi, Vincent Michel, Frédéric Gerber

► To cite this version:

Michela Costanzi, Vincent Michel, Frédéric Gerber. Rapport de fouilles. 3e Campagne de fouilles de la Mission Archéologique Française d'Halaesa. Université de Picardie Jules Verne; Inrap. 2018. hal-04303573

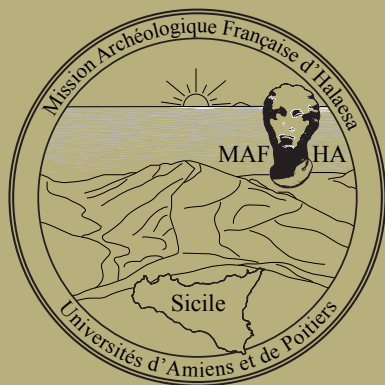
HAL Id: hal-04303573

<https://u-picardie.hal.science/hal-04303573>

Submitted on 26 Nov 2023

HAL is a multi-disciplinary open access archive for the deposit and dissemination of scientific research documents, whether they are published or not. The documents may come from teaching and research institutions in France or abroad, or from public or private research centers.

L'archive ouverte pluridisciplinaire **HAL**, est destinée au dépôt et à la diffusion de documents scientifiques de niveau recherche, publiés ou non, émanant des établissements d'enseignement et de recherche français ou étrangers, des laboratoires publics ou privés.



HALAESA

**De l'hellénisation à la christianisation :
Évolution d'une cité de la Sicile septentrionale**

**MISSION ARCHÉOLOGIQUE FRANÇAISE D'HALAESA
Rapport 2018**



**Sous la direction de Michela COSTANZI
Université de Picardie Jules Verne - EA 4284 TrAme**

**et de Vincent MICHEL
Université de Poitiers (HeRMA - EA 3811)
UMR 8167 Orient & Méditerranée, Labex Resmed**

Illustration de couverture : Le site d'Halaesa depuis l'autre versant de la vallée de la Tusa. © Frédéric Gerber, MAFHA. 2018

HALAESA
De l'hellénisation à la christianisation :
Évolution d'une cité de la Sicile septentrionale

MISSION ARCHÉOLOGIQUE FRANÇAISE D'HALAESA
Rapport 2018



Sous la direction de
Michela COSTANZI et Vincent MICHEL

Par
Michela COSTANZI, Frédéric GERBER e Vincent MICHEL

avec la participation de
Stéphane BOULOGNE, Alessandra CANALE, Vanille CUVELIER,
Fabrizio DUCATI, Charlotte LATOUR,
Anis MKACHER, Vincent MIAILHE e Sandrine MOUNY

Liste des participants à la mission 2018

Équipe d'encadrement :

Michela Costanzi, co-directrice de la mission, Université de Picardie Jules Verne - EA 4284 TrAme
Vincent Michel, co-directeur de la mission, Université de Poitiers - EA 3811 HeRMA, UMR 8167 Orient & Méditerranée, Labex Resmed
Frédéric Gerber, mécanisation, responsable sécurité-prévention. Inrap / Université de Poitiers (HeRMA - EA 3811 / CESCO - UMR 7302)
Stéphane Boulogne, topographe, Inrap
Vincent Mialhe, topographe et opérateur en photogrammétrie, Inrap
Alessandra Canale, céramologue, Doctorante Université de Palerme
Fabrizio Ducati, céramologue, Université d'Aix Marseille
Sandrine Mouny, céramologue, Université de Picardie Jules Verne - EA 4284 TrAme

Étudiants :

Camille Blancher (L3, Université de Poitiers)
Axelle Chabroux (L3, École du Louvre)
Juliette Coudrin (M1, Université de Poitiers)
Vanille Cuvillier (M1, Université de Poitiers)
Brian Delarue (L2, UPJV-Université d'Amiens)
Charlotte Latour (L3, Université de Poitiers)
Jimmy Lefebvre (L3, UPJV-Université d'Amiens)
Théo Martin (M2, Université de Poitiers)
Milan Melocco (École Normale Supérieure Paris)
Stéphane Messerschmitt (DU, UPJV-Université d'Amiens)
Gaspard Michel (Stagiaire)
Anis Mkacher (Post-doc UMR Orient & Méditerranée)
Flore Morgand (DU, Université de Poitiers)
Hadrien Nègre (L3, École du Louvre)
Anne Pielberg (L3, Université de Poitiers)
Alicia Rageau (L3, Université de Poitiers)
Michelle Rose (DU, École du Louvre)
Mégane Vialle (M2, UPJV-Université d'Amiens)
Baptiste Vidal (L2, UPJV-Université d'Amiens)
Marine Waszak (L3, Université Paris IV)
Marie-Anaia Zenou (L3, École du Louvre)

Rapport :

Rédaction : Michela Costanzi, Frédéric Gerber et Vincent Michel

Étude du mobilier céramique et de l'instrumentum: Alessandra Canale, Fabrizio Ducati, Charlotte Latour et Sandrine Mouny

Mise en page : Frédéric Gerber

SIG et topographie : Stéphane Boulogne, Vincent Mialhe

Remerciements

La MAFHA tient à présenter ses plus vifs remerciements aux institutions siciliennes (par ordre alphabétique) : l'Assessorato dei Beni Culturali e dell'Identità Siciliana, et l'Assessore Sebastiano Tusa pour le soutien manifesté pendant la visite du site ; le Pôle Muséale de Messine/*Servizio Museo delle tradizioni silvo-pastorali di Mistretta/Area Archeologica di Halaesa*, avec Caterina Di Giacomo et Gianfranco Anastasio, et la *Soprintendenza dei Beni Culturali di Messina*, avec Orazio Micali, Gabriella Tigano et Rocco Burgio, pour leur confiance.

Merci à la Marie de Tusa et à son administration, en particulier au maire Luigi Miceli et au Maire adjoint Angelo Tudisca, pour l'engagement et le soutien qui ont été grands.

Merci à nos universités et laboratoires de Recherches (UPJV, Université d'Amiens et TrAme ; Université de Poitiers et HeRMA ; Sorbonne Université et UMR Orient et Méditerranée-Labex ResMed), pour leur soutien scientifique et financier.

Merci aussi à Antiquités Siciliennes, Fonds Khéops pour l'archéologie et à Terres d'Orient pour le support financier et logistique ; à nos mécènes et amis Anne-Marie Cornu, Anne-Marie Daflou, Eau de Mélisse des Carmes Boyer (Jean-Brice Lagourgue), Ecovista (Thomas Godard), Levana, 14 Pyramides (Xavier Lièvre), sans lequel la Mission n'aurait pas été possible.

Merci à Giacomo Longo pour son travail imparable ; à Séverine Lemaître et Filippo Pisciotta pour leur participation à l'étude de la céramique ; à Carmelo Lorello et à Francesco Saverio Modica pour leur importante participation ; et à tous les gardiens du site pour leur sourire, à toutes les heures du jour.

Merci à Angelo et sa famille, en particulier Sara, Giuseppe et Maria-Domenica pour l'accueil ; et à Concetta et Andreina pour leur bonne humeur et pour nous avoir donné les énergies nécessaires.

Merci à tous les citoyens de Tusa : Santina, Rachele, Pino et tous ceux que, même si nous ne pouvons tous pas les mentionner, nous n'oublions pas.

Sommaire

Liste des participants à la mission 2018	p. 2
Remerciements	p. 3
SOMMAIRE	p. 4
INTRODUCTION	p. 6
I. LE SECTEUR « ACROPOLE MERIDIONALE »	p. 9
I.1 – La partie nord de l’acropole méridionale d’Halaesa : zone résidentielle, zone publique ou zone sacrée ?	p. 12
I.1.1 – La zone d’étude	p. 12
I.1.2 – L’historique des recherches	p. 13
I.2 – La campagne 2018: les 3 secteurs	p. 13
I.2.1 – La méthodologie des fouilles	p. 13
I.2.2 – La « pointe nord » de l’Acropole	p. 15
I.2.3 – L’« édifice central »	p. 20
I.2.3.1 – Description	p. 20
I.2.3.2 – Conclusions et perspectives	p. 28
I.2.4 – Le « bâtiment quadrangulaire »	p. 32
I.2.4.1 – Description	p. 32
I.2.4.2 – Conclusions et perspectives	p. 37
II. LE SECTEUR « AU SUD DE L’AGORA »	p. 39
II.1 – La problématique de la fouille dans ce secteur	p. 40
II.2 - Méthodologie suivie	p. 40
II.3 - Les fouilles 2018	p. 42
II.3.1 - Secteur 1 (TR200C)	p. 43
II.3.2 - Secteur 2 (TR200A)	p. 45
II.3.3 - Secteur 3 (TR200D)	p. 45
II.3.4 - Secteur 4	p. 48
II.4 - Conclusions préliminaires	p. 49

III. LE SECTEUR « SOUS LE MUR A CONTREFORTS » OU SECTEUR « THÉÂTRE »	p. 51
III.1 - Un rapide historique des recherches	p. 51
III.2 - La campagne 2018 : stratégie et méthodes de fouille	p. 54
III.3 – - Les résultats	p. 56
III.3.1 – Le sondage AD : le rempart et la canalisation	p. 56
III.3.2 – L'élargissement du sondage B	p. 60
III.3.3 – La grande tranchée E	p. 61
III.3.3.1 – Stratigraphie générale	p. 61
III.3.3.2 – Des blocs de parement en roche volcanique	p. 64
III.3.3.3 – Les gradins	p. 66
III.3.3.4 – Les sièges de théâtre	p. 66
<i>Les sièges de théâtre siciliens</i> (encart)	p. 70
III.3.3.5 – Le substrat entaillé et un dallage monumental = l'orchestra?	p. 74
III.3.4 – Le sondage F et les défrichements sur la zone sud-est	p. 75
III.3.5 – Le sondage G: à la recherche du couloir de Caretoni	p. 77
III.4 – Interprétation des résultats	p. 79
III.4.1 – Hypothèse sur l'emprise probable du théâtre	p. 79
III.4.2 – Relation entre le théâtre et le mur à contreforts	p. 81
III.4.3 – Des éléments du décor de l'édifice de spectacle ?	p. 84
III.4.4 – Réflexions autour de la datation possible du théâtre	p. 86
III.5 – Conclusion	p. 87
IV. ÉTUDE DU MOBILIER CÉRAMIQUE ET DE L'INSTRUMENTUM	p. 89
CONCLUSION GÉNÉRALE	p. 111
BIBLIOGRAPHIE	p. 113
LISTE DES FIGURES	p. 114
V. ANNEXES	p. 119
Inventaire des photographies numériques	p. 120
Inventaire des US/USC	p. 138

INTRODUCTION

La Mission Archéologique Française à Halaesa (par la suite MAFHA) s'est déroulée du 9 au 28 juillet 2018 (figure 1). Elle était composée de 29 personnes : 8 archéologues (2 professeurs d'archéologie et directeurs de la Mission, Michela Costanzi et Vincent Michel ; 1 archéologue spécialiste d'archéologie préventive, Frédéric Gerber ; 2 topographes, Vincent Miaillhe et Stéphane Boulogne ; 3 céramologues, Alessandra Canale, Fabrizio Ducati et Sandrine Mouny), 18 étudiants universitaires et 3 étudiants en Diplôme Universitaire d'Archéologie.

Les travaux ont concerné les 3 secteurs sur lesquels la MAFHA travaille depuis 2016 (figure 2) : le secteur de l' « acropole méridionale », le secteur « au sud de l'agora » et le secteur « sous le mur à contreforts » (que nous appelons désormais le secteur « théâtre »).

La Mission s'est donc divisée en 3 groupes : le groupe de l' « acropole méridionale », constitué de 10 personnes, s'est distribué sur trois secteurs (celui de la « pointe nord », celui du « bâtiment central » et celui de la « construction quadrangulaire »); le groupe du secteur « au sud de l'agora » était constitué par 5 personnes; celui « du théâtre » par 5 personnes. Les autres membres travaillaient dans le groupe de la céramique ou dans celui de la topographie. Pour chacun de ces groupes, un responsable a été choisi pour faire d'intermédiaire entre la direction, l'équipe d'archéologues de la Mission et les étudiants. La MAFHA est, en effet, un chantier-école et les étudiants en archéologie des Universités d'Amiens, de Poitiers et de Paris (Sorbonne Université et Ecole du Louvre) y suivent une formation sur les terrain et apprennent les différentes techniques et spécialités de l'archéologie (la fouille, la topographie, la photogrammétrie, la céramique, etc.). Ces étudiants ont été sélectionnés sur la base de leur expérience (aucun étudiant sans aucune expérience n'est pris) et de leur intérêt pour les études concernant la Sicile antique et/ou médiévale (nombreux étudiants travaillent sur la Sicile pour leurs masters).

Sur les fouilles des trois secteurs, la MAFHA a choisi la méthode de la fouille extensive avec des bermes-témoins qui permettent de suivre les différentes étapes du travail, d'éviter des erreurs dans l'interprétation, d'être capable de vérifier les données, à tout moment.

Les numéros des Us ont été attribués à partir de 10.000 pour le « bâtiment central », de 40.000 pour la « pointe septentrionale », de 50.000 pour la « construction quadrangulaire », de 20.000 pour la zone « au sud de l'agora » et de 30.000 pour la zone « du théâtre ».

La description de chaque Us est enregistrée sous forme d'un tableau Excel™. Pour rendre plus facile la lecture du rapport, seules les descriptions de certaines Us plus significatives ont été intégrées dans le texte. Toutefois, un inventaire détaillé de toutes les Us est joint au rapport. Les coupes et les plans ont été relevés manuellement et/ou avec le tachéomètre. Les sondages ont été relevés par ortho-photo. L'ensemble de ces données alimente le Système d'Information Géographique (SIG) de la MAFHA.

Les objectifs de la Mission 2018 étaient multiples : sur l' « acropole méridionale » on voulait mieux comprendre l'organisation de ce vaste

plateau qui domine la cité antique. Pour cette raison, la fouille commencée en 2017, après un premier sondage en 2016, sur l' « édifice centrale », a été continuée ; mais deux autres chantiers ont été ouverts : celui de la « pointe nord » de l'acropole, pour tenter de mieux comprendre si cette zone, totalement aride aujourd'hui, pouvait avoir été aménagée dans l'Antiquité ; et celui de la « construction quadrangulaire », dans la partie méridionale du même plateau pour essayer d'en savoir un peu plus sur l'histoire de ce secteur à la fin de l'Antiquité, après la destruction des édifices antiques.

Dans la zone « au sud de l'agora », les sondages de 2016 avaient mis à jour des murs et des sols : leur orientation permettait de comprendre qu'ils suivaient l'orientation du système routier connu. L'objectif était ici de mieux comprendre l'organisation de cette zone, ses phases et sa nature.

Dans la zone appelée l'année dernière « sous le mur à contreforts », après les prospections et les sondages de 2017, on cherchait les évidences définitives de la présence, seulement supposé jusqu'en 2017, d'un théâtre (la zone est désormais appelée « du théâtre »).

Les travaux dans ces différents secteurs seront décrits dans les chapitres suivants.

Figure 1 : Situation géographique d'Halaesa



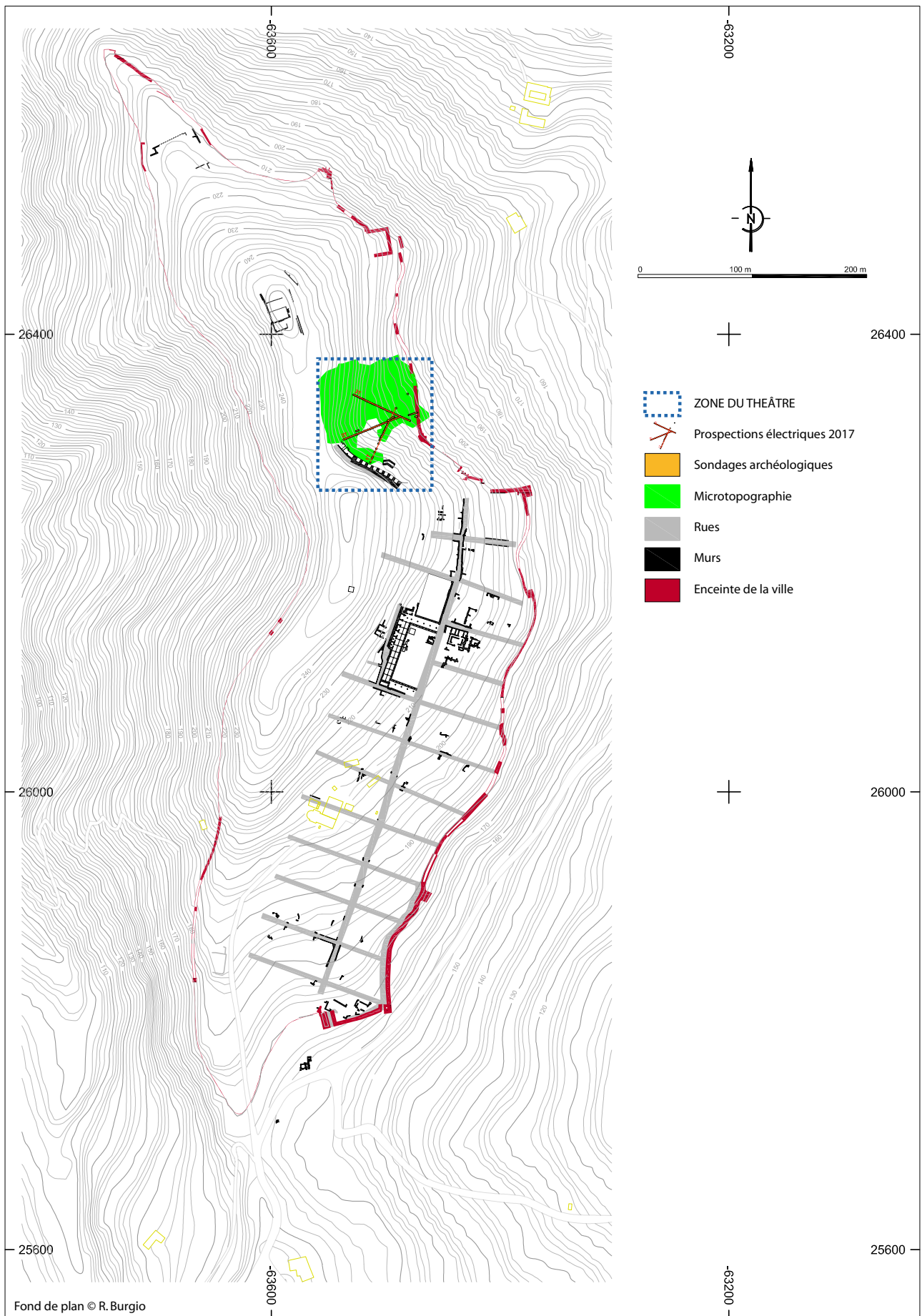


Figure 2 : Localisation des secteurs d'étude 2018, sur le fond de plan d'Halaesa réalisé par Rocco Burgio. © MAFHA.

I.

LE SECTEUR

« ACROPOLE MERIDIONALE »

Michela Costanzi

I.1 – La partie nord de l’acropole méridionale d’Halaesa : zone résidentielle, zone publique ou zone sacrée ?

I.1.1 – La zone d’étude

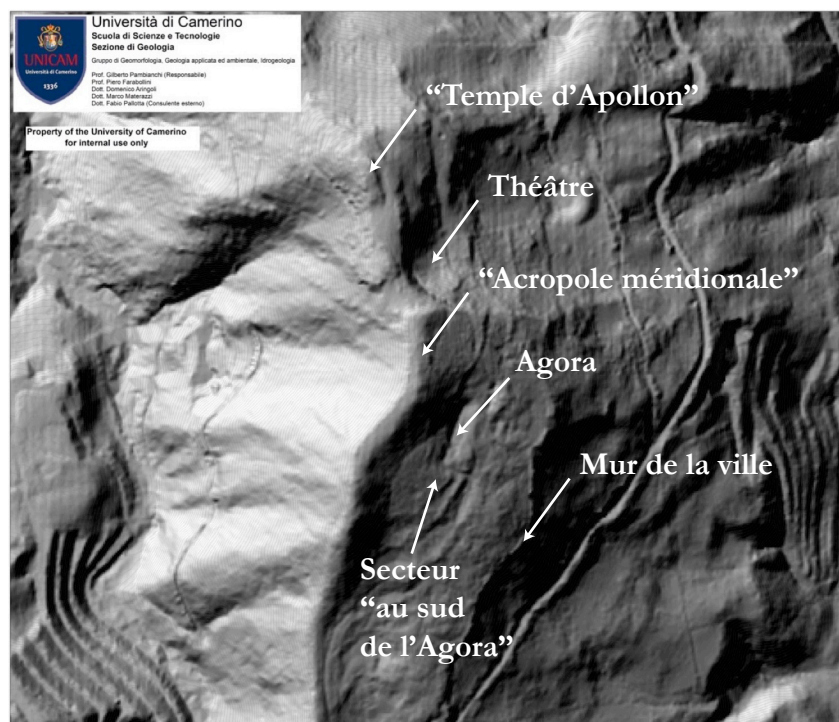
La moitié nord du plateau de l’acropole méridionale est la première zone de fouille de la Mission Archéologique Française à Halaesa (ci-dessous MAFHA ; *figure 1 introduction*).

Ce plateau, qui mesure environ 192 m de longueur nord/sud, et entre 11 et 22 m de largeur est/ouest (pour une superficie totale d’environ 4700 m²), se trouve juste au-dessus de la zone nord de l’agora, sur le bord oriental de la colline qui dominait la ville antique. Depuis son extrémité sud, on peut voir en contrebas la deuxième zone d’étude de la MAFHA, celle dite « au sud de l’agora ». À son extrémité nord, une dépression le sépare de l’acropole septentrionale, la colline sacrée du « temple dit d’Apollon », en contrebas de laquelle s’ouvre une vaste cavité hémisphérique au pied du mur à contreforts, identifiée comme le « théâtre » (zone 3 d’études de la MAFHA).

Par sa situation et sa position, jointes à l’observation que le sommet de la colline apparaît comme écrêté par une action anthropique, ainsi que le montrent les images LiDAR (*figure 1*), cette zone se présente avec évidence comme un espace qui a dû recevoir un aménagement urbain, lequel pouvait être résidentiel, ou public ou sacré.

En suivant les lignes directrices du programme scientifique de la MAFHA sur le site d’Halaesa où deux axes de recherche ont été prévus, l’un concernant le fait urbain, et l’autre le fait sacré, cette zone présente un intérêt qui pourrait s’appliquer à ces deux aspects. Elle a donc été objet d’une prospection magnétique et d’un premier sondage en 2016, d’une prospection thermique en mars 2017 et d’une fouille en juillet de la même année au milieu du plateau, en correspondance avec le sondage de 2016.

Figure 1 : Image LiDAR du site d’Halaesa. © LiDAR Université de Camarino, infographie Frédéric Gerber, MAFHA.



I.1.2 – L’historique des recherches

Les fouilles de la campagne de juillet 2017 avaient mis en évidence la présence d’un édifice de 12 m de longueur nord/sud et d’environ 6 m de largeur est/ouest, composé de 3 espaces internes. Elles avaient été entreprises en cet endroit suite à l’ouverture, en juillet 2016, d’un sondage qui avait révélé la présence de murs, et suite à la prospection avec caméra thermique de mars 2017, qui avait mis en évidence le prolongement de ces murs vers le nord.

Les espaces internes, sans les murs, présentaient une largeur de 6 m en direction est/ouest, tandis que la longueur nord/sud était variable : 3 m pour l’espace plus méridional, 4,80 m pour le central, et 2,60 m pour le plus septentrional.

Les fouilles 2017 avaient permis de se faire une idée de la situation sur trois côtés de l’édifice : sur le côté nord de l’édifice, les murs ne continuent certainement pas, puisqu’ils présentent des angles arrondis, comme dans les bâtiments donnant sur les rues, dans d’autres secteurs du site ; sur le côté sud, une couche limoneuse et stérile pourrait faire penser à la présence d’une route est-ouest ; même observation pour le côté occidental, où le sondage correspondant aux Us 10.046, 10.047 et 10.048 a fait découvrir une route nord/sud. En revanche, quant à la façade orientale, le temps a manqué pour la mettre en évidence.

L’origine, la nature et la fonction de cet édifice n’avaient pas pu être définies, mais il apparaissait clairement, à la fin de la campagne 2017, que son état actuel est celui de sa destruction et de son abandon. On avait avancé l’hypothèse, à partir des éléments visibles à ce stade des travaux, qu’après cet abandon, deux tombes avaient été construites sur le côté oriental de l’édifice, l’une au nord (tombe à *enchytrismos*) et l’autre au sud (tombe à ciste).

La céramique recueillie montrait en tout cas que la zone avait connu une longue fréquentation, de la fin du Ve s. av. J.-C. jusqu’au VIe-VIIe s. apr. J.-C.

I.2 – La campagne 2018: les 3 secteurs

I.2.1 – La méthodologie des fouilles

Pour la campagne de fouilles 2018, il a d’abord paru important de compléter les travaux entrepris sur le bâtiment central, avec l’ouverture de deux autres secteurs de fouilles. Le redoublement des secteurs fouillés devait apporter des informations supplémentaires sur l’organisation de cette partie du plateau de l’acropole sud.

Les deux nouveaux secteurs sont ceux de la « pointe nord » de l’acropole méridionale et celui du « bâtiment quadrangulaire » au sud/est de l’édifice central. Pour la « pointe nord », la question se posait de savoir si cette zone très panoramique, ouvrant sur la mer et les Îles Éoliennes, située en vis-à-vis de l’acropole sacrée du « temple d’Apollon », juste au-dessus du mur à contreforts, parfaitement visible de la mer et de la côte pour qui arrivait à Halaesa, avait reçu un aménagement urbain. Certaines indications transmises par les sources (par exemple, l’ins-

cription de Néménios fils de Néménios qui parlait d'un temple de Zeus en face du temple d'Apollon) invitaient à imaginer cette zone comme étant aménagée dans le passé, et peut-être pour des fonctions sacrées. L'objectif était alors de préciser ce point, et de comprendre quel type d'occupation avait pu s'installer ici, pour quelles raisons et avec quel usage.

Le bâtiment quadrangulaire au sud-est du bâtiment central pouvait expliquer les dernières phases de vie de « l'édifice central » lui-même, se concluant avec la spoliation des blocs, suivie par l'installation des tombes. Mais il pouvait aussi fournir des informations sur les phases plus récentes de la fréquentation de ce promontoire.

Trois groupes ont donc travaillé pendant trois semaines, chacun sur un de ces secteurs. Pour chaque groupe, un responsable de secteur, intermédiaire entre la direction et le staff des archéologues, d'un côté, et les étudiants, de l'autre, a été nommé. En effet, cette mission est aussi un chantier-école : les étudiants en archéologie des universités d'Amiens, Poitiers et Paris suivent une formation sur le terrain et sont initiés aux différentes méthodes et spécialités de l'archéologie (fouille, topographie, photogrammétrie, céramique, etc.). Ils sont choisis sur la base de leur expérience (ne sont pas retenus des étudiants n'ayant aucune expérience archéologique), et sur la base de leur intérêt pour les études portant sur la Sicile.

Sur la « pointe nord », trois personnes ont d'abord été affectées à l'ouverture du sondage ; ce travail ayant conduit au repérage de blocs posés à plat autour de l'entrée d'une citerne, c'est une seule personne qui a procédé à la fouille de cette dernière. Il s'agit de la seule citerne pour l'instant fouillée sur le site.

Le groupe chargé de « l'édifice central » était bien plus fourni, compte tenu des dimensions du bâtiment et du projet qui prévoyait d'avancer ici le plus possible : le but était d'atteindre les niveaux inférieurs de la construction de l'édifice, en même temps que l'on tentait de repérer le mur oriental qui n'avait pas été retrouvé en 2017. Un groupe de 5/6 personnes a donc été réparti sur différents endroits : 2/3 personnes ont été chargées de fouiller le côté est, sur le mur oriental dans la direction nord/sud et sur le mur interne est/ouest séparant les pièces centrale et septentrionale (lequel n'avait pas non plus été retrouvé lors de la précédente campagne) ; une personne a exploré la partie sud/est située à l'intérieur de l'édifice, là où l'année dernière une tombe en ciste avait déjà été retrouvée ; une personne a travaillé dans un sondage profond du secteur central ouest, afin de repérer des éléments donnant la chronologie du bâtiment ; une autre personne a fouillé le côté sud/ouest à l'intérieur de l'édifice, lequel s'est révélé particulièrement intéressant en découvertes de mobilier. En réalité, c'est dans l'ensemble occidental de l'édifice que le mobilier le plus intéressant a été retrouvé, là où la fouille a été la plus profonde, là où l'état du sol a été moins brouillé par les travaux agricoles, par les éboulements et glissements de terrain dont on observe les traces sur le côté oriental de la colline.

Le groupe du « bâtiment quadrangulaire » était constitué de 2 fouilleurs (sauf au tout début quand il a été nécessaire d'avoir plus de bras

pour déplacer les pierres tombées à l'intérieur et tout autour de la construction) : chaque étape de son nettoyage, destiné à retrouver sa forme originale, a été relevée par photogrammétrie.

Dans la zone de « l'édifice central » (mais sur tout le site en général), la MAFHA a utilisé la méthode de la fouille extensive, en laissant des témoins (non pas des quadrillages, mais des bermes) : les bermes permettent de suivre les différentes étapes du travail d'éviter des erreurs dans l'interprétation, d'être en mesure de vérifier à tout moment la fouille.

Les numéros des Us sont donnés à partir de 10.000 pour « l'édifice central », de 40.000 pour la « pointe nord » et de 50.000 pour le « bâtiment quadrangulaire » (20.000 pour la « Zone au sud de l'agora », 30.000 pour la « Zone du théâtre »).

La description de chaque US est enregistrée sous forme d'un tableau Excel™. Pour rendre la lecture de ce rapport plus facile, seules les descriptions de certaines US plus significatives sont retranscrites dans le texte ci-dessous. Toutefois, un inventaire détaillé de toutes les Us et Usc est joint en annexe. Les profils et les coupes ont été relevés manuellement et/ou avec le tachéomètre. Les sondages ont en outre été relevés en ortho-photos. L'ensemble de ces données alimente le SIG de la MAFHA.

I.2.2 – La « pointe nord » de l'acropole

Sur la « pointe nord » de l'acropole méridionale, comme il a déjà été dit, différents éléments invitent à imaginer que cette zone avait été occupée et aménagée par l'homme dans le passé. Cependant, le sol très rocheux, en calcaire compact et marne, qui se délite, formant des lamelles fines et allongées, avant de s'effriter complètement, ne laisse aujourd'hui apparaître aucune trace évidente d'une occupation ancienne ; il suscite, au contraire, l'impression que cette zone aride et difficile ne pouvait pas être exploitée dans l'Antiquité. Cependant, si on considère la possibilité qu'une terrasse ait pu être aménagée sur ce substrat marneux afin d'y poser des constructions, il faut chercher des éléments à l'appui d'une telle hypothèse.

L'image LiDAR montre bien que le sommet de la colline a été écrêté, en taillant la roche, pour donner à cette zone une superficie plate plus large. Mais comme nous l'avons vu dans la fouille 2017, dans le sondage qui a révélé la présence de la route qui passe à l'ouest de notre « édifice central », une couche de terre avait pu être apportée afin d'être étalée et aplatie sur la roche taillée. On peut faire la même supposition pour cette pointe, où des murs devaient certainement permettre de créer une terrasse assez large pour construire des édifices. De ces murs restent des traces vers le nord et vers l'est de la colline (même s'ils ont été certainement déplacés en grande partie aux époques médiévale et moderne, pour des nécessités liées à l'exploitation agricole des terres du site). C'est sans doute grâce à ce travail de construction en terrasse, qu'on a pu construire aussi « l'édifice central » (dont, nous le verrons, la partie orientale manque car la terrasse a cédé) (voir ci-dessous II.3).

Nous avons décidé de concentrer notre attention sur la partie ouest de la pointe et d'y effectuer un sondage (figure 2), car on pouvait voir, en partie masquée par les colluvions, une sorte de paroi verticale dans le bloc rocheux qui constitue cette pointe elle-même. Cette paroi verticale faisait penser à un possible travail de la roche, comme c'est le cas sur l'acropole septentrionale, où, les fouilles de G.-F. Caretoni et celles que mène actuellement la Mission italo-anglaise de Lorenzo Campagna et Jonathan Prag, ont permis de distinguer d'importants aménagements.

Figure 2 : Sondage initial. © Stéphane Messerschmitt, MAFHA.



Dans le sondage qui présentait à son terme des dimensions de 8 m est/ouest x 2,2 m nord/sud (figure 3), les niveaux superficiels (Us 40.000=40.001, terre végétale) ont livré du mobilier (figure 4), non seulement de céramique (surtout fragments de TCA = Terre Cuite Architecturale), mais aussi quelques éléments en métal (comme des clous et un poids en plomb).

Très vite (à 0,20 m de profondeur), des blocs posés à plat sur les côtés nord et est du sondage (Us 40.002 et 40.004 ; figures 5 et 6) ainsi qu'un banc de roche naturelle tout autour (roche marneuse, Us 40.003) ont mis en évidence l'ouverture d'une citerne, qui était creusée dans ce banc rocheux-marneux et dont la présence devait être signalée par les blocs installés à plat.

Figure 3 : Dimensions finales du sondage. © Stéphane Messerschmitt, MAFHA.



Figure 4 : US 40.000. figure d'applique (?) représentant un visage féminin. © Michela Costanzi, MAFHA.

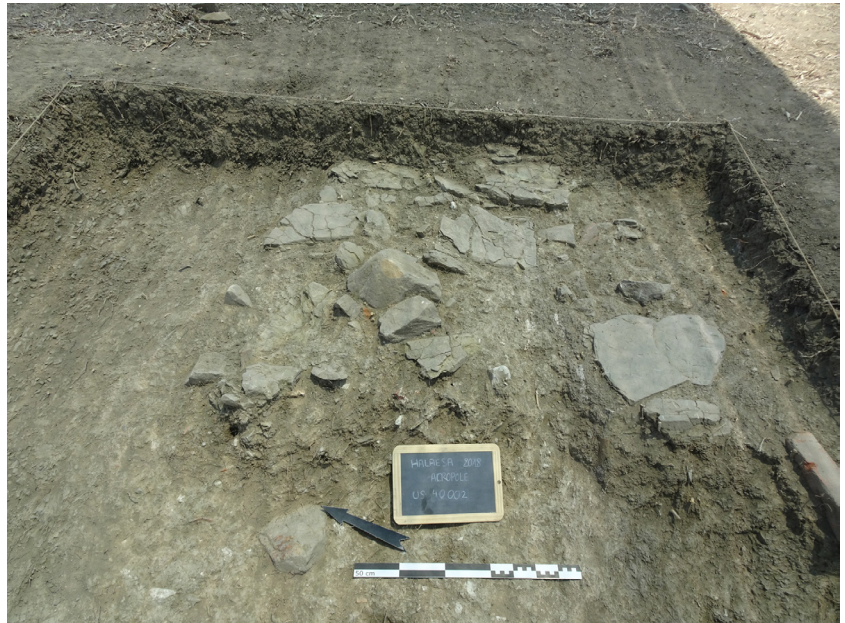


Figure 5 : US 40.002. © Stéphane Messerschmitt, MAFHA.

Figure 6 : US 40.004. © Stéphane Messerschmitt, MAFHA.



La couche Us 40.004 s'est révélée particulièrement riche en matériel (TCA, céramique, verre, ainsi qu'un peson et une monnaie).

Les parois de la citerne sont recouvertes d'un enduit hydraulique qui décrit un cercle en surface d'un diamètre d'environ 1,10 m (Us 40.005 creusement et Us 40.007 enduit hydraulique). Le comblement de cette citerne a été fouillé sur deux couches (Us 40.006 et 40.008 ; figure 7). L'Us 40.006 d'une épaisseur de 0,15-0,20 m est caractérisée par une terre compacte et claire, avec une importante quantité de blocs de pierre, fragments de TCA et céramique. Dans l'Us 40.008 la citerne s'élargit jusqu'à devenir campaniforme, tandis que la terre se fait encore plus compacte et présente davantage de TCA et de fragments en terre cuite, jusqu'à une profondeur d'environ 1,50 m.

La présence de cette citerne, dont la fouille promet de fournir des éléments de datation en aidant à comprendre, par exemple, à quel moment survient son abandon et son utilisation comme dépotoir, est certainement à mettre en relation avec une forme d'aménagement de la cetterie « pointe nord ». Dans la campagne 2019, il sera nécessaire d'apprendre à connaître la nature et la fonction de la citerne ainsi que celles des édifices avec lesquels elle était en relation.

Figure 7 : US 40.006 et 40.008 © Stéphane Messerschmitt, MAFHA.





Figure 8 : Plan de l'édifice central à la fin de la campagne 2018 © Stéphane Boulogne / Frédéric Gerber, MAFHA.

I.2.3 – L'« édifice central »

I.2.3.1 – Description

Comme cela a été expliqué précédemment, les objectifs de la campagne de cette année sur « l'édifice central » étaient multiples : définir ses limites à l'est qui n'avaient pas été retrouvées en 2017, atteindre le niveau de construction de l'édifice, au moins dans un sondage profond commencé déjà les tout derniers jours de la campagne 2017, et dégager le plus possible le bâtiment pour essayer de comprendre sa nature et sa fonction (figure 8).

Comme l'année dernière, la fouille de ce bâtiment a livré en 2018 beaucoup de remblais, mais les données récoltées ont permis de mieux comprendre les différentes phases de son histoire.

Dans la partie nord-est, on a pu retrouver le prolongement vers l'est du mur intérieur est/ouest Usc 10.005 qui sépare l'espace septentrional de l'espace central. Il s'agit de l'Usc 10053 (figures 9, 10 et 11).

Figure 9 : La zone NE de l'édifice avant la fouille. © Marine Waszak, MAFHA.



Figure 10 : La zone NE de l'édifice en cours de fouille. © Milan Melocco, MAFHA.



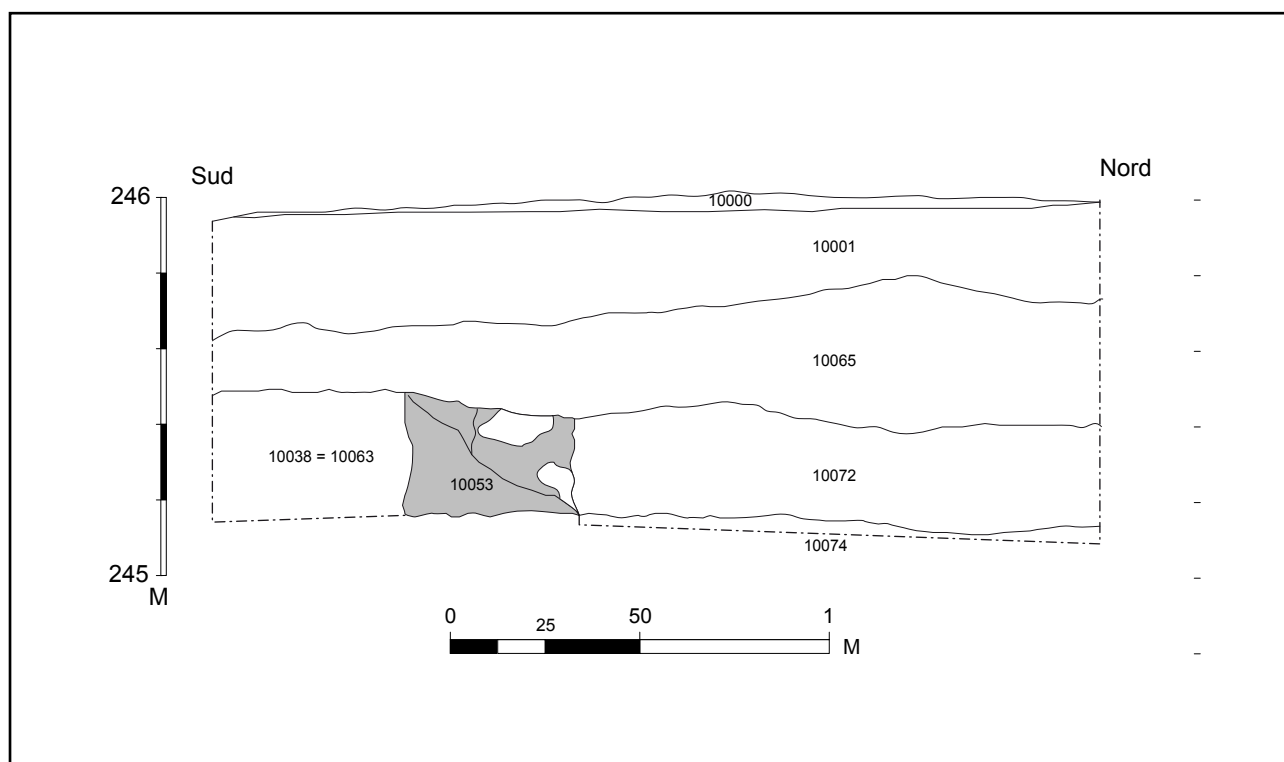


Figure 11 : Coupe 1 sud/nord à travers les remblais de la zone nord-est. © Relevé Camille Blanchet et Hadrien Nègre, infographie Frédéric Gerber, MAFHA.

Également, on a réussi à retrouver le mur est (Usc 10.078), qui, si on le prolonge vers le nord, rejoint le mur 10.031. Le premier objectif qui visait à retrouver la limite est de la structure a été atteint, même si ce mur n'est pas visible vers le sud, par le fait qu'il est entièrement endommagé et de plus très spolié, comme on le verra tout de suite. Cependant, celle que nous pensions être la façade orientale de l'édifice à trois pièces, s'est montrée n'être assez probablement qu'une paroi interne. En effet, durant les tout derniers jours de la mission de cette année, l'équipe a fait une découverte intéressante et inattendue : dans un sondage ouvert à l'angle nord-est (là où l'année dernière on avait découvert ce qui semblait être une tombe à *enchytrismos*), pour vérifier qu'il s'agissait de l'angle extérieur de l'édifice à cet endroit, on a pu se rendre compte qu'en effet le mur continuait vers l'est (figure 10). Il s'agit du même mur extérieur du côté nord qui nous fait ainsi comprendre que cet édifice est beaucoup plus grand vers l'est et que les trois pièces ne peuvent pas être les seules qui composent l'édifice. Ce dernier a dû fortement s'incliner vers l'est à cause du glissement de la paroi de la colline, provoqué certainement par la destruction de la terrasse qui avait permis de créer ici une zone plus large où construire l'édifice. L'élargissement de ce sondage a permis de comprendre aussi que ce que nous avons interprété comme une tombe à *enchytrismos*, en réalité, n'est pas une tombe, mais un « effet » de fouille, et qu'en revanche ce qui nous semblait le seuil un peu plus au sud (Us 10.037, voir plus bas) est en vérité une tombe.

À l'intérieur de la pièce centrale, la fouille de cette année a permis de récupérer d'importants niveaux de remblais, qui se présentent comme un mélange de terre compacte et hétérogène, avec des pierres, de très nombreux éléments de TCA, surtout briques et tuiles, ainsi que d'importantes quantités fragments de mortier de tuileaux. Ces fragments de mortier de tuileaux se sont donc déposés dans les remblais avant la TCA, qui se présente toujours en position plus ou

moins horizontale. Les fragments de mortier de tuileaux, en revanche, sont toujours disposés de manière verticale à proximité des murs et horizontale en s'éloignant des murs vers le milieu de la pièce.

Figure 12 : Le prolongement du mur 10.023 vers l'Est. © Milan Melocco, MAFHA



Cette disposition est visible dans la partie orientale de la pièce à l'est de la berme centrale qui suit la direction nord/sud et qui, par le fait du plus simple hasard, sépare en deux parties presque identiques les trois pièces. Immédiatement au sud du mur 10.053 qui est le prolongement de 10.005 à l'ouest de la berme, sous une couche de remblais d'environ 0,80 m, on a retrouvé à environ 0,10/0,15 m du mur, une grande plaque de mortier hydraulique en position parfaitement verticale ; l'espace de 0,10/0,15 m est rempli de terre. Un peu plus loin, dans la même zone, vers le sud, une plaque de mortier hydraulique (Us 10.075) a été retrouvée en position horizontale, sur une couche de quelques centimètres de terre (Us 10.074), qui couvrait le sol en terre battue (figure 12 et 13).

À l'ouest de la berme nord/sud, appuyé contre une berme est/ouest qui coupe en deux, en direction nord-sud, la pièce centrale, il avait été convenu, l'année dernière, de réaliser un sondage profond (Us 10.011) afin de connaître la stratigraphie du bâtiment. Dans ce sondage qu'on a décidé d'élargir vers le nord jusqu'au mur 10.005, le remblai est très épais (environ 1 m) et présente les mêmes caractéristiques : une

grande quantité de briques et tuiles à une certaine profondeur, posées d'une manière plus ou moins plate (Us 10.057, 10.058) ; puis de la terre moins riche en TCA, mais avec une grande quantité de blocs de mortier hydraulique dans les mêmes positions, soit verticale, à une dizaine de cm des murs, soit horizontale, en s'éloignant des murs (Us 10.059 ; figures 14 et 15).

Figure 13 : Couches de remblais au nord et au sud du mur 10.053. © Frédéric Gerber, MAFHA



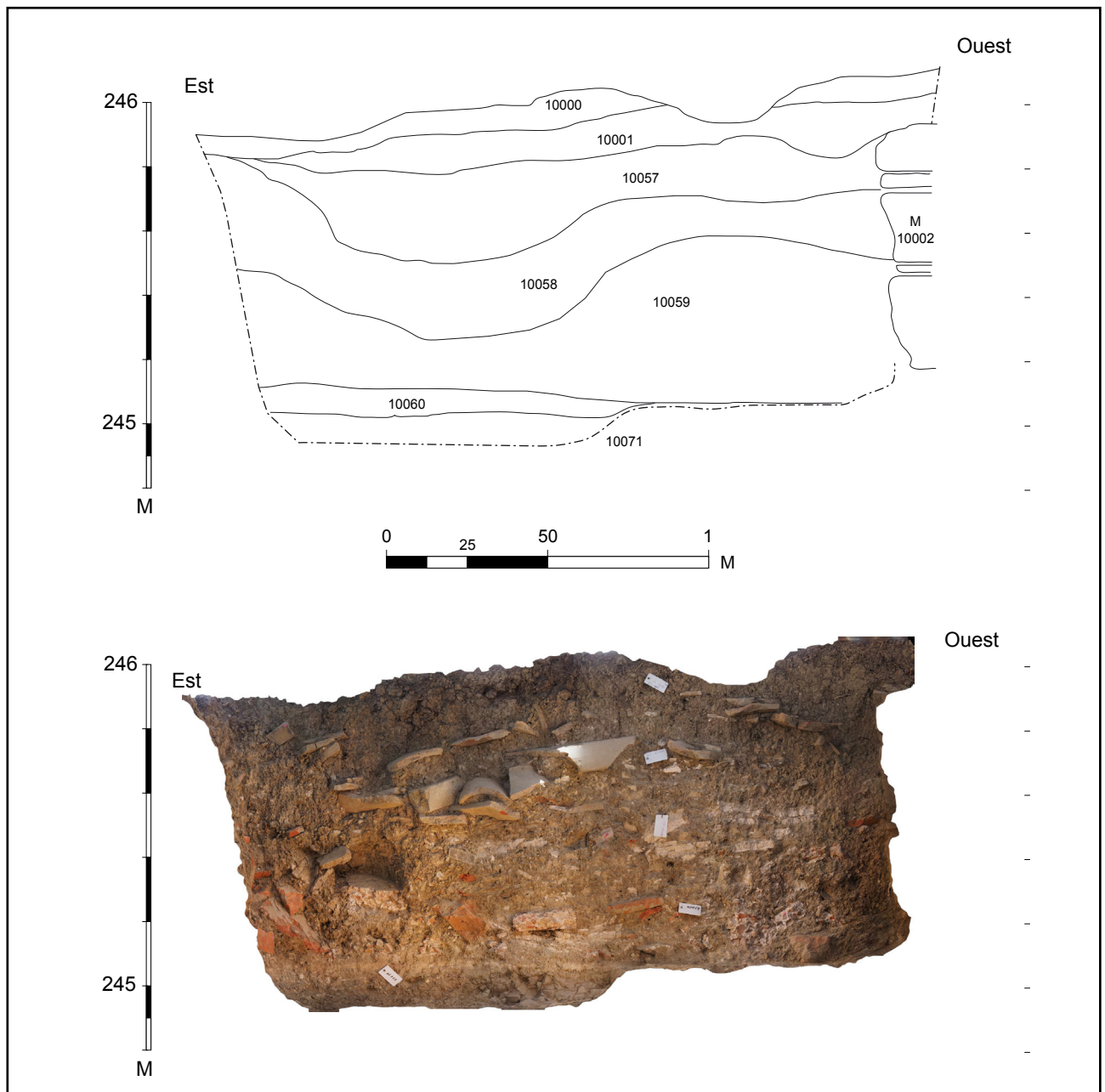
Figure 14 : Les blocs de mortier de tuileau : vertical contre le mur et à plat au milieu de la pièce. © Michela Costanzi, MAFHA.



Figure 15 : Stratigraphie de la pièce centrale, secteur ouest. © Marine Waszak, MAFHA.



Figure 16 : Coupe 2 est/ouest à travers les remblais de la zone centrale ouest. © Relevé Hadrien Nègre, photogrammétrie Vincent Mialhe, infographie Frédéric Gerber, MAFHA



À l'intérieur de ce sondage le niveau du sol (Us 10.060 et 10.061) a été atteint (figures 16 et 17).

Pour savoir s'il s'agissait du sol primitif du bâtiment ou bien de celui d'un dernier état, un sondage a été creusé : cela a permis de comprendre que le sol était construit directement sur la roche mère (Us 10.071), lissée et rendue parfaitement plate. De la terre avait été mise en place dans les fentes de la roche, pour combler les espaces et la rendre lisse. Dans ce sondage, un matériel archéologique aussi abondant qu'intéressant (objets en pierre et en terre cuite, statuettes, lampes, etc.) a été retrouvé.

Figure 17 : Niveau du sol de la pièce centrale, côté ouest. © Milan Melocco, MAFHA.



Dans la partie sud du bâtiment, la fouille a progressé vers l'est et vers l'ouest de la berme centrale.

Vers l'ouest, la fouille a mis en évidence l'existence des mêmes remblais (Us 10.073), qui sont composés de terre contenant une grande quantité de TCA et de terre cuites (statuettes et lampes). La fouille a permis de mettre en évidence deux assises de ce qui semble être des marches, d'une longueur de 1,10 m et d'une profondeur de 0,90 m, adossées au mur occidental (Us 10.002 sud). Il pourrait s'agir d'un escalier qui permet la communication entre cet édifice et le côté ouest du plateau, en accédant directement à la route qui se trouverait le long de cette façade, comme on l'avait supposé en 2017¹. On a exclu qu'il s'agisse d'un autel, vu l'état d'usure de ces gradins (figure 18).

À l'est de la berme centrale, la zone déjà fouillée en 2017 avait mis en évidence une situation d'abandon et réutilisation de cet espace qui semblait occupé par une tombe à ciste (Usc 10.039 et Us 10.040), laquelle avait dû être réalisée en recoupant le mur Usc 10.035. Un peu plus au nord, dans le même secteur, on avait pensé voir un seuil (figures 19 et 20) et on avait avancé l'hypothèse qu'ici se plaçait une des entrées de la maison.

1. Costanzi, Michel 2017, I.2.3, p. 26.

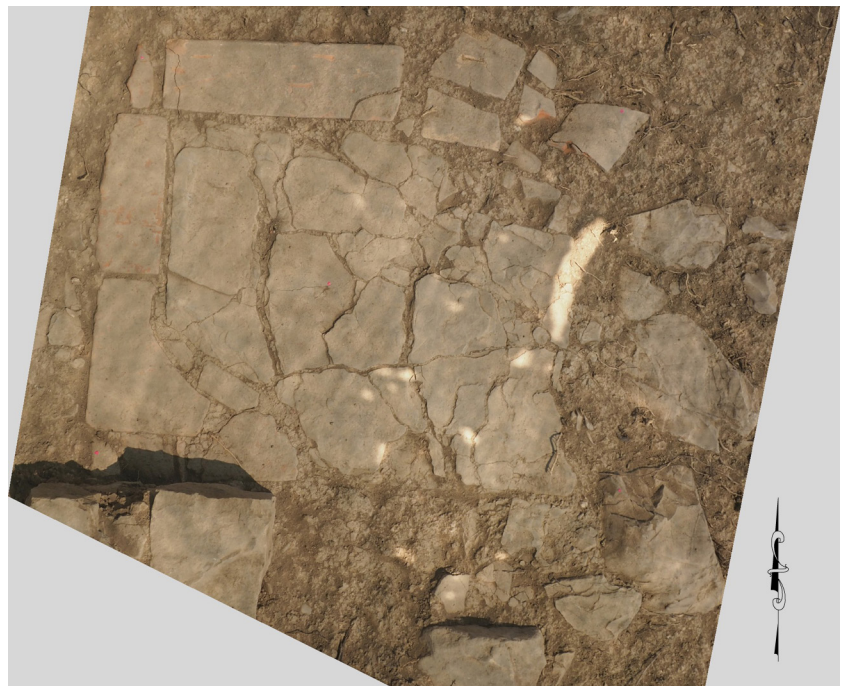
Figure 18 : Les gradins sur le côté sud-ouest de l'édifice. © Marie-Anaïa Zenou, MAFHA.



Figure 19 : Usc 10.037. © Michela Costanzi, MAFHA.



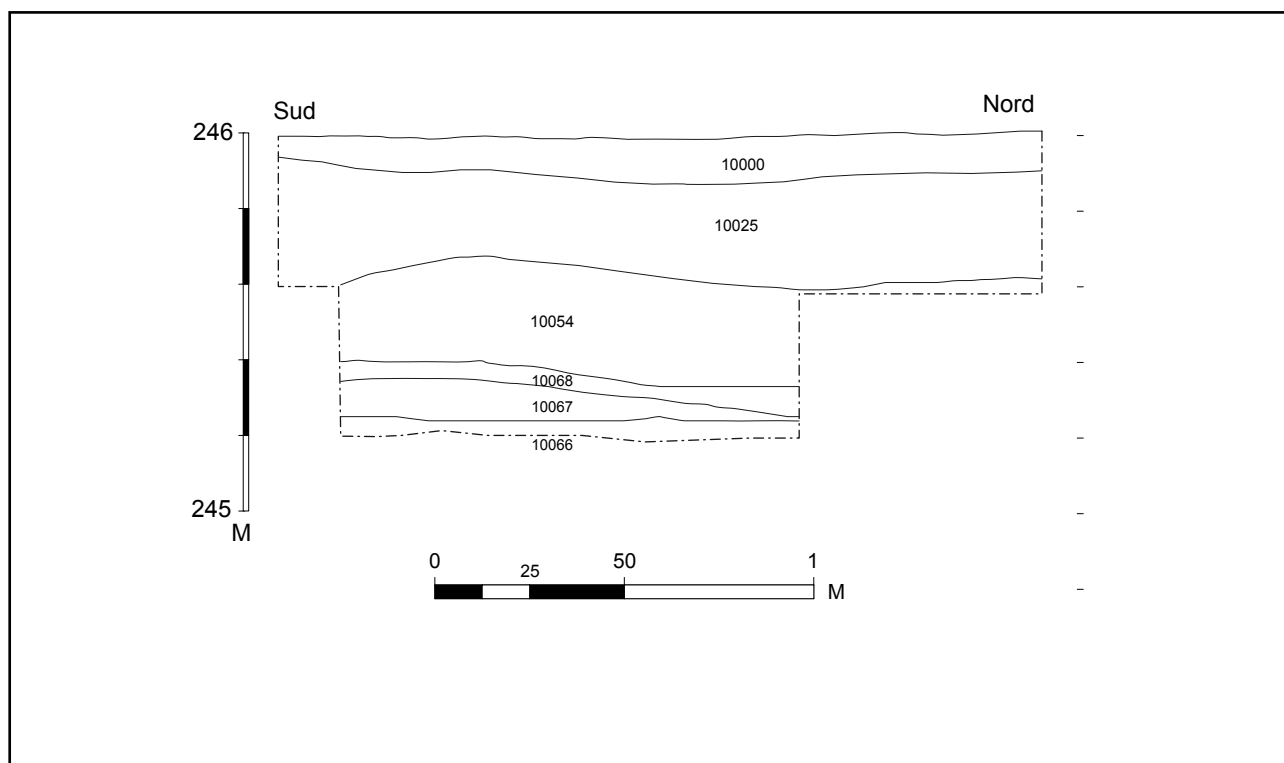
Figure 20 : Orthophotographie d'après un levé photogrammétrique du couvercle de la tombe 10.037. © Vincent Miaillhe, MAFHA.



De manière générale, l'impression était que cette partie de l'édifice avait été très bouleversée, sûrement après son abandon, même si on ne sait pas combien de temps après (figure 21). Les murs sont ici beaucoup plus abimés et dégarnis que sur les autres côtés ; probablement le mur a été spolié aussi pour construire le « bâtiment quadrangulaire » au sud/est. C'est après cette phase d'abandon que la tombe a dû être construite, certainement à la fin de l'Antiquité.

Les fouilles de cette année ont permis d'éclaircir l'organisation et l'histoire de cette zone. En effet, l'effondrement du côté oriental de la colline, dû certainement au fait que l'ancienne terrasse a été détruite de ce côté, a provoqué la destruction importante des structures orientales de l'édifice. À cause de l'affaissement du terrain, elles sont à un niveau beaucoup moins profond dans le remblai et sont beaucoup plus abimées. Mais l'état de leur dégradation dépend aussi du fait que les murs ont été dépouillés de leurs blocs, après l'abandon ; et ensuite les tombes sont construites. Ces tombes étant tardo-antiques (sur la base de l'observation de la forme et du matériel retrouvé dans le secteur), cette spoliation a dû certainement survenir dans l'Antiquité. Si les pierres ont été utilisées pour construire le « bâtiment quadrangulaire » au sud/est de l'édifice centrale, celui-ci devrait avoir une phase antique/tardo-antique (voir paragraphe II.4)

Figure 21 : Coupe 3 sud/nord à travers les remblais de la zone sud-est. © Relevé Marie-Anaïa Zenou, infographie Frédéric Gerber, MAFHA.



Dans le secteur sud/est de l'édifice, la fouille a permis de comprendre qu'il y avait au moins 4 à 5 tombes orientées est/ouest, et non pas une seule tombe, comme on le croyait : et ce secteur semble devenir une petite nécropole qui nous a apparu très perturbée. Pour cette année, nous avons décidé de continuer juste la fouille de la plaque qui l'année dernière nous était apparue comme un seuil (Usc 10.034) ; et nous avons découvert qu'il s'agit de la plaque de couverture d'une tombe, orientée est/ouest, la seule conservée dans ce secteur. Pour les autres tombes, nous sommes convenus d'en fouiller une seule, pour nous rendre bien compte de l'état de conservation des ossements et

Figure 22 : Orthophotographie d'après un levé photogrammétrique de la tombe en coffre 10.055, à l'issue de la fouille. © Vincent Miailhe, MAFHA.

pour vérifier la présence ou l'absence de mobilier funéraire. La tombe (Usc 10.039, 10.055, Us 10.056, 10.064) s'est présentée tout de suite comme profondément bouleversée : les quelques ossements retrouvés (d'un enfant ou d'une jeune personne) sont cassés et non *in situ* ; aucun mobilier n'était présent (figure 22). Dans tous les cas, un anthropologue sera intégré à la Mission l'année prochaine, afin que ces tombes puissent être étudiées d'une manière systématique et exhaustive.



I.2.3.2 – Conclusions et perspectives

Les fouilles de « l'édifice central » lors de cette campagne 2018 ont permis de comprendre qu'il s'agit d'un édifice important pour ses dimensions. Il ne se limite probablement pas aux trois pièces découvertes, comme le suggère l'apparition des éléments qui plaident pour une prolongation vers l'est : les fouilles de juillet 2019 permettront d'en définir l'extension et les dimensions, mais aussi les situations des zones limitrophes au nord et au sud.

D'après la stratigraphie des remblais, il est aujourd'hui évident que cet édifice ouvert sur la route qui longeait la colline du côté ouest, devait avoir un étage en élévation. Cet étage supérieur s'est effondré sur le sol du rez-de-chaussée, un certain temps après son abandon. La succession des Us permet de comprendre que la destruction de cet édifice a eu lieu en plusieurs phases ; sur un sol en terre battue du

rez-de-chaussée on remarque une couche d'abandon, sur laquelle, un peu de temps après, s'effondre le sol de l'étage supérieur. Ce sol, au moins pour la pièce centrale, était en mortier de tuileaux, soutenu par des poutres en bois. À cause de l'abandon, probablement assez long, les poutres se sont abimées et se sont cassées, laissant le sol s'effondrer sur l'étage inférieur. Les blocs du sol en mortier de tuileaux se retrouvent en diverses positions. À proximité des murs ils se retrouvent dans une position parfaitement verticale, à 10-15 cm des murs. Ces 10-15 cm correspondent probablement aux dimensions des poutres en bois qui se sont désintégrées et, l'espace vide, s'est rempli de terre. Dans le reste de la pièce centrale, en revanche, les plaques de mortier de tuileaux sont tombées en position horizontale par rapport au sol. Après un certain temps, et à cause de la dégradation de l'édifice, les briques des murs et les tuiles du toit se sont effondrées au-dessus de la couche de terre qui était venue couvrir les plaques en mortier de tuileaux. La présence d'un nombre assez limité de briques pourrait faire penser que les murs de l'étage, ainsi que ceux du rez-de-chaussée, étaient construits en une technique mixte de terre et brique, tandis que le toit était en briques.

Après son abandon et sa destruction, le côté est de l'édifice, surtout vers le sud, a été fortement spolié. Les blocs ont été réutilisés vraisemblablement pour l'édifice au sud/est (vd. II.4). Nous ne savons cependant pas combien de temps après, mais certainement au cours des premiers siècles de l'Antiquité tardive (probablement les VIe-VIIe s. apr. J.-C.), les tombes ont été construites sur la zone sud/est de « l'édifice central ».

Si nous connaissons mieux désormais les phases d'abandon et de destruction, il est encore trop tôt pour avancer des hypothèses quant à la fondation et à la nature de l'édifice. Cependant, un grand nombre d'objets qui présentent un intérêt certain ont été dégagés à l'intérieur de ces murs : beaucoup de petites têtes et de fragments de statuettes féminines en terre cuite (figures 23 et 24) ; un petit bras en pierre (acrolithe ?) avec la main qui semble tenir une massue (Héraclès/Hercule ?) (figure 25) ; une très grande quantité de lampes, certaines intactes (figure 26 A, B et C). Ces objets ont été retrouvés surtout dans la partie occidentale de « l'édifice central », la moins abimée par l'affaissement de la colline et par les travaux agricoles, celle aussi qui a probablement été la plus remblayée.

Figure 23 : Fragments de statuette en terre cuite et détail de la tête (Us 10.057). © Michela Costanzi, MAFHA.



Figure 24 : Tête de figurine en terre cuite (Us 10.057). © Michela Costanzi, MAFHA.



Figure 25 : Bras de statuette en pierre (Us 10.011). © Michela Costanzi, MAFHA.



Ces objets datent en général de la période entre le IV^e s. av. J.-C. et les I^{er} s. av. J.-C./I^{er} s. apr. J.-C. Si on admet qu'ils appartenait à l'édifice, c'est de cette période qu'il faut dater sa construction et sa longue fréquentation. Mais on doit tenir compte du fait que les remblais peuvent être constitués aussi par la terre venant d'autres zones de l'acropole, pour recouvrir l'édifice après la destruction. C'est seulement par la suite que le mur oriental est spolié ; et enfin, les tombes sont construites aux VI^e-VII^e s. apr. J.-C.

S'il n'est pas possible de l'affirmer avec certitude, ni pour « l'édifice central », ni pour l'acropole en général, il n'est pas improbable d'imaginer sur l'acropole un quartier résidentiel, où les fonctions sacrées ne sont pas, dans l'état actuel des fouilles, totalement exclues.

C'est seulement la prolongation des fouilles de l'édifice et leur extension sur le reste du plateau, vers l'est, mais aussi vers le nord et le sud, seront à même d'apporter les réponses aux nombreuses questions soulevées par l'exploration de cet édifice : Quand a-t-il été construit ?

Pour quelles raisons ? Quelle était sa fonction ? Jusqu'à quand a-t-il été fréquenté ? Pourquoi et quand a-t-il été abandonné ? Quand il s'est retrouvé en état de destruction ? Que se passait-il sur l'acropole et alentour dans le site ? D'une manière générale, comment ce plateau était-il organisé d'un point de vue urbain ? Comment y accédait-on ? Comment y circulait-on ? Ce sont là des questions auxquelles les réponses demanderont des années de travail.

Figure 26 : Trois modèles de lampe à huile. © Michela Costanzi, MAFHA.



I.2.4 – Le « bâtiment quadrangulaire » (avec la collaboration d’Anis Mkacher)

I.2.4.1 – Description

L'étude de la construction quadrangulaire au sud-est de « l'édifice central » visait un double but : d'une part voir si ce bâtiment avait une relation avec les autres constructions de l'acropole et s'il avait été bâti en prélevant des pierres dans les murs du côté est de l'édifice lui-même ; et d'autre part essayer de comprendre sa fonction : par sa position, à l'extrémité sud du plateau, donnant accès à un champ visuel qui englobe la côte et l'intérieur des terres, cette structure a dû jouer un rôle dans l'histoire du site, au moins dans certaines phases. S'agissait-il d'un élément défensif voulu et conçu pour observer la mer et prévenir les habitants des vallées d'un éventuel danger ? Mais quand aurait-il été construit ? Et pour se défendre de qui ?

Un premier nettoyage a été nécessaire, pour enlever les mauvaises herbes, mais aussi les pierres qui étaient tombées tout autour et à l'intérieur du monument (figures 27, 28, 29 et 30).

Figure 27 : Le monument avant la fouille. © Michela Costanzi, MAFHA.



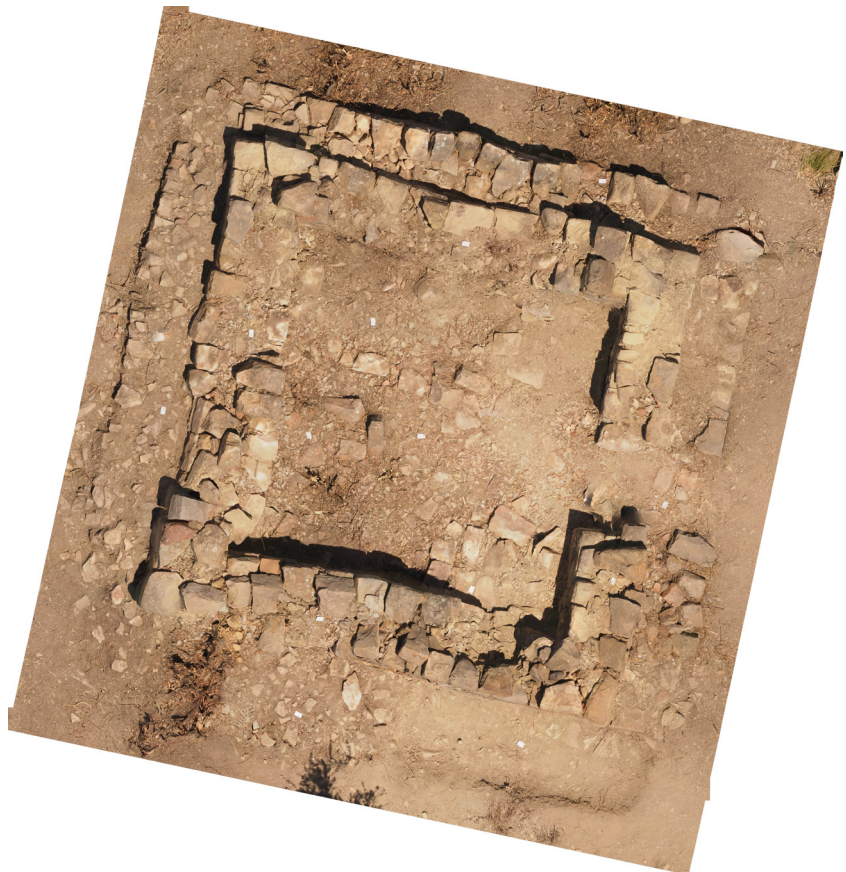
Figure 28 : L'entrée du monument. © Michela Costanzi, MAFHA.



Figure 29 : Vue zénithale en orthophotographie du bâtiment quadrangulaire juste après le défrichage, réalisée à partir du levé photogrammétrique. © Vincent Miaïlhe, MAFHA.



Figure 30 : Vue zénithale en orthophotographie du bâtiment quadrangulaire après dégagement des blocs en éboulis, réalisée à partir du levé photogrammétrique. © Vincent Miaïlhe, MAFHA.



La structure de forme quadrangulaire est constituée de quatre murs construits essentiellement à l'aide de blocs antiques en réemploi, liés par un mortier de marne délitée et de micro-plaquettes rocheuses.

Le mur est du bâtiment (50.005) est celui de l'entrée (0,60 et 0,65 m de largeur). Il est réalisé avec des blocs de réemploi installés en boutisses. La moitié sud est conservée sur 1,40 m de hauteur en moyenne, tandis que la moitié nord est conservée sur 1 - 1,10 m (figure 31).

Figure 31 : Orthophoto de la face orientale réalisée à partir du levé photogrammétrique. © Vincent Miaillhe, MAFHA.



Au niveau de la porte, deux marches composées de plusieurs pierres permettent de descendre dans le bâtiment : celle du bas, créant un renforcement dans le mur, est large de 0,40 m et longue d'1,10 m. La marche du haut est large 0,40 m et longue 0,80 m.

Le mur nord (figures 32 et 33) est composé de deux parements de blocs bruts et de blocs réemployés, avec un blocage d'éclats calcaires, de gravier, de petits blocs, TCA, avec pour liant un limon argileux jaunâtre. Le parement interne verse vers l'intérieur.

Figure 32 : Mur nord, Usc 50.006.
© Jimmy Lefebvre, MAFHA.





Figure 33 : Orthophoto de la face septentrionale réalisée à partir du levé photogrammétrique. © Vincent Miaillhe, MAFHA.

Le mur ouest (figures 34 et 35) est identique dans sa composition au mur 50.006. On note un versement du mur vers l'intérieur du bâtiment.

Figure 34 : Mur ouest, Usc 50.007. © Brian Delarue, MAFHA.



Figure 35 : Orthophoto de la face occidentale réalisée à partir du levé photogrammétrique. © Vincent Miaillhe, MAFHA.



Figure 36 : Orthophoto de la face méridionale réalisée à partir du levé photogrammétrique. © Vincent Miaillhe, MAFHA.

Dans le mur sud du bâtiment (50.008, figure 36), on remarque une niche aménagée dans le parement intérieur auprès de l'angle sud-ouest, à 0,70 m de hauteur depuis le sol. Elle mesure 0,22 m de largeur et 0,25 m de hauteur.



L'intérieur du bâtiment (50.000) se présente selon différents cas de figure :

- Une structure quadrangulaire (figure 37) à l'angle sud-ouest de la pièce. Elle est composée de gros blocs plus ou moins alignés selon leur placement initial dans le parement du mur : effondrement à plat du mur sud ?
- Un alignement (50.012) de blocs de parement : effondrement du mur ouest ?
- L'unité stratigraphique 50.013 offre l'unique niveau de sol à l'intérieur du bâtiment. Il est composé de terre battue (?) reposant sur la roche mère. Cependant, on remarque un peu partout des affleurements rocheux qui sortent de 10 à 20 cm du sol, ce qui correspond au niveau de la marche haute du seuil. On peut se demander si le sol initial n'était pas un dallage qui aurait été totalement réemployé. L'Us 50.012 correspondait alors aux restes de ce dallage, tout comme les deux pierres plates coincées sous l'éboulis du mur ouest, près de l'angle sud-ouest de la pièce.



Figure 37 : Alignement de pierres, Us 50.011. © Jimmy Lefebvre, MAFHA.

I.2.4.2 – Conclusions et perspectives

Le temps dont nous disposons cette année a juste permis de dégager la structure, sans que nous puissions conduire un vrai travail de recherche. Au premier regard, on remarque que cette construction a deux parois, est et nord, renforcées (à double parement), que les blocs utilisés sont certainement des blocs de remploi d'édifices antiques, et certainement de l'acropole, même s'ils montrent des similitudes avec quelques blocs de l'agora.

L'absence totale d'éléments de datation, notamment la céramique, empêche de connaître l'origine de la structure, celle de sa construction comme celle de son abandon. Si certains documents du cadastre mentionnent son existence au XXe s., rien ne nous permet d'exclure d'une manière catégorique qu'il ait été construit bien avant cette époque, ou sur un monument beaucoup plus ancien.

En 2019, il faudrait poursuivre le travail en réalisant au moins deux sondages, qui seuls pourraient fournir une stratigraphie : un devant le seuil de la porte et le deuxième du côté du mur sud de la structure (figure 38). L'objectif de ces deux opérations serait de comprendre si ce bâtiment s'appuie sur des structures plus anciennes, qui semblent apparaître surtout sur le côté sud. Cela permettrait d'obtenir des datations au moins relatives.

Figure 38 : Localisation d'un sondage potentiel, Us 50.005. © Jimmy Lefebvre, MAFHA.



Il faudrait se pencher aussi sur une question importante : celle des « spolia » et du remploi des matériaux des monuments antiques. Ce monument est très riche d'éléments antiques, comme des blocs de parement, des éléments de dallage, de tuiles et de briques.

Il serait intéressant de voir si la spoliation est faite à l'intérieur du site, sur des monuments qui apparaissent comme des ruines, ou bien si les matériaux ont été réutilisés dans des structures utilitaires loin de leur emplacement d'origine. S'agit-il de spoliations liées à la conception monumentale et à la création de nouveaux centres urbains ou, tout simplement, d'une déprédation des monuments anciens ?

Ces recherches, pour aboutir à des résultats concrets, doivent parvenir à déterminer quels sont les acteurs de la spoliation, et comprendre ainsi la mutation des vestiges sur une très longue période.

S'agirait-il, dans un premier temps, du pouvoir politique en place, quelle que soit sa nature, qui aurait joué le rôle de premier acteur dans le processus de la spoliation ? Pouvons-nous parler, dans un second temps, de spoliation privée des monuments par ceux qui sont devenus des propriétaires privés ?

Autant de questions auxquelles il faudrait donner une réponse : l'étude de ce monument pourrait être un premier pas pour éclaircir ces questions à d'Halaesa.

II.

LE SECTEUR

« AU SUD DE L' AGORA »

Vincent Michel

II - Secteur « au sud de l'agora »

Dans la zone au sud de l'agora, plusieurs prospections (prospection géomagnétique, prospection avec caméra thermique, tomographique électrique) ont été menées lors des missions de juillet 2016 puis en mars et juillet 2017. Elles ont fait apparaître une importante densité d'occupation dans cette zone avec des aménagements identifiables par l'alignement de plusieurs murs ; ces études préliminaires ont permis de guider rapidement les premiers sondages puis la réalisation d'une fouille extensive ayant mis au jour plusieurs murs et des sols associés dans deux secteurs. Tous les bâtiments en cours de dégagement suivent l'orientation générale nord-sud, des axes du parcellaire en partie dégagés lors des fouilles précédentes menées par des missions italiennes dans la zone de l'agora.

II.1 - Problématique de la fouille dans ce secteur

Durant la campagne 2018, il s'agissait d'étendre la zone de fouille à l'intérieur du périmètre urbain, dans le secteur situé au sud du *forum* qui s'est maintenu à l'emplacement de l'ancienne *agora*, à partir des quatre secteurs dégagés.

II.2 - Méthodologie suivie

L'arrachement systématique des assises supérieures des murs dégagés en 2016 et 2017 dans les différents secteurs doit vraisemblablement être interprété à la lumière des travaux agricoles pratiqués à partir de l'époque médiévale qui ont profondément modifié le secteur par la création de terrasses artificielles. Le tassement de la terre dans cette zone, ralentissant la progression de la fouille lors des campagnes précédentes de 2016 et 2017, a donc nécessité l'utilisation de moyens mécaniques adaptés lors de cette mission (figure 1). L'utilisation d'une pelle mécanique a permis d'éliminer, en cinq jours, la couche d'humus et de terre végétale qui recouvrait les vestiges sur une profondeur comprise entre 0,50 m et 0,80 m et sur une surface totale de forme trapézoïdale ayant pour côté 20 m (nord), 17 m (sud), 29 m (ouest) et 36 m (est).

Figure 1 : Décapage en cours de la zone de l'agora à l'aide d'une pelle mécanique. © Frédéric Gerber, MAFHA.



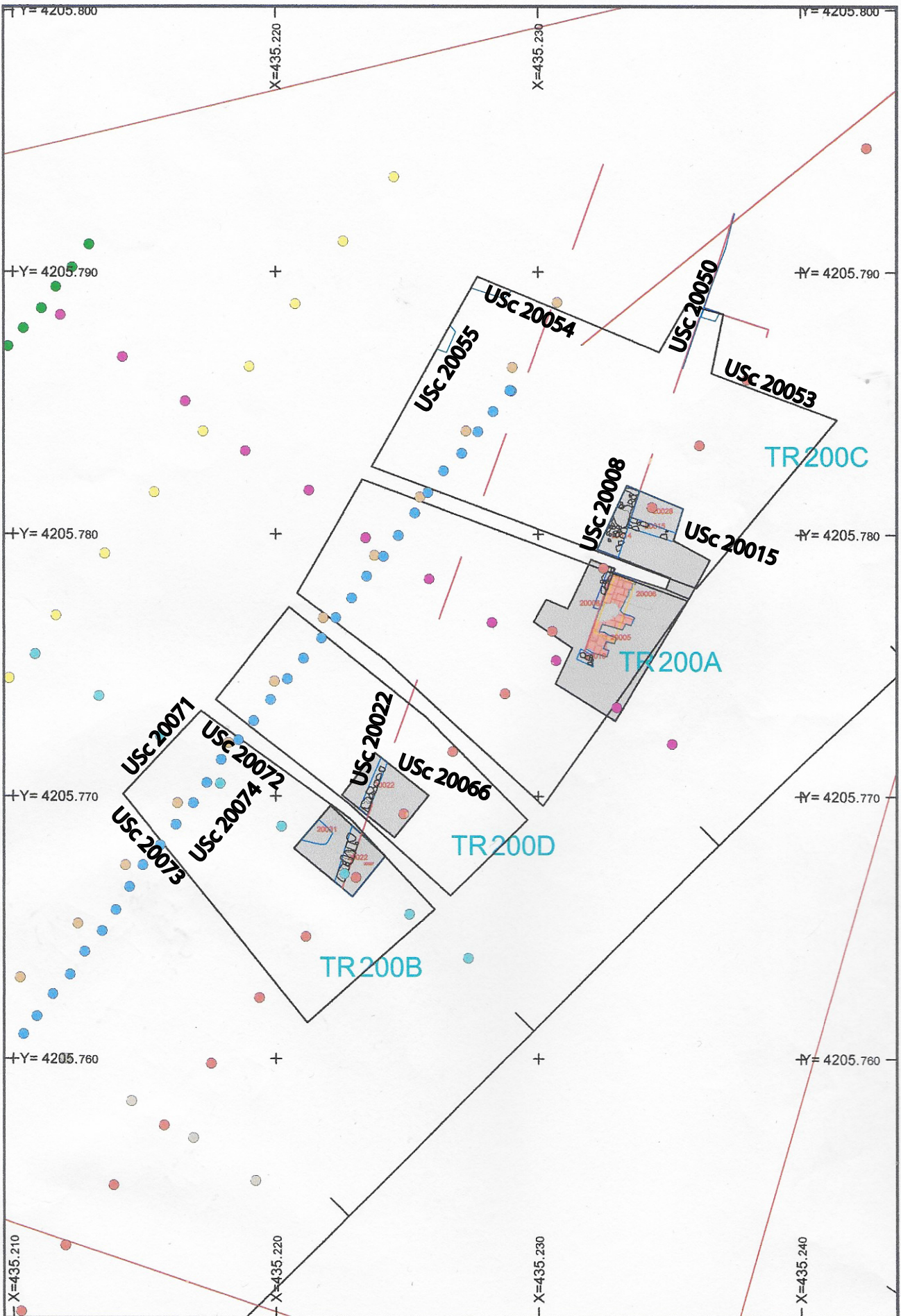


Figure 2 : Plan du décapage mécanique de la zone. © Stéphane Boulogne / Vincent Michel, MAFHA.

Quatre grandes bandes orientée est-ouest (du nord au sud : S1 à S4, de 11,90 à 12,40 m est-ouest sur 4,30 à 8 m nord-sud) ont été creusées, séparées entre elles par trois bermes-témoins nécessaires à la préservation de la stratigraphie (figure 2). À la suite du décapage, un certain nombre de murs et de sol ont été découverts mais laissés en l'état car seuls trois secteurs ont fait l'objet d'une fouille fine : dans le secteur 1 (TR200C), il s'agissait d'étendre le secteur par un sondage vers le nord en direction de la zone de l'agora et du *decumanus* VIII précédemment dégagés afin de comprendre le lien entre les structures en cours de dégagement par nos fouilles et celles déjà dégagées (figure 3). Dans le secteur 2 (TR200A), aucune fouille n'a été effectuée après le passage de la pelle mécanique. La zone de fouille commencée en 2016 n'a pas été étendue lors de cette mission. Dans le secteur 3 (TR200D), la fouille s'est concentrée dans la partie orientale du mur Usc 20022 découvert en 2017. Enfin, dans le secteur 4 (TR200B), la fouille a consisté dans la poursuite du dégagement du mur Usc 20022.

Figure 3 : Secteur 1 (TR200C) - vue vers l'ouest. © Vincent Michel, MAFHA.



II.3 - Les fouilles 2018

En observant la topographie de la zone, il était possible de reconnaître au moins deux niveaux de construction dans le sens de la pente nord-sud et au moins trois lignes d'anciennes terrasses ont été identifiées dans la direction de la pente est-ouest. Ces terrasses sont définies par une succession de murs nord-sud qui s'appuient sur le terrain naturel. Ces murs, qui pour le moment atteignent des hauteurs comprises entre 0,30 et 0,80 m, reprennent la même orientation que celle de la parcelle urbaine mise en évidence dans la zone de l'agora lors des fouilles de l'archéologue italien G. Carettoni (1953) et celles successives de la Surintendance de Messine.

Dans la zone inférieure, les premiers travaux permettent de voir le prolongement des murs et des sols découverts lors de la campagne 2017.

II.3.1 - Secteur 1 (TR200C) :

Dans le secteur nord (S1), le décapage sur une surface d'environ 12,40 m est-ouest sur 8 m nord-sud puis la fouille ont permis de faire le lien avec les anciennes découvertes italiennes réalisées par l'archéologue G. Carettoni (*figure 3*). En effet, ce mur que nous avons numéroté Usc 20053 (on ignore le numéro du mur donné par l'archéologue), et dont le parement nord était visible, est parallèle au mur Usc 20015 (*figures 4 et 5*). Le mur Usc 20053 est adossé au mur Usc 20050 nouvellement découvert qui est la poursuite du mur Usc 20008 mis au jour lors des fouilles de 2016 et 2017 dans les secteurs TR200C et TR200A. Ces découvertes permettent, progressivement, une meilleure compréhension de cette zone située immédiatement au sud du *decumanus* VIII. Le sol de la pièce ainsi délimité par les murs Usc 20053 et 20050 n'a pas encore été découvert.

Figure 4 : Secteur 1 : murs Usc 20053 et 20050. © Vincent Michel, MAFHA.



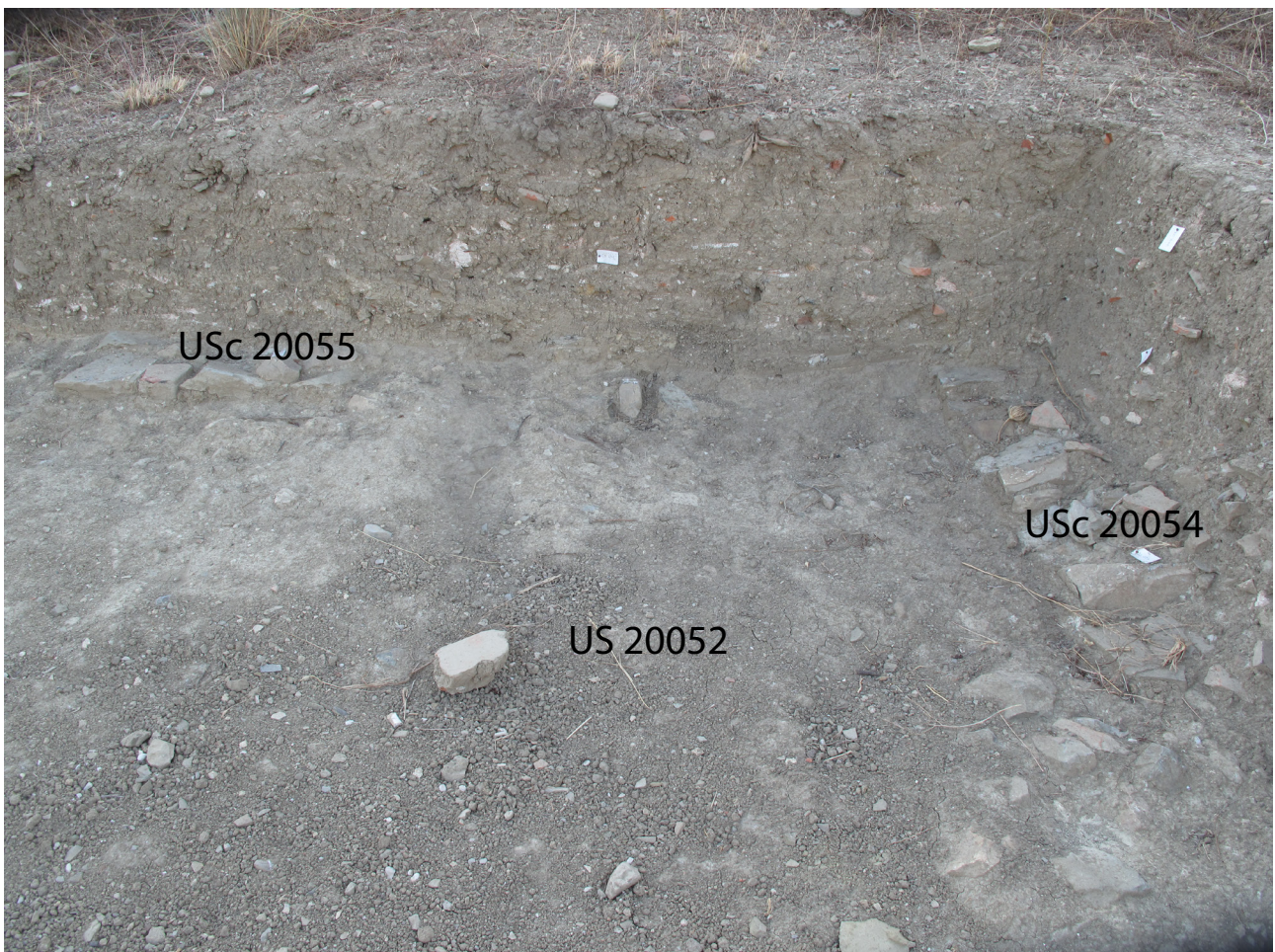
Figure 5 : Secteur 1 : murs Usc 20053 et 20050. © Vincent Michel, MAFHA.



Dans la partie ouest du secteur (figure 6), le décapage de surface a mis au jour deux murs (Usc 20055 et 20054), dont l'angle délimite une pièce au sol non encore dégagé, recouvert par la couche US 20052.

Ces deux zones feront l'objet d'une fouille lors de la prochaine campagne.

Figure 6 : Secteur 1 (zone ouest), murs Usc 20054 et 20055. © Vincent Michel, MAFHA.



II.3.2 - Secteur 2 (TR200A) :

Ce secteur n'a fait l'objet que d'un décapage à l'aide de la pelle mécanique sur environ 12,30 m (est-ouest) et 9,60 m (nord-sud) et sur une profondeur comprise entre 30 et 60 cm. Il n'a pas donné lieu à une fouille durant cette campagne (figure 7).

Figure 7 : Secteur 2 (TR200A) - vue vers l'ouest. © Vincent Michel, MAFHA.



II.3.3 - Secteur 3 (TR200D) :

Dans ce secteur, décapé sur une surface de 12,90 m (est-ouest) sur 4,30 m (nord-sud), sur une profondeur comprise entre 45 et 70 cm, le décapage mécanique de surface s'est limité à la zone située à l'ouest du mur Usc 20022 qui avait été découvert lors de la précédente campagne de 2017 grâce à la prospection électrique. À l'est, nous avons poursuivi la fouille de bâtiments au plan encore incomplet mais dont plusieurs phases apparaissent progressivement (figures 8 et 9).

Figure 8 : Secteur 2 (TR200A) - vue vers l'ouest. © Juliette Coudrin, MAFHA.



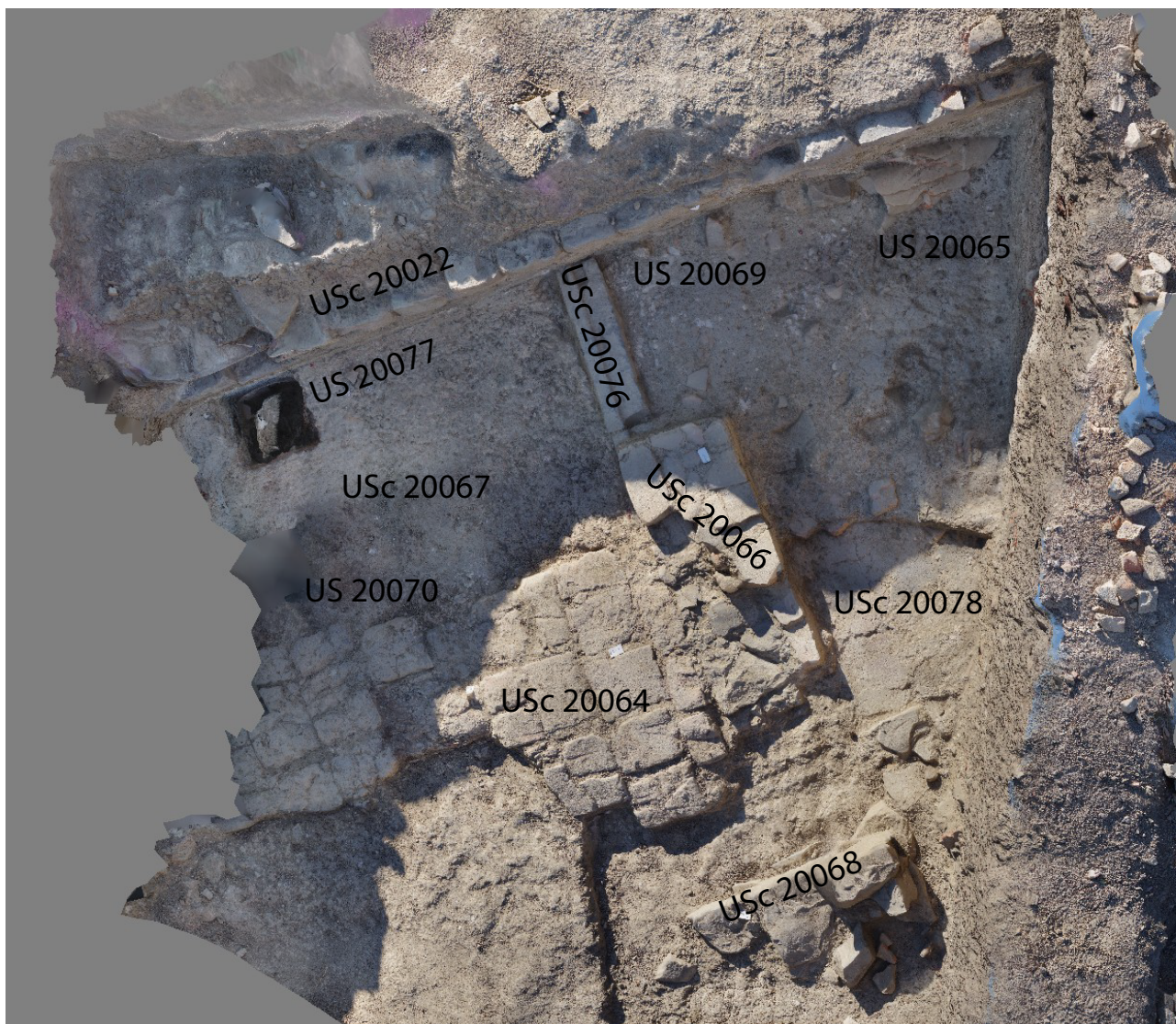


Figure 9 : Secteur 3 : vue zénithale de la zone de fouille © Frédéric Gerber / Vincent Michel, MAFHA.

De l'une des premières phases, date un mur orienté nord-sud (Usc 20022) conservé sur 1 à 5 assises, pour une hauteur totale comprise entre 0,40 et 1 m de hauteur. La maçonnerie est soignée et régulière avec des assises de 20 cm chacune. Le mur est conservé sur 4,10 m de longueur et il recouvert d'un enduit (Usc 20080) encore visible dans l'assise inférieure.

Dans l'angle sud-ouest, un petit sondage (figures 10 et 11) de 45 cm (est-ouest) sur 38 (nord-sud) et d'une profondeur de 77 cm, a été effectué contre le mur après avoir remarqué la poursuite de l'enduit sous le niveau du sol en mortier (US 20067). Ce sondage a mis en évidence une phase plus ancienne ; même si le substrat rocheux n'a pas été encore atteint, nous avons une partie de la fondation du mur Usc 20022 avec plusieurs blocs apparents sur 11 cm de hauteur puis, au-dessus, l'enduit conservé sur 45 cm. Le sol contemporain du mur n'a pas été découvert mais doit probablement être restitué dans les premiers centimètres de l'enduit conservé.

Lors d'une phase postérieure, on assiste à la surélévation du niveau du sol comme l'atteste la présence d'un nouveau sol en mortier très compact (US 20067). Celui-ci est associé à un nouveau mur (Usc 20066) orienté est-ouest conservant un seuil de porte en pierre volcanique (Usc 20076) avec une ouverture de 0,80 m de largeur, qui permet

d'identifier la présence d'un espace divisé en moins deux pièces avec une nouvelle pièce au nord du seuil, conservant un probable sol en mortier compact (US 20069). À la fouille, le dégagement de ce sol fit apparaître un rare sol enduit peint en rouge (US 20078) sur lequel a été construit, au moins dans sa partie visible, le mur Usc 20066 ; on peut émettre l'hypothèse qu'il s'agit du sol d'origine de la pièce contemporain du mur Usc 20022. Il s'agira de vérifier cette hypothèse durant la prochaine campagne. Enfin, un dallage (US 20064) a été ajouté tout en conservant partiellement l'ancien sol (US 20067) le long du mur Usc 20022.

Cette phase atteste bien le processus de compartimentage et de division intérieure des bâtiments antiques ainsi que l'utilisation généralisée des pavements en terre cuite et en mortier compact à la période romaine, visible également dans le secteur de l'agora.

Figure 10 : Secteur 3 - sondage 3.1, coupe ouest, contre le mur Usc 20022. © Juliette Coudrin, MAFHA.



Figure 11 : Secteur 3 - sondage 3.1, coupe nord © Juliette Coudrin, MAFHA.



II.3.4 - Secteur 4 :

Le décapage mécanique s'est principalement étendu dans la partie occidentale du secteur, à l'ouest du mur Usc 20022 et de la citerne, précédemment dégagés durant la campagne de 2017. Cette zone fait apparaître une succession de couche de remblai et de comblement assez hétérogène dans leur composition et couleur les unes par rapport aux autres, attestant une zone profondément bouleversée probablement par les activités agricoles (figure 12).

Figure 12 : Secteur 4 (TR200B) - vue vers l'ouest © Vincent Michel, MAFHA.



Toutefois, dans la partie la plus à l'ouest du secteur, près de la berme occidentale, le décapage a fait apparaître une structure bâtie qui, dans sa phase finale, était probablement composée des murs nord (Usc 20072) et sud (Usc 20073) et d'un sol en mortier très compacte (US 20084) (figure 13). En l'absence d'une fouille fine qui se déroulera lors de la prochaine campagne, il est difficile de préciser la chronologie ; toutefois si le sol en mortier (Usc 20084) est contemporain du mur sud Usc 20073, il semble que les murs ouest (Usc 20071) et est (Usc 20074) aient été construits sur le sol, attestant au moins une phase postérieure.

Dans le secteur oriental, la zone fouillée a consisté essentiellement dans la poursuite du dégagement d'une pièce délimitée à l'ouest par le mur Usc 20022. Malheureusement, cette zone a été fortement perturbée ; ni le mur vers le sud, vraisemblablement aux blocs spoliés dans l'antiquité, ni le sol vers l'est ne sont conservés et ont été remplacés par des couches de remblai (US 20075 et US 20083).



Figure 13 : Secteur 4 – Zone supérieure ouest : structure bâti © Vincent Michel, MAFHA.

II.4 - Conclusions préliminaires

L'arrachement systématique des assises supérieures des murs dans les différents secteurs doit vraisemblablement être interprété à la lumière des travaux agricoles à l'époque médiévale qui ont profondément modifié le secteur par la création de terrasses orientées est-ouest, en suivant la dénivellation. Cela explique également le tassement de la terre dans cette zone ralentissant la progression de la fouille. Toutefois, cette troisième campagne, grâce à l'aide de la pelle mécanique, a été riche et prometteuse en dégageant plusieurs espaces construits. En superposant les résultats des prospections tomographiques et la fouille des deux secteurs nord et sud, nous trouvons un alignement de structures bâties qui se développent notamment dans l'axe précis des murs Usc 20008-20050 et 20022, confirmant la régularité du parcellaire et la densité de l'occupation dans ce secteur. L'étude de la céramique précise une occupation au moins dès le II^e siècle av. J.-C. jusqu'à sa phase finale datable fin V^e siècle ou au cours du VI^e ap. J.-C.

III.

LE SECTEUR

« SOUS LE MUR À CONTREFORTS »

OU SECTEUR « THÉÂTRE »

Frédéric Gerber

III. Le secteur du Théâtre

III.1 - Un rapide historique des recherches

Comme cela avait été rappelé dans le rapport de campagne 2017¹, le secteur pentu en forme d'hémicycle, situé entre le « mur à contre-forts » et l'enceinte de la ville, était pressenti depuis longtemps comme pouvant accueillir le théâtre de la ville antique (figure 1). Toutefois, ce n'est qu'en 2016, à l'occasion de la première campagne de la MAFHA, que furent entreprises sous la direction de Michela Costanzi et Vincent Michel les premières recherches archéologiques visant à confirmer ou infirmer cette hypothèse, notamment à travers un relevé micro-topographique de la zone². Ces premiers travaux furent suivis début 2017 par des prises de vue thermographiques³, un levé LiDAR et une tomographie électrique⁴.

Les résultats des sondages manuels de la campagne 2017 avaient permis de mettre en évidence la présence de gradins taillés dans la roche naturelle (marne altérée), et à l'endroit supposé de l'*orchestra*, la présence d'une zone d'aplanissement de cette même roche. Ces données, complétées par celles de la prospection électrique avaient permis de proposer un profil type dans le cas de l'existence d'un théâtre à cet endroit (figure 2).

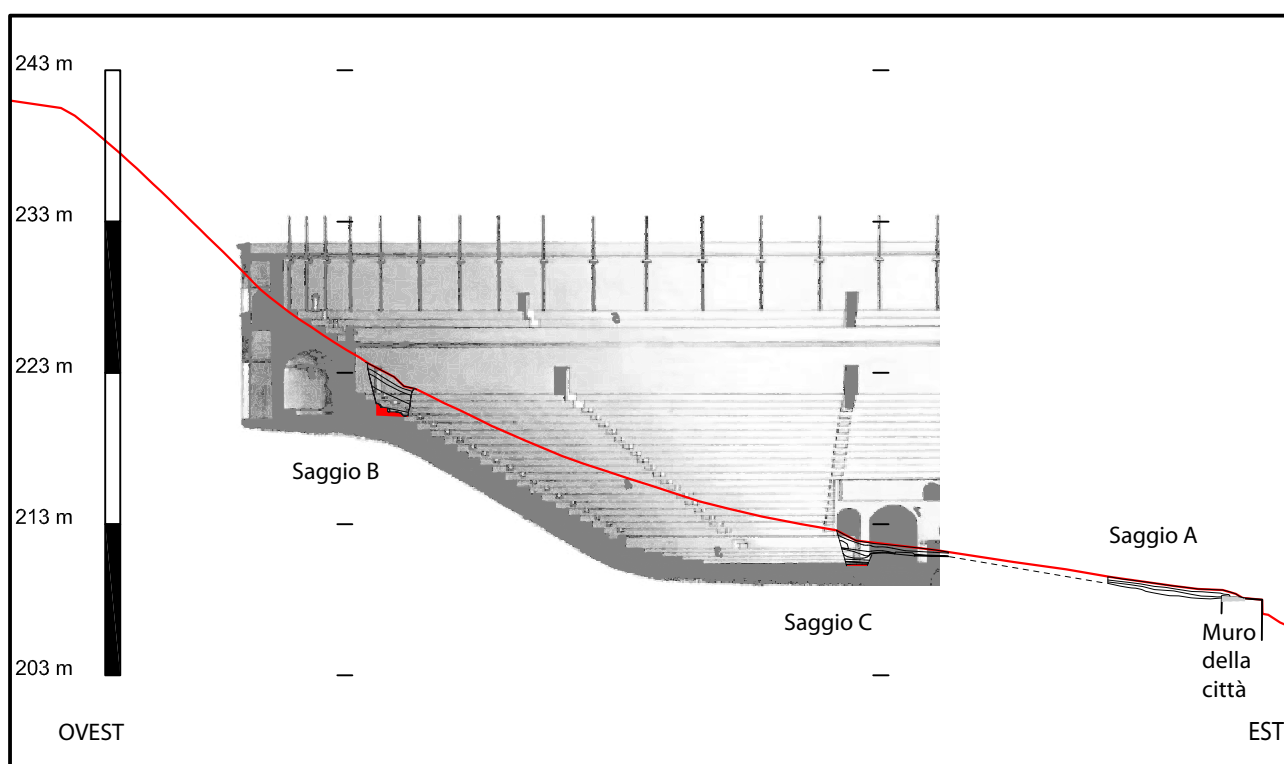


Figure 2 : Profil supposé du remblaiement du théâtre, proposé dans le rapport de campagne 2017 pour montrer que des sondages manuels étaient invisibles. Il s'est révélé être parfaitement exact à l'issue de la campagne 2018. © Frédéric Gerber, MAFHA.

1. Costanzi, Michel dir. 2017, p. 54 ; notamment note 3.
2. Vincent Mialhe, Institut national de recherches archéologiques préventives, interrégion Grand Sud-Ouest (Inrap GSO). <https://www.inrap.fr/>
3. Matteo Pompei, Studio geologico.
4. Sous la direction de Fabio Pallotta, Université de Camerino, et la supervision de Michela Costanzi. Tous ces éléments sont développés avec précision dans le rapport de campagne 2017, p. 54-60.

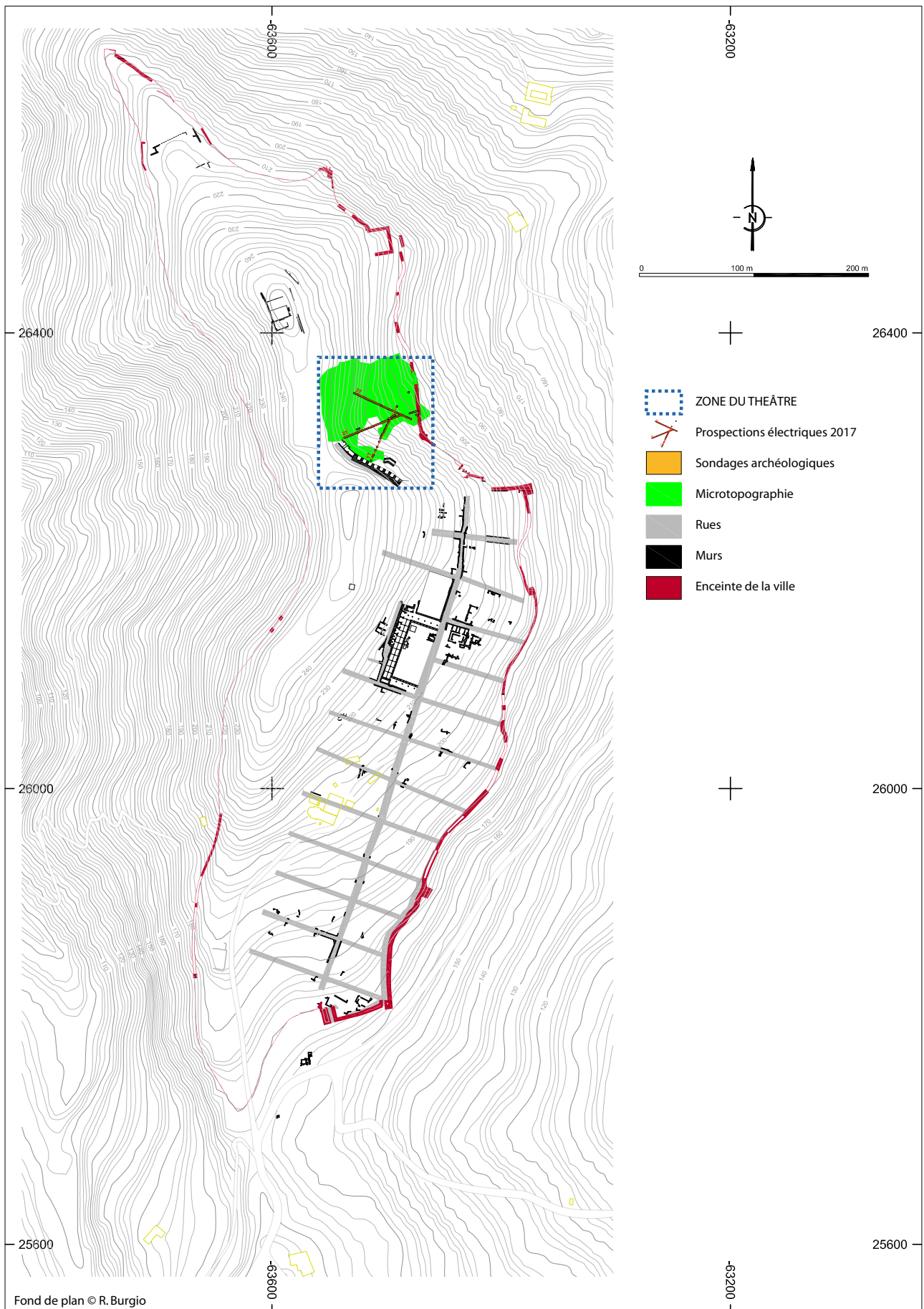


Figure 1 : Localisation du secteur dit « sous le mur à contreforts » sur le fond de plan général d’Halaesa réalisé par Rocco Burgio. © MAFHA.

Parallèlement, la section de rempart qui borde la zone à l'est, avait fait l'objet d'un nettoyage et d'un premier relevé. Un sondage (A), ouvert sur quelques mètres, avait permis de mettre en évidence la présence de nombreux remblais venant en appui contre la face interne de la fortification. Son extension vers le sud (D) avait permis de commencer l'étude de la canalisation qui traverse le mur de part en part, et qui pourrait être en lien direct avec la gestion des écoulements d'eau issus de l'hémicycle⁵.

III.2 - La campagne 2018, stratégie et méthodes de fouille

Suite à une réunion *in situ* en début de campagne avec le directeur du site, Gianfranco Anastasio, et le chauffeur de la pelle, Giacomo Longo, seul à même de dire ce qui était pour lui techniquement possible ou pas, et après l'avis favorable de surintendante Gabriella Tigano, il avait été prévu de réaliser trois tranchées continues depuis le haut de l'hémicycle, jusqu'à la partie plane en contrebas, en reprenant plus ou moins les couloirs débroussaillés l'année dernière à l'occasion des prospections électriques et des sondages manuels. Il a été décidé de procéder progressivement, d'abord avec une tranchée, et après avoir évalué les résultats, d'envisager de continuer avec une deuxième et une troisième. Suite aux résultats positifs de la première tranchée, il a été décidé de ne poursuivre que l'élargissement du sondage B, au niveau des gradins découverts lors de la campagne de 2017. Toutefois, il a été autorisé de procéder au nettoyage de la zone pour vérifier si d'autres installations superficielles étaient visibles. Deux autres sondages ponctuels (F et G) ont néanmoins pu être réalisés à l'extrémité sud du secteur (figure 3). L'un dans la partie basse suite à la découverte d'un alignement de bloc et d'un dénivelé abrupte jusqu'à présent masqué par la végétation et pouvant correspondre au mur de la *parodos* sud (sondage E).

Les terrassements ont été réalisés à l'aide d'une mini pelle mécanique rétro⁶ de 5,5 tonnes, équipée d'un godet lisse, en profitant de l'expérience en la matière de l'archéologue de l'Inrap⁷, responsable du secteur, Frédéric Gerber. (figures 4 et 5), qui vérifiait le travail du chauffeur, parfaitement habitué à l'engin mécanique. Des passes mécaniques successives de quelques centimètres d'épaisseur ont permis de suivre facilement les différentes couches archéologiques ; chaque changement (unité stratigraphique) a été enregistré comme s'il s'agissait d'un décapage manuel. Le dialogue, gestuel ou verbal, entre l'archéologue et le chauffeur de pelle a été constant. Les déblais ont été observés au fur et à mesure de l'avancement. Le décapage mécanique a été arrêté dès que les niveaux de sol ou des structures archéologiques ont été atteints.

Figure 4 : Logo de l'entreprise de travaux Giacomo Longo. © Giacomo Longo.



5. Costanzi, Michel dir. 2017, p. 63-69.

6. C'est-à-dire qui terrasse en tirant la terre vers elle, contrairement à un bulldozer qui la pousse.

7. Institut national de recherches archéologiques préventives. <https://www.inrap.fr/>.

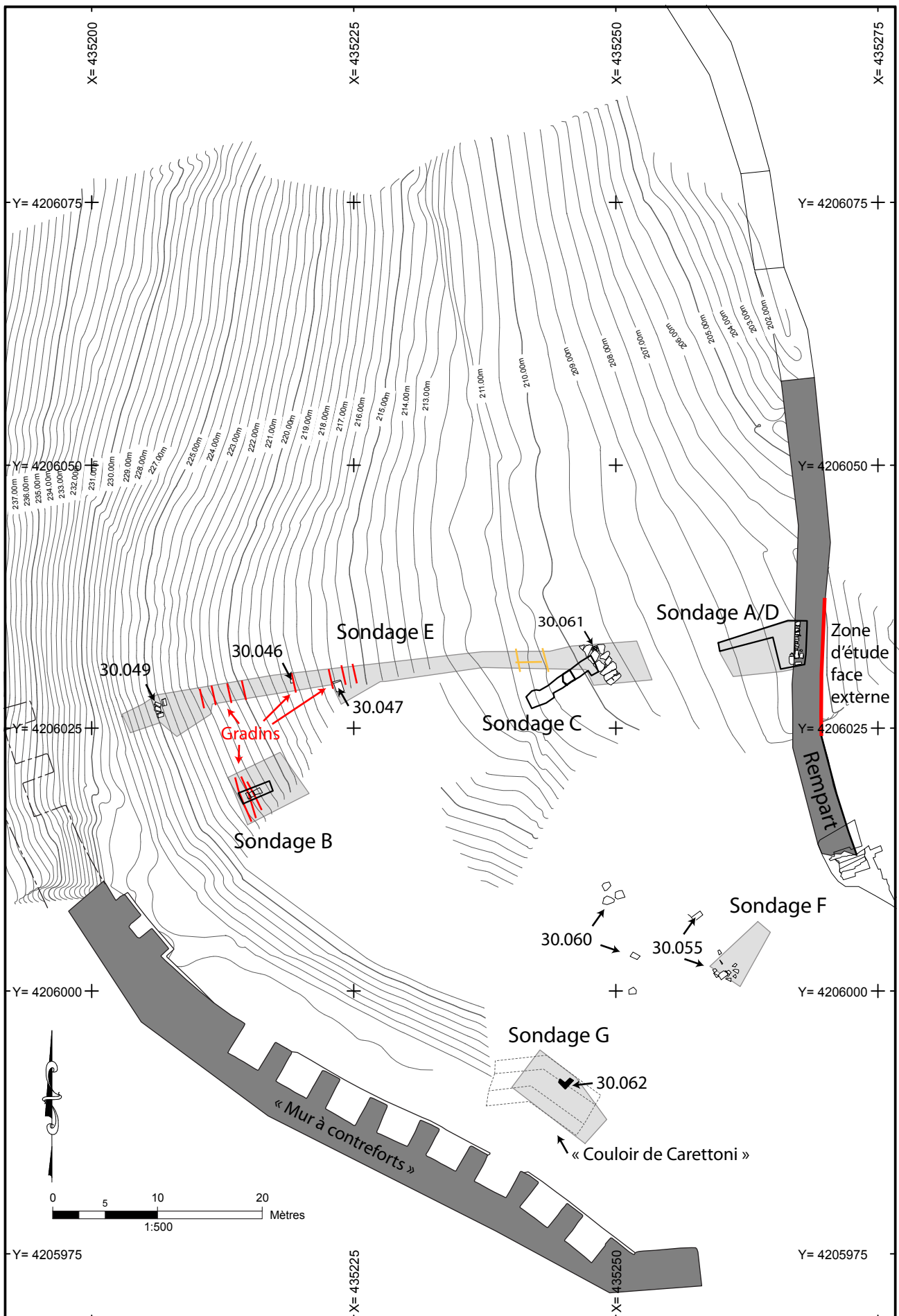


Figura 3 : Plan général du secteur du Théâtre, avec localisation des sondages et des principaux éléments archéologiques. © Topographie Stéphane Boulogne, infographie Frédéric Gerber, MAFHA.

Figure 5 : Premier coup de pelle pour la mini-pelle mécanique sur la pente très marquée de l'hémicycle. Début de l'ouverture de la tranchée E. © Frédéric Gerber, MAFHA.



III.3 – Les résultats

III.3.1 – Le sondage AD : le rempart et la canalisation

La fouille manuelle commencée l'année dernière a été poursuivie sur l'emprise du sondage D et son prolongement vers le nord dans le sondage A, jusqu'à une profondeur de 1,40 m. Ces travaux ayant montré que les remblais d'abandon allaient jusqu'à cette profondeur, la zone a été élargie vers l'ouest à la pelle mécanique, afin d'aménager une rampe d'accès et la mettre en sécurité, et permettre ainsi de descendre plus profondément l'année prochaine.

Le dernier remblai fouillé en 2017 était une couche compacte et hétérogène avec des éléments de démolition (TCA, blocs de pierre), majoritairement disposés à plat, de la céramique et un peu de faune (Us 30.007). Cette couche présentait comme celles au-dessus un pendage marqué d'ouest en est (figure 6).

La première couche fouillée cette année (us 30.051) est relativement plane à son sommet. Très compacte, elle comporte des éléments de démolition (gros blocs de pierre, TCA et des plaques de grandes dimensions de béton de tuileau). Même si son sommet a pu éventuellement servir de niveau de circulation pendant un temps court (il n'y a pas de niveau d'occupation entre celui-ci et le remblai Us 30.007), il s'agit là encore d'un remblai, qui a livré très peu de mobilier. La couche comporte beaucoup moins d'éléments de tuileau vers le sud, et elle a été subdivisée en deux Us, qui participent en réalité à un amoncellement de poches appartenant à une même phase de remblaiement (us 30.050 et 30.052). La couche Us 30.052 qui participe au comblement de la canalisation qui traverse le rempart (Usc 30.032), a livré un mobilier céramique abondant à cet endroit (figure 7).

Ce litage repose sur un autre remblai qui semble être légèrement organique, et qui comporte lui aussi des fragments de béton de tuileau (Us 30.037 = 30.034).

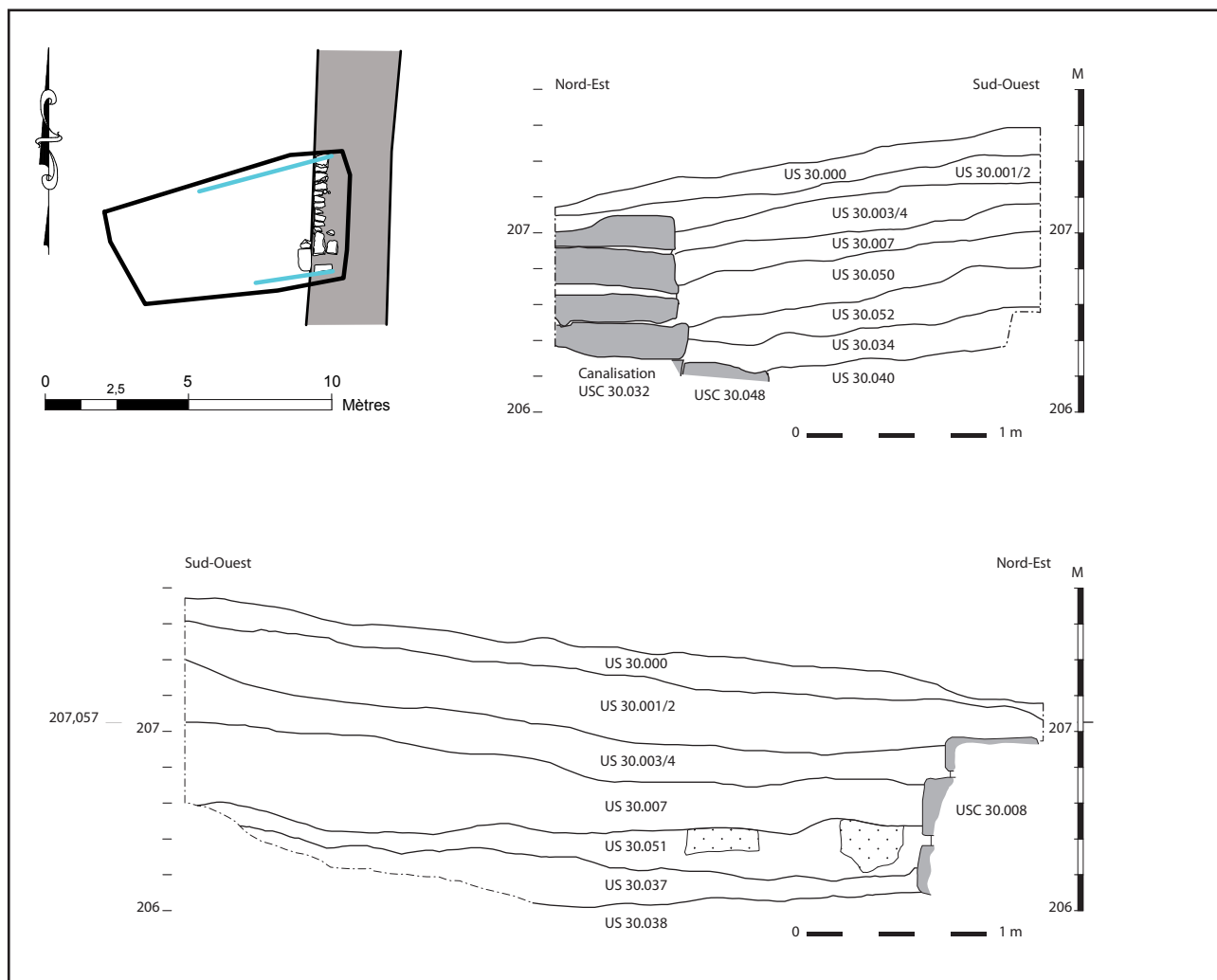


Figure 6 : Relevés stratigraphiques des coupes du sondage A/D montrant les différents niveaux de remblais adossés au rempart de la ville intramuros. © Relevé Vanille Cuvelier et Baptiste Vidal, infographie Frédéric Gerber, MAFHA.



Figure 7 : Comblement de la canalisation qui traverse le rempart, riche en mobilier céramique (Us 30.036). © Théo Martin, MAFHA.

La fouille s'est terminée sur le sommet d'une couche très compacte, qui a servi de niveau de circulation. Ce remblai est composé d'une matrice limono-argileuse, incorporant de nombreux morceaux de TCA, des blocs de petites tailles et des cailloux. Il comprend en surface des éléments céramiques et de la faune (Us 30.038 = 30.040). Au droit de l'ouverture de la canalisation dans le rempart, deux grosses dalles de marne calcaire (Usc 30.048) semblent avoir été déposées là volontairement, au sommet de la couche Us 30.040 (figure 8).

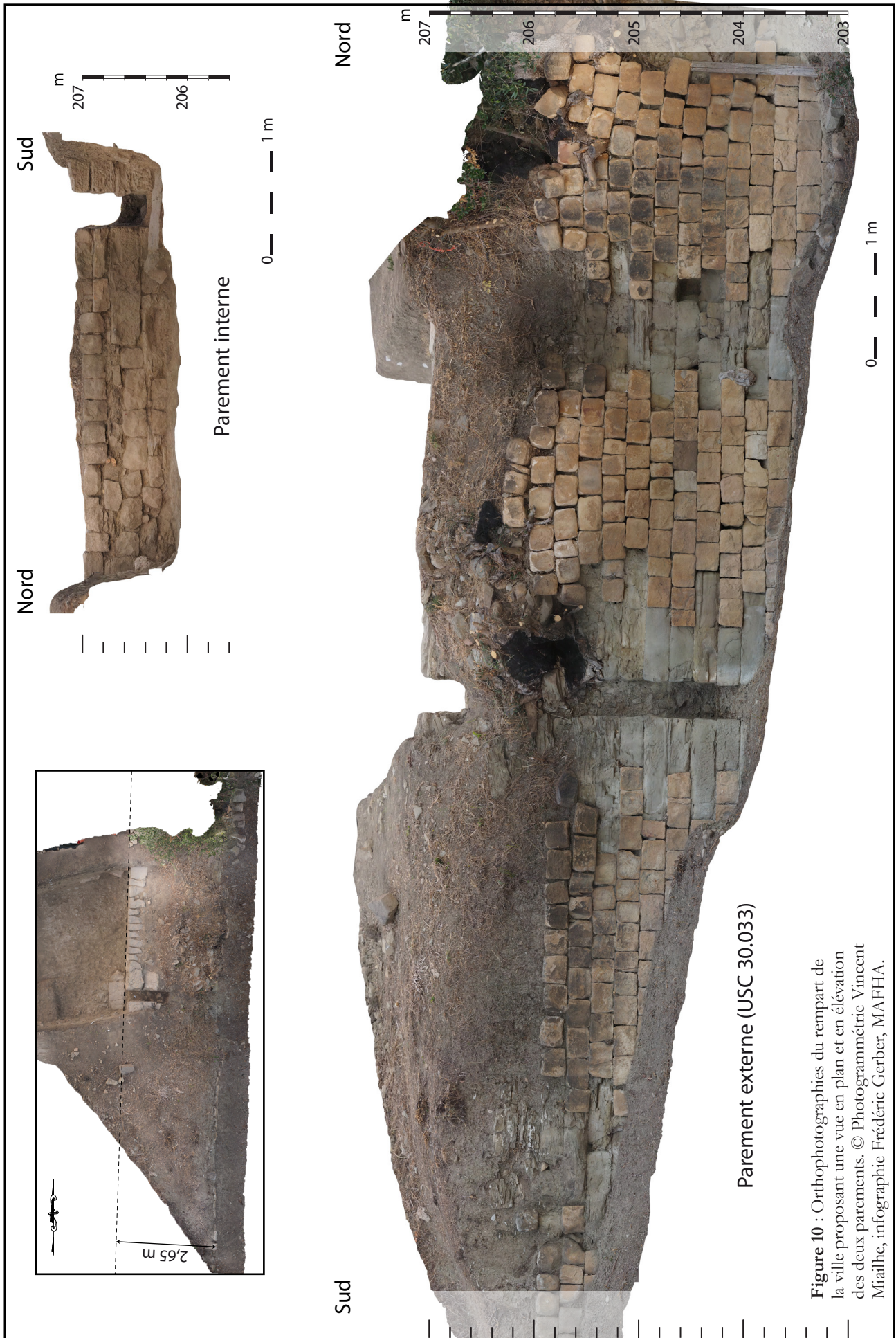
Figure 8 : Fin de fouille du sondage AD contre le rempart, au sommet de la couche Us 30.040. © Théo Martin, MAFHA.



Le rempart a fait l'objet d'un nouveau dégagement de son sommet et de son parement externe (Us 30.033) masqué par la végétation qui avait repoussée depuis la campagne 2017, en vue de son relevé photogrammétrique (figure 9). Des orthophotos des deux parements et une vue zénithale ont ainsi pu être produites (figure 10). La fortification à une largeur de 2,65 m à son niveau d'arasement, et présente une élévation maximale de 3,80 m. La partie septentrionale sur le secteur d'étude est effondrée de longue date. La partie étudiée présente un décollement du parement externe, dû aux eaux d'infiltration et aux racines des oliviers qui ont poussé sur la fortification.

Figure 9 : Vue 3D tirée de la photogrammétrie du rempart de la ville et du sondage AD. © Vincent Miaillhe, MAFHA.





Parement externe (USC 30.033)

Figure 10 : Orthophotographies du rempart de la ville proposant une vue en plan et en élévation des deux parements. © Photogrammétrie Vincent Miailhe, infographie Frédéric Gerber, MAFHA.

La nature des roches composant le parement du rempart a été re-précisée avec l'aide du géologue Paolo Lo Cascio. Il s'agit de roches détritiques, proche du grès. Les blocs gris allongés sont constitués comme indiqué dans le rapport 2017, d'arénite grise à ciment calcaire (*arenaria antracitica*), les blocs quadrangulaires jaunâtres, plus durs, sont eux par contre en quartzarénite (et non en calcédonite qui n'est pas présente pas dans la région). Ces deux types de roche proviennent d'une même zone près de Tusa.

III.3.2 – L'élargissement du sondage B

Une large fenêtre a été ouverte tout autour de l'emplacement du sondage qui avait montré la présence de gradins taillés dans la roche en 2017 (sondage B). Ce terrassement, long de 5 m nord/sud et 7 m ouest/est a permis d'identifier 7 gradins. Toutefois seulement trois ont pu être dégagés et fouillés en totalité durant cette campagne (figure 11).

Larges d'environ 0,80 m et haut de 0,30 à 0,40 m, ils ont des formes relativement irrégulières du fait de creusements et saignées dus de toute évidence au démontage des sièges qui prenaient place au-dessus et qui ont totalement disparus aujourd'hui.

Ils sont taillés dans la marne altérée, qui présente un profil irrégulier, avec des creux et des bosses. Ces creux ont été aménagés, afin d'obtenir une surface plus ou moins plane, avec des blocs de marnes ou d'arénite grise et de la marne délitée qui se présente sous la forme de poudre et de petits éclats à facettes. La présence régulière de fragments de terre cuite dans ces assemblages permet de distinguer la roche rapportée de la roche en place. L'orientation des litages dans les blocs aide également à faire cette distinction ; la roche en place présente en effet des litages O/E alors que les blocs de marne rapportés sont souvent disposés avec leur litage en N/S.

Figure 11 : Les gradins du sondage B. On distingue clairement les différents blocs de roche naturelle mis en place dans les creux que forme le substrat afin d'obtenir une surface à peu près plane. © Frédéric Gerber, MAFHA.



III.3.3 – La grande tranchée E

Large d'1,80 m en moyenne, et long de 50 m, le sondage E a été ouvert à partir de la zone la plus haute que la mini-pelle pouvait atteindre sans danger (figure 12). 2,50 m séparent ainsi la limite ouest de la tranchée du replat au-devant du mur à contreforts. Un espace de circulation et de travail, large de 7,50 m, a été conservé entre les sondages E et AD. La profondeur moyenne atteinte est de 3 m, mais celle-ci arrive à 5 m à l'endroit le plus profond.

Figure 12 : Vue générale de la grande tranchée E, qui part du dallage monumental en cours de dégagement sur la photo, jusqu'à pratiquement le haut de l'hémicycle.
© Frédéric Gerber, MAFHA.



III.3.3.1 – Stratigraphie générale

La stratigraphie des deux premiers mètres est proche de celle observée dans le sondage B l'année dernière, si ce n'est l'absence des déblais de fouille des années 1950 (figure 13). Sous une couche d'humus et de colluvions récentes meubles (Us 30.041), apparaît une couche de remblais compacte et hétérogène dans une matrice de limon brun clair comprenant des blocs de roche grise, des fragments de calcarénite (grès formés par la consolidation de sables calcaires), parfois appelé faux tuf, de mortier de tuileau grossier, de TCA - dont des bords de *tegulae* -, des cailloutis et des nodules calcaires (Us

30.042). Sur le quart occidental de la tranchée, ces remblais reposent directement sur le terrain naturel. Sur le reste de la coupe apparaît sous ce remblai, une couche similaire à la précédente, mais avec de plus gros blocs (naturels), notamment dans sa partie basse. Elle est essentiellement composée de fragments de roche, de petits fragments de TCA, de plaques de mortier de tuileau, et de nombreux cailloux dans une matrice limoneuse fine (Us 30.043). Enfin, en partie centrale, sur 20 m de longueur, une épaisse couche constituée de nombreux blocs et cailloux avec des blocs de pavement, des éléments de faux tuf (calcarénite) et de gros fragments de TCA, comble la zone la plus encaissée (Us 30.044, figure 14).

Figure 14 : Comblement de la partie la plus encaissée de l'hémicycle dans la tranchée E, composé essentiellement de blocs, de déchets de taille et d'éléments architecturaux (Usc 30.044). © Frédéric Gerber, MAFHA.

Le terrain naturel (Us 30.045) est composé de marne argileuse litée, dont la structure est oblique, avec par endroits une couverture de roche décomposée et remobilisée jaunâtre à noire, sur la partie occidentale du sondage.



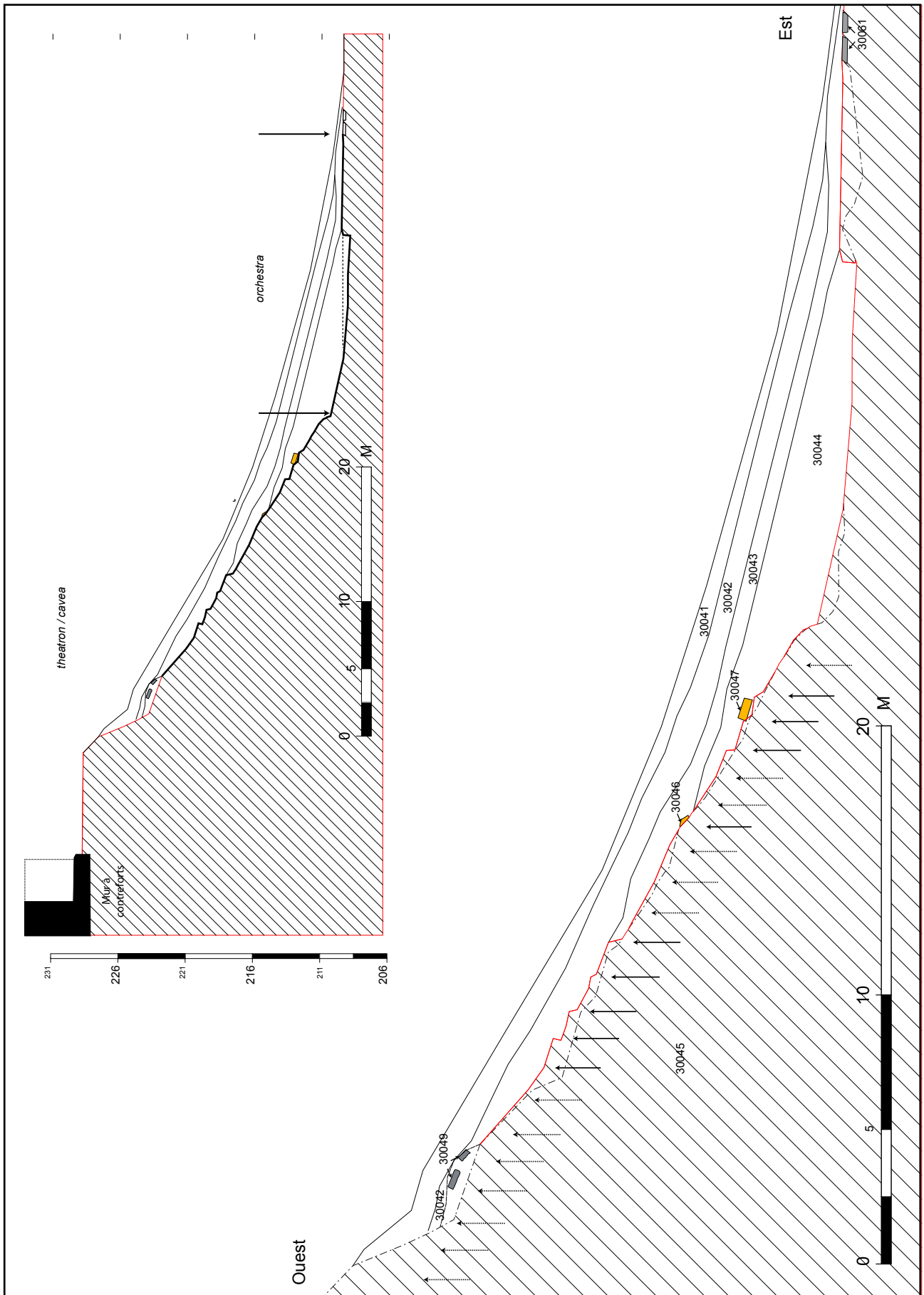


Figura 13 : Profil général et coupe stratigraphique de la grande tranchée E. © Topographie Stéphane Boulogne, infographie Frédéric Gerber, MAFHA.

III.3.3.2 – Des blocs de parement en roche volcanique

Quatre blocs architecturaux, quasiment identiques, taillés dans une roche volcanique noire, ont été retrouvés en amas dans la partie haute du sondage (Us 30.049, figure 15). Ils étaient pris dans une couche de remblais associant, dans une matrice limoneuse plus foncée que la couche 30.042, des fragments de blocs et beaucoup de TCA (figure 16).

Longs de 0,70 m et larges de 0,45 m, ils ont une épaisseur moyenne de 0,20 m. Leur surface semble avoir été volontairement laissée brute de taille, sauf sur une bande d'environ 15 cm de large sur l'un des longs côtés qui est dégrossie et lissée, alors que les petits côtés sont également lissés. Ces blocs pourraient provenir d'un parement présentant un faux bosselage, rappelant celui de la plate-forme de « l'agora basse ». Toutefois, par manque de temps, et afin de les conserver *in situ* dans l'éventualité d'un dégagement plus extensif du secteur, ces blocs n'ont pas été déplacés, et l'aspect de leur face opposée n'est donc pas connue.

Une étude pétrographique serait nécessaire pour déterminer la nature exacte de la roche utilisée. S'il s'agit de basalte, la matière première proviendrait de la région de l'Etna. S'il s'agit de roche plus légère, elle aurait alors été importées de îles Éoliennes.



Figure 15 : Les blocs architecturaux taillés dans de la roche volcanique, retrouvé en éboulis dans le comblement supérieur du sondage E (Usc 30.049). © Frédéric Gerber, MAFHA.

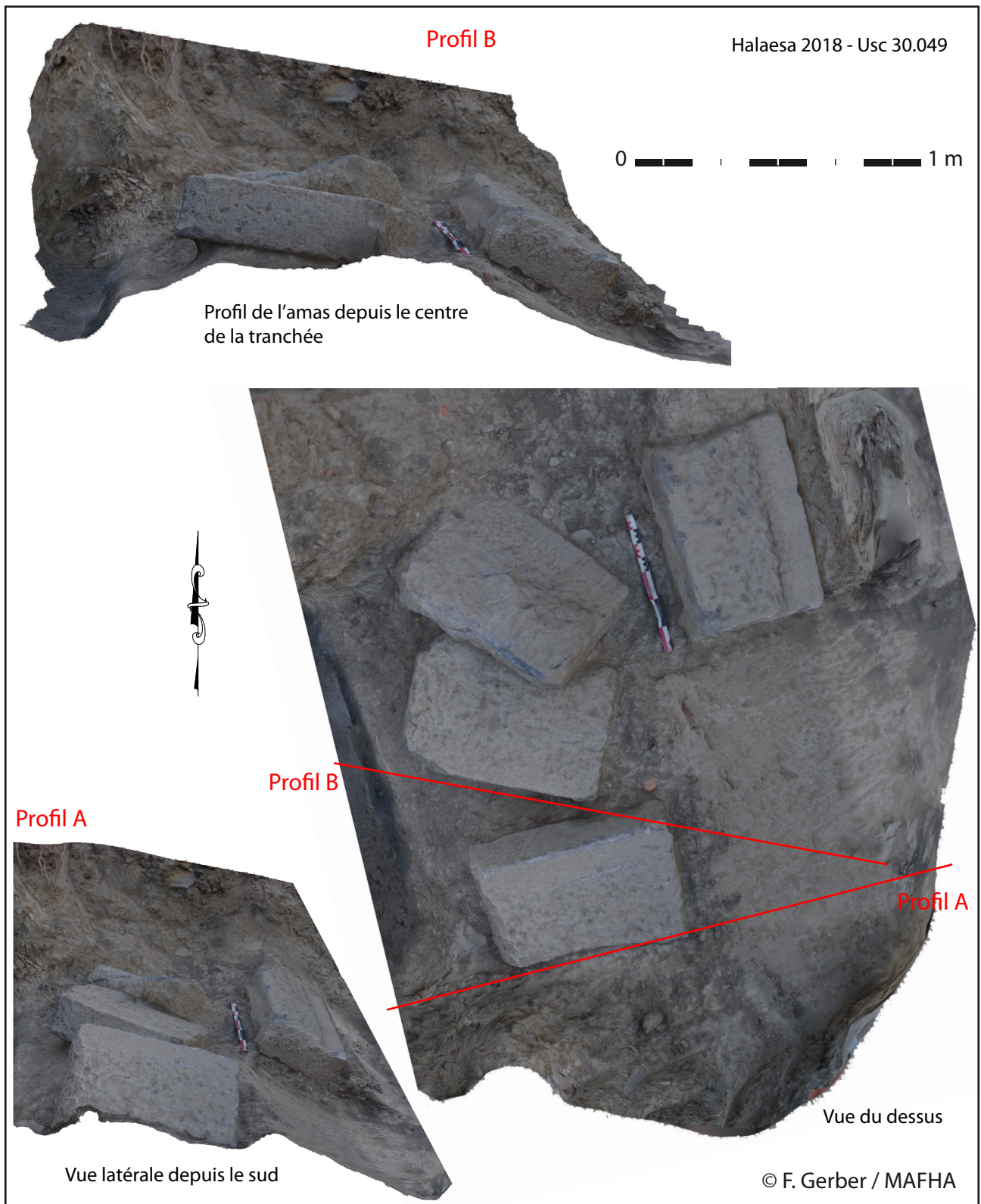


Figura 16 : Orthophotographies des blocs en éboulis USC 30.049, trouvés dans le comblement de la partie haute de l'hémicycle (sondage E). © Frédéric Gerber, MAFHA.

III.3.3.3 – Les gradins

Malgré l'érosion et l'altération probablement due à une action anthropique, des paliers taillés dans le substrat sont encore visibles. Ils semblent dessiner des gradins, profonds d'1 m à 1,20 m, et haut de 0,25 à 0,30 m en moyenne. Huit ont été relevés, mais en reportant les écarts moyens on peut restituer au final au moins une vingtaine de rangées de gradins, pour un dénivelé général de 19 m, depuis le sol de circulation actuel au-devant du mur à contreforts au sol aménagé sur le substrat dans la partie orientale du sondage.

III.3.3.4 – Les sièges de théâtre

Deux éléments lapidaires, taillés dans de la calcarénite constituent des éléments clés pour la compréhension de la fonction de ces aménagements en gradins.

Le premier bloc, qui n'est plus en place, mais probablement à proximité de son emplacement initial, a été trouvé pratiquement au centre de la tranchée, à la base du remblai Us 30.044 (Usc 30.047, figure 17). Large de 0,95 m et profond de 0,86 m, il a une hauteur de 0,38 m. Les faces latérales et arrière sont à peine lissée, alors que la face avant est proprement terminée, et la partie supérieure est patinée par l'usure. Cette dernière se décompose en trois zones : l'assise en avant du bloc, large de 30 cm et se terminant par une légère pente douce formant chanfrein, la zone de circulation large de 40 cm en léger creux, suivie d'un léger chanfrein de 5 cm de large et 3 cm de haut la reliant à une bande large de 11 cm, située à la même hauteur que l'assise, formant lit d'attente pour le bloc suivant. Un bandeau mal conservé sur la face, de 10 cm de haut, surmonte une courbe rentrante (le cavet), haute de 28 cm, en retrait de 9 cm par rapport au plan du bandeau. La partie supérieure porte de nombreuses traces de pics (figure 18). Ceux-ci, laissés de toute évidence durant la phase de spoliation du monument, témoignent du fait que les récupérations ne visaient pas à remployer les blocs tels quels, mais que ceux-ci étaient probablement destinés à être débités.

Figure 18 : Vue de détails des traces de pic ou de pioche sur l'assise du siège de théâtre (Usc 30.047). © Frédéric Gerber, MAFHA.



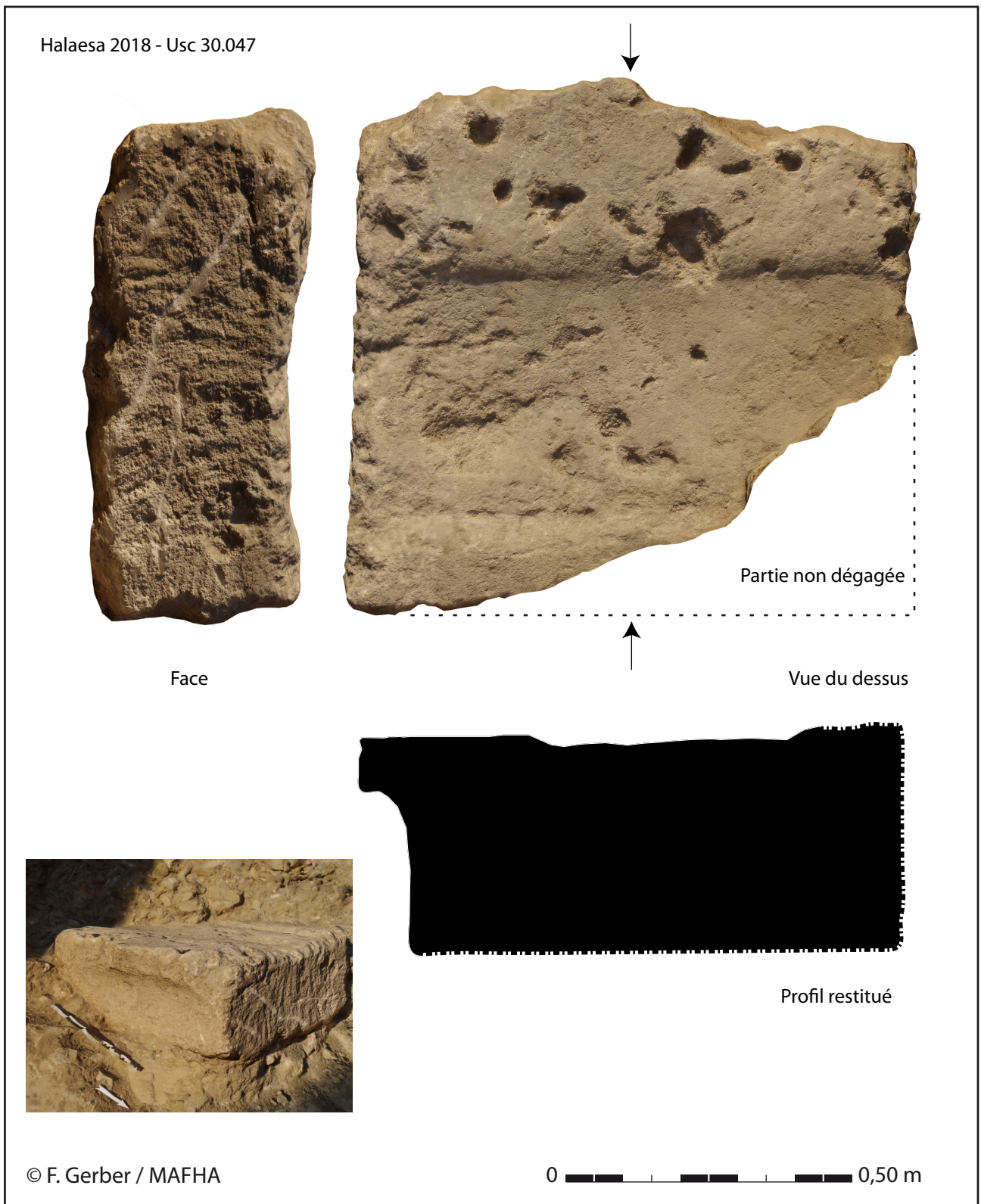


Figura 17 : Orthophotographies et profil du siège de théâtre (Usc 30.047). © Frédéric Gerber, MAFHA.

Le second bloc correspond à un fragment d'un siège similaire retrouvé à 4 m à l'ouest du précédent, encore en place sur le substrat taillé en gradin (Usc 30.046, figure 19). Cet élément, épais de 0,33 m, correspond à la zone du lit d'attente, large là encore de 11 cm, et à une partie de la zone de circulation conservée sur une trentaine de centimètre de profondeur (figure 20). La largeur minimale du bloc est de 0,45 m ; toutefois, celui-ci étant pris dans la berme nord du sondage, elle pourrait être bien plus grande.

Le remblai Us 30.044 a par ailleurs livré, parmi d'autres éclats de calcarénite, un fragment de bloc taillé présentant également la forme caractéristique d'un bandeau suivi d'un cavet (figure 21). Cet élément a été laissé sur site avec les autres éléments lapidaires provenant de cette couche (figure 22).

Figure 19 : Fragment de siège de théâtre encore en place sur son gradin taillé dans la roche naturelle (Usc 30.046). © Frédéric Gerber, MAFHA.



Figure 20 : Vue d'ensemble du fragment de siège de théâtre (Usc 30.046). © Frédéric Gerber, MAFHA.



Figure 21 : Fragment de siège de théâtre ? Bloc en faux tuf (calcarénite), présentant bandeau et cavet, provenant de la couche de remblais Us 30.044 (sondage E). © Frédéric Gerber, MAFHA.

Figure 22 : Mis à part le bloc le plus à droite sur la rangée du milieu, ensemble de blocs en faux tuf (calcarénite) et de dalles en calcaire marneux, provenant de la couche de remblais Us 30.044 (sondage E). © Frédéric Gerber, MAFHA.



Les sièges de théâtre siciliens

Vanille Cuvelier¹ et Frédéric Gerber

La forme du siège et des fragments de siège d'Halaesa est très caractéristique, avec un bandeau peu épais sur la face frontale du bloc, et un cavet (c'est-à-dire une moulure concave) qui descend et termine le bloc en façade. Des exemples similaires sont connus dans quatre autres cités siciliennes : Iaitas (Monte Jato) (figures 23 et 24), Ségeste (figures 25 et 26), Solonte (figure 27) et Tyndaris (figure 28). Ce pourrait également être le cas à Héracléa Minoa, toutefois les sièges ayant littéralement fondu par les effets du temps et de la pluie, cela n'est pas certain (figure 29). L'autre forme de siège, que l'on rencontre le plus fréquemment, présente une façade totalement plate ; c'est le cas à Akrai (figure 30), Catane (figure 31), Heloros (figure 32), Hippana (figure 33), Morgantina (figure 34), Syracuse (figure 35), ou encore Taormine (figure 36).



Figure 23 : Vue d'ensemble des sièges à façade avec bandeau et cavet du théâtre d'Iaitas. © opaxir, Flickr 2018.



Figure 24 : Vue de détails, prise de face, des sièges du théâtre de Iaitas. © Willems/Schnubel (Theatrum site internet de la Direktion Landesarchäologie Mainz).



Figure 25 : Vue d'ensemble des sièges à façade avec bandeau et cavet du théâtre de Ségeste. © Alessandra La Ruffa.



Figure 26 : Vue de détails, prise de face, des sièges du théâtre de Segesta. © TrapaniOK.it.



Figure 27 : Vue de détails, prise de face, des sièges du théâtre de Solunto. © Davide Mauro, Wikimedia.



Figure 28 : Prise de mesure sur un des blocs de grand module du théâtre de Tyndaris. © Frédéric Gerber, MAFHA.

1. Master 2 en cours à l'Université de Poitiers sur les théâtres antiques de Sicile. Cf. Cuvelier 2018.



Figure 29 : Vue d'ensemble des sièges du théâtre d'Herakleia Minoa. © W. Taube, 2007 (Theatrum site internet de la Direktion Landesarchäologie Mainz).



Figure 32 : Les sièges à façade droite du théâtre d'Holoros. © Davide Mauro, Wikimedia.



Figure 30 : Les sièges à façade droite du théâtre d'Akrai © Akrai _ Clemensfranz, Wikipedia 2006.



Figure 33 : Les sièges à façade droite du théâtre d'Hippana (Monte dei Cavalli). © Stefano Vassallo e Oscar Belvedere, eventiesagre.it, 2014.



Figure 31 : Vue d'ensemble des sièges du théâtre à façade droite du théâtre de Catania. © Luca Aless, Wikimedia 2016.



Figure 34 : Vue d'ensemble des sièges maçonnés à façade lisse du théâtre de Morgantina. © Morgantia07, Wikipedia, 2008.



Figure 35 : Les sièges à façade droite du théâtre de Syracuse. © Manuel Trujillo Berges, 2001, Flickr.



Figure 36 : Vue d'ensemble des sièges à façade droite du théâtre de Taormina. © lavaligiasottosopra.blogspot.it.

Les recherches publiées par Karina Mitens² permettent d'établir un tableau de comparaison des différentes dimensions relevées, sans s'attacher au critère de la forme que présente le siège (**Tableau**). Les mesures sont très similaires à celles des éléments découverts à Halaesa, avec des hauteurs qui sont comprises entre 0,27 et 0,40 m et des largeurs entre 0,60 et 0,80 m.

À côté des mesures des blocs de sièges, sont données celles des bancs de pierres avec dossiers et possible accoudoirs. Le mode de construction et les matériaux utilisés, si ces derniers sont connus, apparaissent également dans le tableau. Enfin, il est à noter que certains édifices possèdent des sièges de proédrie, dont les particularités sont soulignées.

	Halaesa (USC 30047)	Halaesa (USC 30046)	Akraï	Heloros	Heracléa Minoa	Iaitas	Ségeste	Solonte	Syracuse	Tyndaris
Hauteur (H)	0.38 m	0.33 m	0.27 m	0.33/0.36 m	0.39 m	0.39 m	0.38 m	0.38 m	0.33 m	0.37 m
Largeur (A + ZC)	0.70 m (0.86 m avec lit d'attente et chanfrein)	0.30 / 0.45 m (visibles)	0.75 m	0.60 / 0.70 m	0.71 m	0.74 m	0.73 m	0.71 m	0.80 m	0.63 m
Assise (A)	0.30 m	X	0.35 m	X	0.35 m	0.33 m	0.34 m	0.33 m	0.35 m	0.26 m
Zone de circulation (ZC)	0.40 m	X	0.40 m	X	0.36 m	0.41 m	0.39 m	0.38 m	0.45 m	0.37 m
Mode de construction et matériaux	Bloc en calcarénite (faux tuffeau)	Bloc en calcarénite (faux tuffeau)	Quelques gradins taillés directement dans la roche / Pente naturelle et artificielle	X	X	X	X	X	Blocs divisés pour les sièges, taillés dans la roche	Bancs de pierres
Siège de la proédrie	X	X	X	X	Sièges avec dossiers et accoudoirs	Sièges avec hauteur minimale de 0.08 m / Sièges décorés de pattes de lions	X	X	Bancs de pierre avec des dossiers	X
Banc de pierre avec dossiers et potentiellement accoudoirs	X	X	X	X	L : 4 m H : 0.43 m H (dossier) : 0.45 m A : 0.47 m ZC : 0.49 m	H : + de 0.08 m H (dossier) : + de 0.43 m A : 0.48 m	H : 0.38 m H (dossier) : 0.21 m A : 0.39 m	X	X	X

Tableau : Description des sièges de théâtre de divers sites siciliens. © Vanille Cuvelier, MAFHA.

2. MITENS Karina, *Teatri greci e teatri ispirati all'architettura greca in Sicilia e nell'Italia meridionale c. 350-50 a.c.: un catalogo*, Rome, 1998, p. 50.

Concernant le détail des dimensions des sièges avec bandeau et cavet en façade, une visite du site de Tyndaris par les membres de la MAFHA en juillet 2018, a été l'occasion d'une prise de mesures directe sur quelques-uns des éléments les mieux conservés. Il a ainsi pu être observé, outre quelques variations dans les dimensions, qu'il existe divers modules de blocs qui se distinguent essentiellement par leurs largeurs. Le plus grand bloc observé possède une profondeur de 0,68 m dont 0,36 m pour l'assise, avec une hauteur de 0,42 m. Il est large de 1,40 m. Le plus petit bloc est accolé à l'un des escaliers du *koilon*. Il mesure 0,58 m de large. La bande qui forme le lit d'attente mesure 0,16 m. La zone de circulation est de 0,37 m et la zone d'assise mesure 0,26 m, ce qui donne une profondeur totale de 0,63 m. En façade, le bloc possède un bandeau large de 0,16 m, avec un espace en cavet de 0,21 m.

Même si le nombre de théâtres fournissant des informations sur le type de siège présent est relativement restreint, il est intéressant de noter que ceux à façade avec bandeau et cavet semblent se concentrer sur la côte nord de la Sicile (figure 37). En l'absence de typologie publiée à ce jour, il est difficile de se prononcer sur l'importance éventuelle de cette caractéristique. Si l'on retrouve les sièges à bandeau et cavet en Jordanie par exemple (théâtre de Jerash), les théâtres du sud de l'Italie, comme Locri et Metaponto, présentent des sièges à face lisse. Il s'agit donc là d'une orientation de la recherche à prévoir.

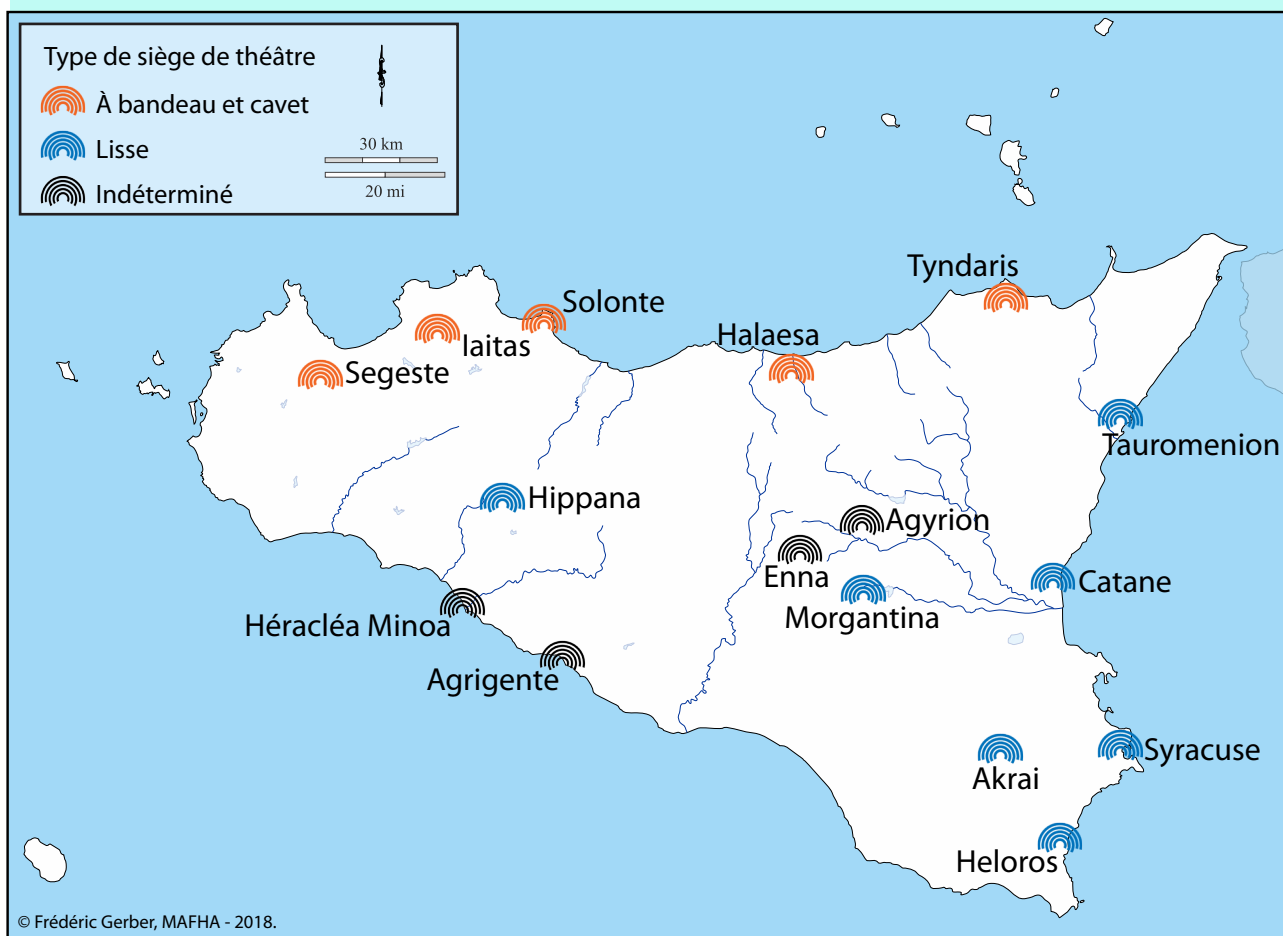


Figure 37 : Les théâtres antiques de Sicile et la typologie de leurs sièges. © Frédéric Gerber, MAFHA.

III.3.3.5 – Le substrat entaillé et un dallage monumental : l'orchestra ?

À peu près au centre du sondage, un décrochement de près de 0,70 m de profondeur, apparaît dans le substrat. Il pourrait marquer la limite entre la *cavea* et l'*orchestra*. La roche est ensuite entaillée en pente douce sur 13,40 m de long, probablement au moment de la destruction du monument et quoiqu'il en soit avant la mise en place du remblai Us 30.044. Intervient ensuite un ressaut vertical, haut de 0,60 m, puis sur 7,40 m de long le substrat est taillé à plat, comme cela avait déjà été observé en 2017 dans le sondage C (Us 30.022).

L'extrémité orientale de ce sol est marquée par un dallage monumental (figure 38), composé de dalles d'arénite grise à ciment calcaire (*arenaria antracitica*) et de calcaire marneux compact (Us 30.061). Large de 2,10 m, il a pu être dégagé sur 4,60 m de long. Sa limite sud semble correspondre à la zone décapée, alors qu'il se poursuit vers le nord sous la berme.

Figure 38 : Vue d'ensemble du fragment de dallage monumental marquant la limite orientale de l'*orchestra*. © Photo Vincent Miaïlle, infographie Frédéric Gerber, MAFHA.



On peut facilement imaginer que la zone plane s'étendait initialement à toute la surface entre le décrochement et le dallage monumental, et qu'elle correspond au sol de l'*orchestra*. Celle-ci aurait donc un diamètre minimal de 19,80 m. Nous ne pouvons pas savoir toutefois dans l'immédiat si elle était circulaire ou bien ovale.

III.3.4 – Le sondage F et les défrichements sur la zone Sud-Est

Le défrichage de la zone a permis de découvrir sur sa partie sud-est deux ruptures de pente brutales, soulignées de plus par la présence de blocs de roche semblant former des alignements ; d'au moins 12 m de long pour celui du haut, et 8 m pour celui du bas. Au niveau le plus haut (au sud), le dénivelé entre le premier alignement et le second est de 3,80 m ; et celui entre ce dernier et le terrain actuel en contrebas de 3,50 m. Les deux alignements parallèles de blocs sont séparés par une distance de 5 m.

Les blocs de la partie haute semblent être des blocs prélevés sur la roche naturelle sans réel façonnage (Us 30.060, figure 39). Ils sont disposés sur deux rangs de large. Le temps a toutefois manqué pour les dégager plus avant.

Figure 39 : Blocs bruts aménagés en maçonnerie pouvant correspondre à la partie haute du mur du *parodos* sud (Usc 30.060).
© Frédéric Gerber, MAFHA.

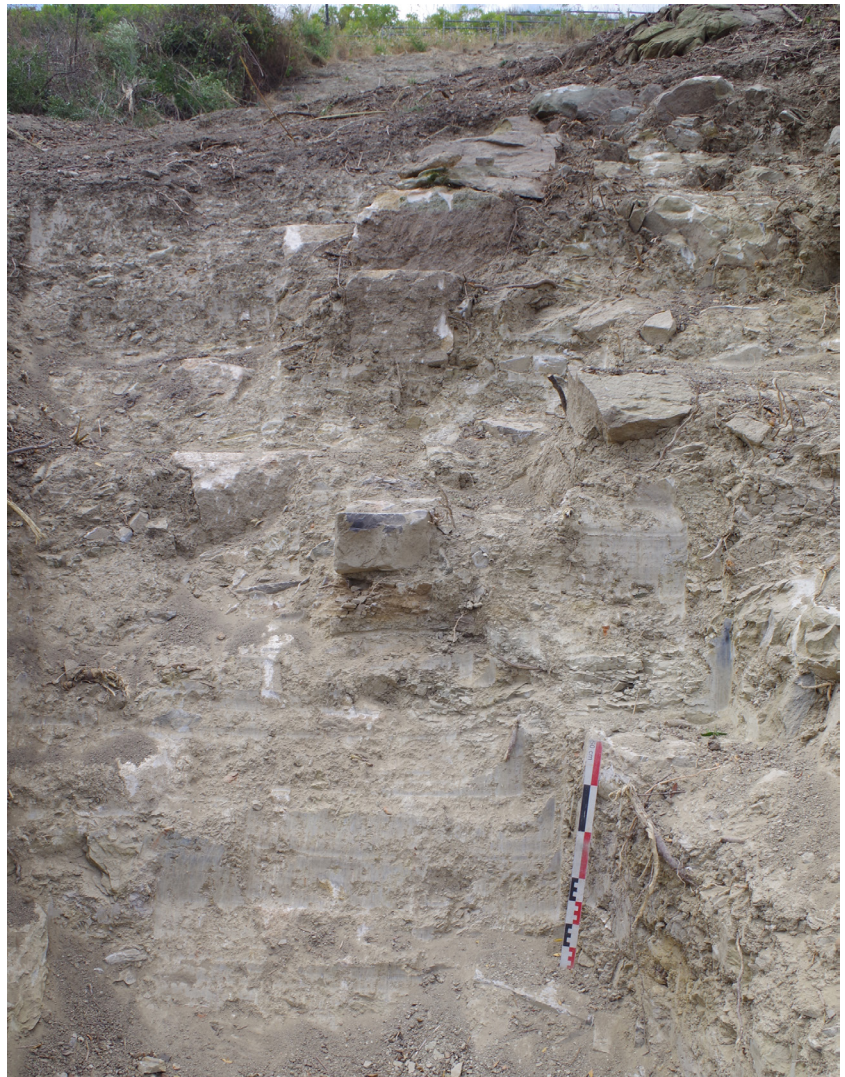


Ceux du bas, observés soit isolés dans la pente (Us 30.055 nord, figure 40), soit à l'occasion du sondage ouvert perpendiculairement à cet alignement (Sondage F, Us 30.055 sud, figure 41), se présentent sur trois à quatre ou cinq assises. Ils sont alternativement taillés dans du faux tuf (calcarénite) et dans de la marne calcaire. Des remblais et colluvions importants en masquent la plus grande partie (Us 30.056 et 30.057, figure 42).

Figure 40 : Construction en blocs de grand appareil pouvant correspondre à la partie basse du mur de la *parodos* sud (Usc 30.055). © Frédéric Gerber, MAFHA.



Figure 41 : Les blocs de grand appareil (Usc 30.055) en tête de la tranchée F. © Frédéric Gerber, MAFHA.



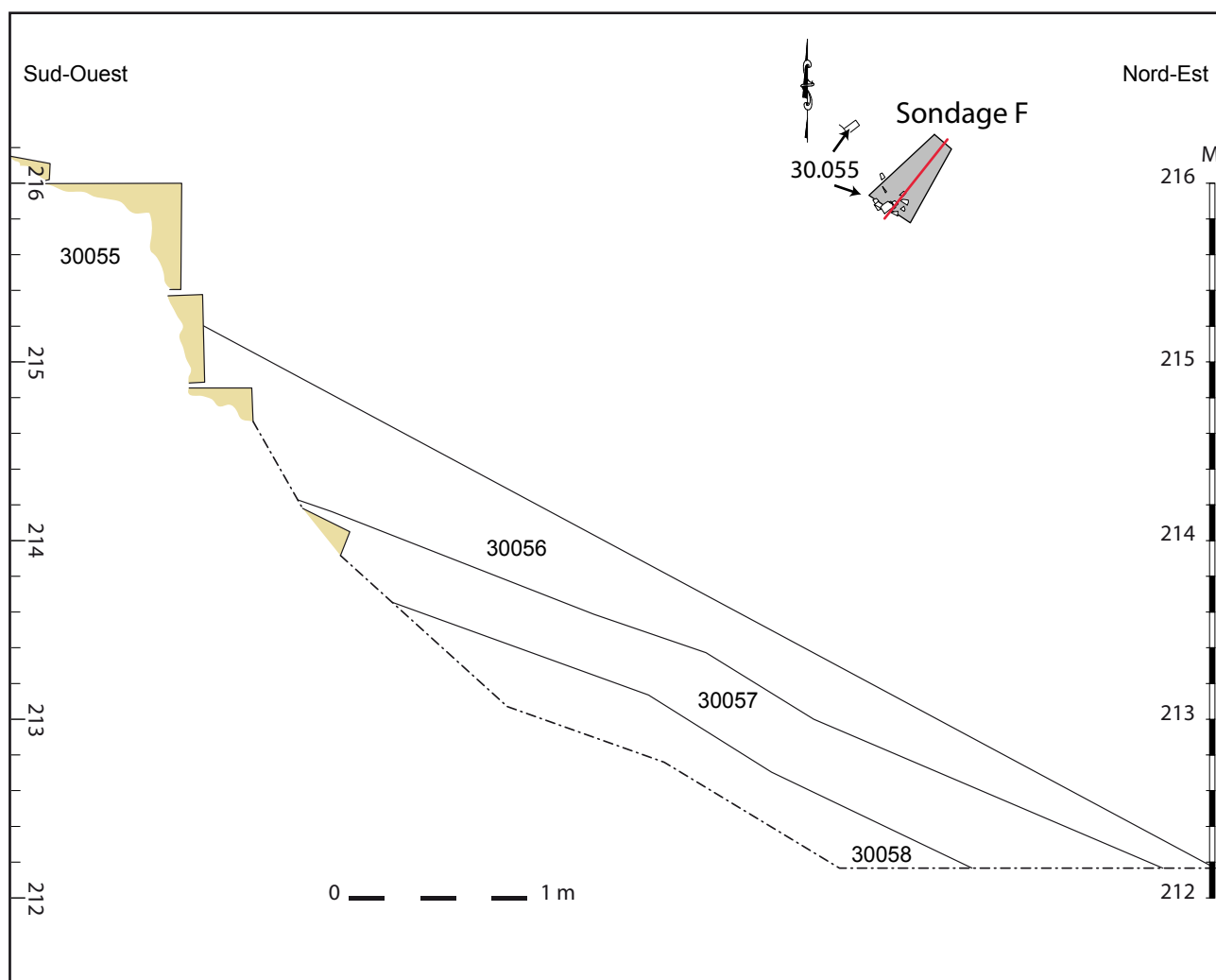


Figure 42 : Profil général et coupe stratigraphique du sondage F. La maçonnerie de la partie basse du mur de la *parodos* sud apparaît clairement. © Topographie Stéphane Boulogne, infographie Frédéric Gerber, MAFHA.

Ces deux alignements formant aménagements en terrasse, ne sont pas sans rappeler ceux qui forment les murs de *parodos* du théâtre de Tyndaris. Il est fort probable qu'ils correspondent ici aux murs de la *parodos* sud soutenant la *cavea*. Aucun niveau de sol contemporain n'a été rencontré dans le sondage. Mais il n'est pas impossible que le sol primitif n'ait pas été atteint, le fond du sondage étant marqué par une couche qui semblait être le terrain naturel (marne dégradée), mais qui pourrait au final ne pas être en place (Us 30.058). La pente importante du terrain n'a pas permis de creuser plus profondément pour des raisons de sécurité.

III.3.5 – Le sondage G : à la recherche du couloir de Caretoni

Un dernier sondage (G) a été ouvert dans l'angle sud-ouest du secteur, à l'emplacement supposé d'une structure dégagée dans les années 1950 par G.-F. Caretoni. Il s'agit d'une sorte de couloir avec chaussée pavée et escalier, bordé par deux murs.

La localisation de cette construction, a été préimplantée sur le terrain par le topographe de la MAFHA à partir des données qui figurent sur le plan du site établi par Rocco Burgio et Gaetano Cucinotta.

Le directeur du site, Gianfranco Anastasio, nous a précisé par ailleurs que nous étions sur une zone qui avait été remblayée à l'aide des déblais de fouille de l'Agora. Sur la photo des années 50 présentant le mur à contreforts au moment de son dégagement, on aperçoit

également clairement que les déblais ont été jetés dans la pente, à l'endroit de l'implantation du sondage G.

Et effectivement, près de 2 m de remblais récents, non compactés ont été rencontrés dans la partie haute du sondage, ouvert sur la zone la plus pentue du secteur au pied des barrières séparant la zone du mur à contreforts de l'hémicycle du théâtre. Directement sous ces remblais est apparue une construction composée de gros blocs de roche naturelle, formant un angle droit (Us 30.062, figure 43). Le mur correspond avec l'alignement de la limite sud de la *cavea*, et marque probablement la limite occidentale de cette dernière, la pente du terrain étant ensuite uniquement vers l'est et non le nord et nord-est comme sur le reste de la zone.

Aucun niveau de circulation n'a été observé, mais la localisation de la structure semble correspondre à ce qu'il reste du mur oriental observé par G.-F. Caretoni. Il n'en resterait dans ce cas, bien peu de vestiges.

Figure 43 : Structure en gros blocs de roche apparue au fond du sondage G et correspondant peut-être à ce qu'il reste de la construction observée par Gian-Filippo Caretoni dans les années 1950 (Usc 30.062). © Théo Martin, MAFHA.



III.4 – Interprétation des résultats

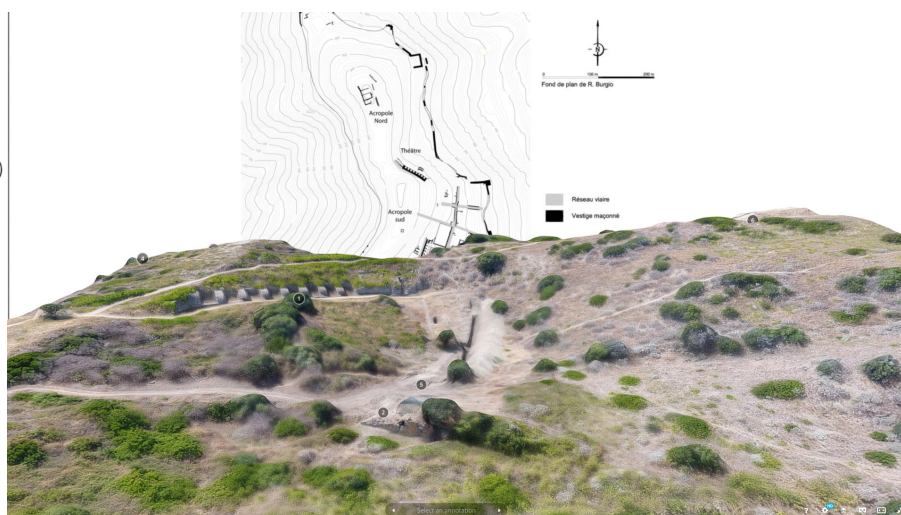


Figure 44 : Vue panoramique de l'hémicycle en fin d'opération. La forme du théâtre antique d'Halaesa apparaît de plus en plus de manière évidente. © Frédéric Gerber, MAFHA.

III.4.1 – Hypothèse sur l'emprise probable du théâtre

Bien que probants quant à la démonstration de la présence d'un théâtre, les indices récoltés restent trop peu nombreux pour qu'un plan de l'édifice se dégage de manière évidente (figures 44 et 45). Afin de proposer une emprise probable, il est cependant possible de s'appuyer sur quelques observations et présupposés. On remarque tout d'abord que l'axe dessiné par le dallage monumental (figure 46, axe A) se trouve être parfaitement parallèle à la façade du mur à contreforts à l'emplacement où celui-ci présente une niche étroite⁸ (axe A'). Que l'on imagine ou non une poursuite de ce mur vers le nord en symétrie de la partie dégagée, l'axe central de cette niche pourrait marquer l'axe médian de l'édifice de spectacle (axe B). En reportant dès lors les alignements formés par les blocs des murs haut et bas de la *parodos* et les autres éléments identifiés côté sud, on obtient par symétrie, un édifice d'environ 71 m en façade. Le prolongement des axes des murs haut des *parodoi* jusqu'à l'axe médian permet de définir un hypothétique point central de l'*orchestra*. Le rayon de celle-ci correspond à la distance entre ce point et l'endroit où apparaît un dénivelé important entre les gradins (*theatron/cavea*) et le sol plat aménagé dans la roche (*orchestra*).

Figure 45 : Photogrammétrie réalisée à partir de photos prise à l'aide d'un drone par Eugenio Donato de l'Université de Messine. 1 : le mur à contreforts. 2 : le rempart de la ville. 3 (non visible ici) : l'Agora. 4 : l'Acropole sud. 5 : le Théâtre. 6 : le temple d'Apollon. © Vincent Miaïlhe, MAFHA.



8. Ce n'est peut-être pas par hasard que la roche a été laissée apparente au fond de cette niche, en débordant à l'intérieur de celle-ci.

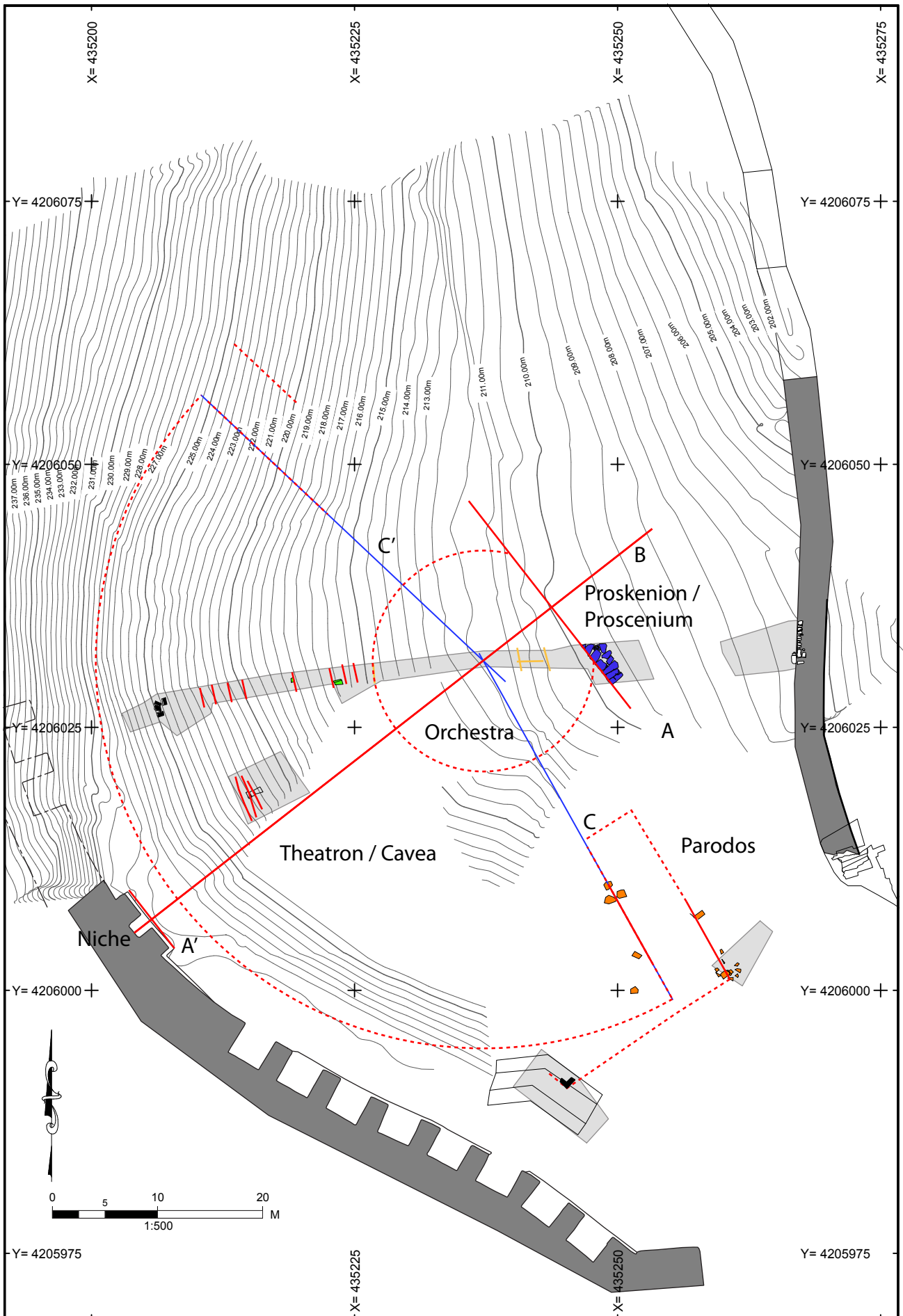


Figure 46 : Proposition de restitution de l'emprise du théâtre d'Halaesa à partir des éléments archéologiques disponibles à l'issue de la campagne 2018. © Frédéric Gerber, MAFHA.

Ce dénivelé paraît curieux. Il peut être le résultat du démontage de l'édifice, après son abandon. Il pourrait également être le résultat d'un réaménagement, un peu comme à Tyndaris, lorsque le théâtre de ce site a été transformé à l'époque romaine en théâtre-amphithéâtre : les gradins et les sièges ont alors été démontés pour créer une *orchestra* plus profonde. Le manque de données sur les limites de l'*orchestra* rend toutes les configurations imaginables. Toutefois, il convient de rester prudent, d'autant plus que le dénivelé reste ici peu important. Tout au plus un plan de comparaison sur les proportions des deux théâtres les plus proches géographiquement d'Halaesa peut être proposé (figure 47).

III.4.2 – Relation entre le théâtre et le mur à contreforts

Maintenant que la présence du théâtre est avérée, il convient de s'interroger sur sa relation avec le mur à contreforts (figure 48) et avec la structure (ruelle ou couloir ?) mentionnée par G.-F. Carettoni. Concernant cette dernière, on peut aisément imaginer qu'il s'agit d'un couloir/escalier desservant la partie haute du *theatron/cavea* en passant par l'extérieur.



Figure 48 : Vue d'ensemble de la moitié sud de l'hémicycle après son dégagement. © Frédéric Gerber, MAFHA.

Il est admis depuis les fouilles des années 1950 que le grand « mur à contreforts » est le support d'une « voie sacrée » qui relierait l'Agora à l'Acropole nord et au « temple d'Apollon »⁹. Si cette hypothèse reste crédible, il est évident que cet aménagement ne peut pas ne pas avoir de lien direct avec le théâtre, voir en faire partie, à l'image du grand mur du théâtre de Bergama (Pergamum) en Turquie, dont la partie

9. Dans leur publication de synthèse sur Halaesa, Giacomo Scibona et Grabiella Tigano laissent cependant entendre que le mur participe aux fortifications de la ville, avec un embranchement de la « muraille inférieure », qui viendrait se greffer à son extrémité méridionale (Scibona, Tigano 2009, p. 11 et légende de la fig. 14).

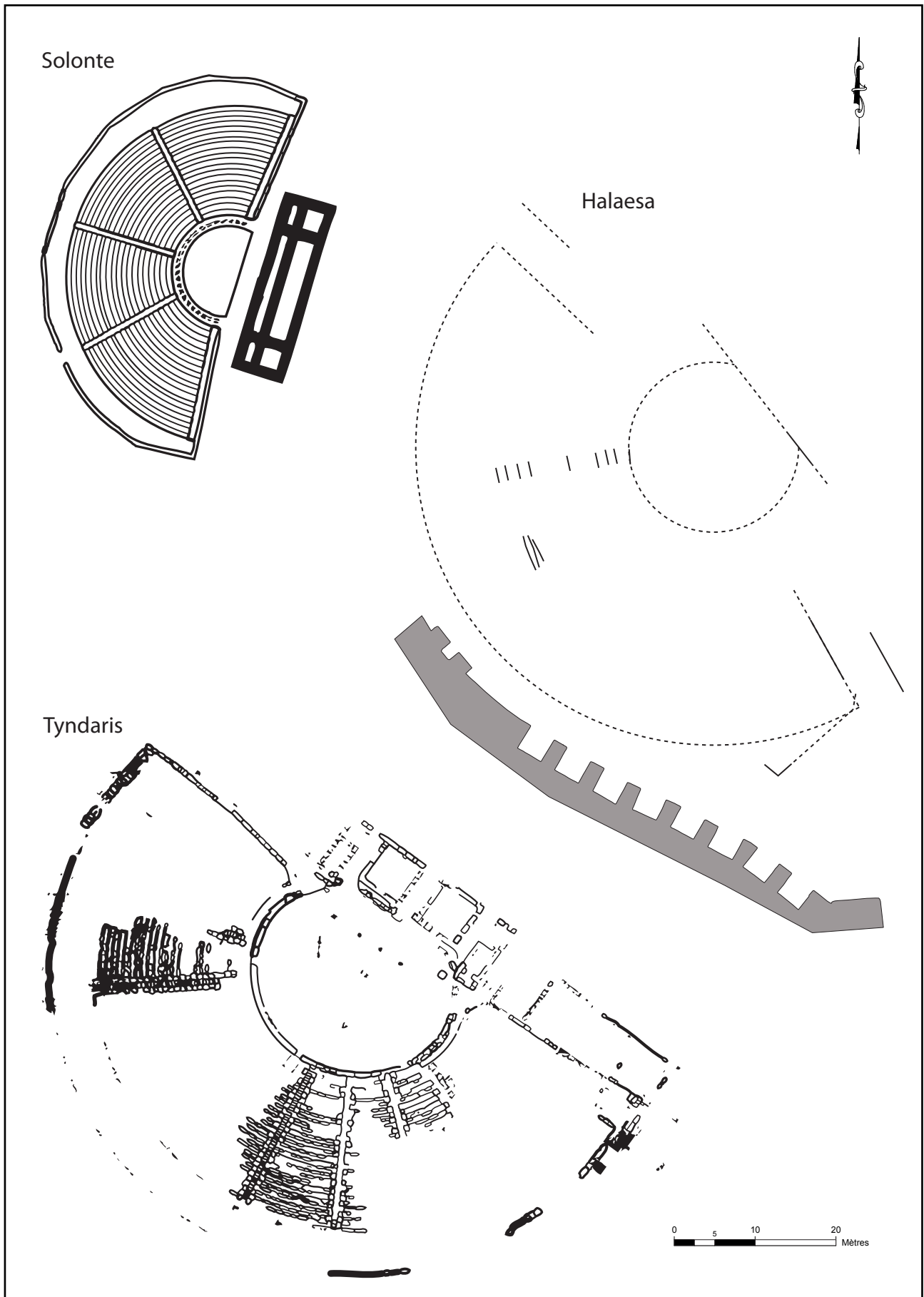


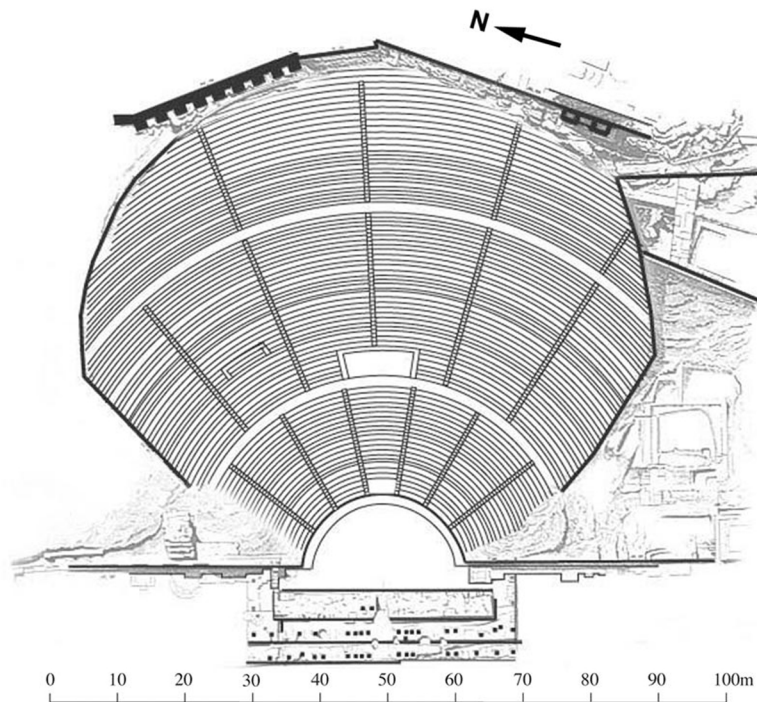
Figure 47 : Comparaison de l'emprise et de l'orientation des théâtres de Solonte, Tyndaris et Halaesa. © Frédéric Gerber, MAFHA.

haute est marquée par un grand mur à contreforts à pan coupé supportant les aménagements qui se trouvent au-dessus et mettant en valeur le théâtre lui-même (figures 49, 50 et 51).

Figure 49 : Le théâtre de Pergame et les aménagements en terrasse au-dessus. © Orhan Özgülbas.



Figure 50 : Plan du théâtre de Pergame avec le mur à contreforts qui le domine. © T.H. d'après le plan de D. De Bernardi Ferrero.



Pergamum (modern Bergama, Turkey).

Cavea width: 80 m, orchestra width: 21 m; capacity: 10,000; earliest date ca. 225-200 BC; enlarged 187-159 BC. Plan (T.H. after D. De Bernardi Ferrero)

Figure 51 : Restitution 3D du théâtre de Pergame, tirée de la vidéo : 3D Animation der Akropolis von Pergamon, rekonstruiert auf Basis der Schriftenreihe «Altertümer von Pergamon» Ausgabe I-VIII. Details vom Großen Altar (Pergamonaltar). Animiert mit Blender 2.5 Open Source Software. (<https://youtu.be/XTMoW185tLk>).

© pergamon.secondpage.de



III.4.3 – Des éléments du décor de l'édifice de spectacle ?

Une étrange similitude existe entre des blocs sculptés découverts sur le secteur de l'Agora (sans localisation précise¹⁰) et lors du dégagement dans les années 1950 du mur à contreforts (figures 52 et 53), avec ceux composant le décor du mur de scène du théâtre de Solonte (figures 54 et 55).

Figure 52 : Bloc de corniche encastrée, décoré de denticules miniatures, conservé dans le couloir longeant l'antiquarium d'Halaesa. Ce bloc proviendrait du secteur de l'Agora. © Frédéric Gerber, MAFHA, 2017.



Figure 53 : Blocs d'entablements et de corniches, décorés de denticules miniatures, conservés sur le site du mur à contreforts d'Halaesa. © Frédéric Gerber, MAFHA, 2017.



Un nouveau fragment d'entablement de ce type a été découvert à l'occasion de la campagne 2018. Il a été trouvé posé au sol, en bordure du bosquet d'oliviers sauvages en défrichant la zone pour pouvoir ouvrir l'extrémité orientale du sondage E (figure 56).

C'est un élément important, participant peut-être au décor de l'édifice de spectacle. Une attention toute particulière devra donc être portée aux éléments lapidaires durant le dégagement du monument à venir.

10. Proviennent-ils d'ailleurs réellement du secteur de l'Agora ?

Figure 54 : Bloc d'entablement décoré de denticules miniatures, conservé sur le site du théâtre de Solonte. © Frédéric Gerber, MAFHA, 2017.



Figure 55 : Restitution scénographique des éléments de décors du mur de scène du théâtre de Solonte, et proposition de restitution de la façade du mur de scène, visibles dans le musée de site © Frédéric Gerber, MAFHA.

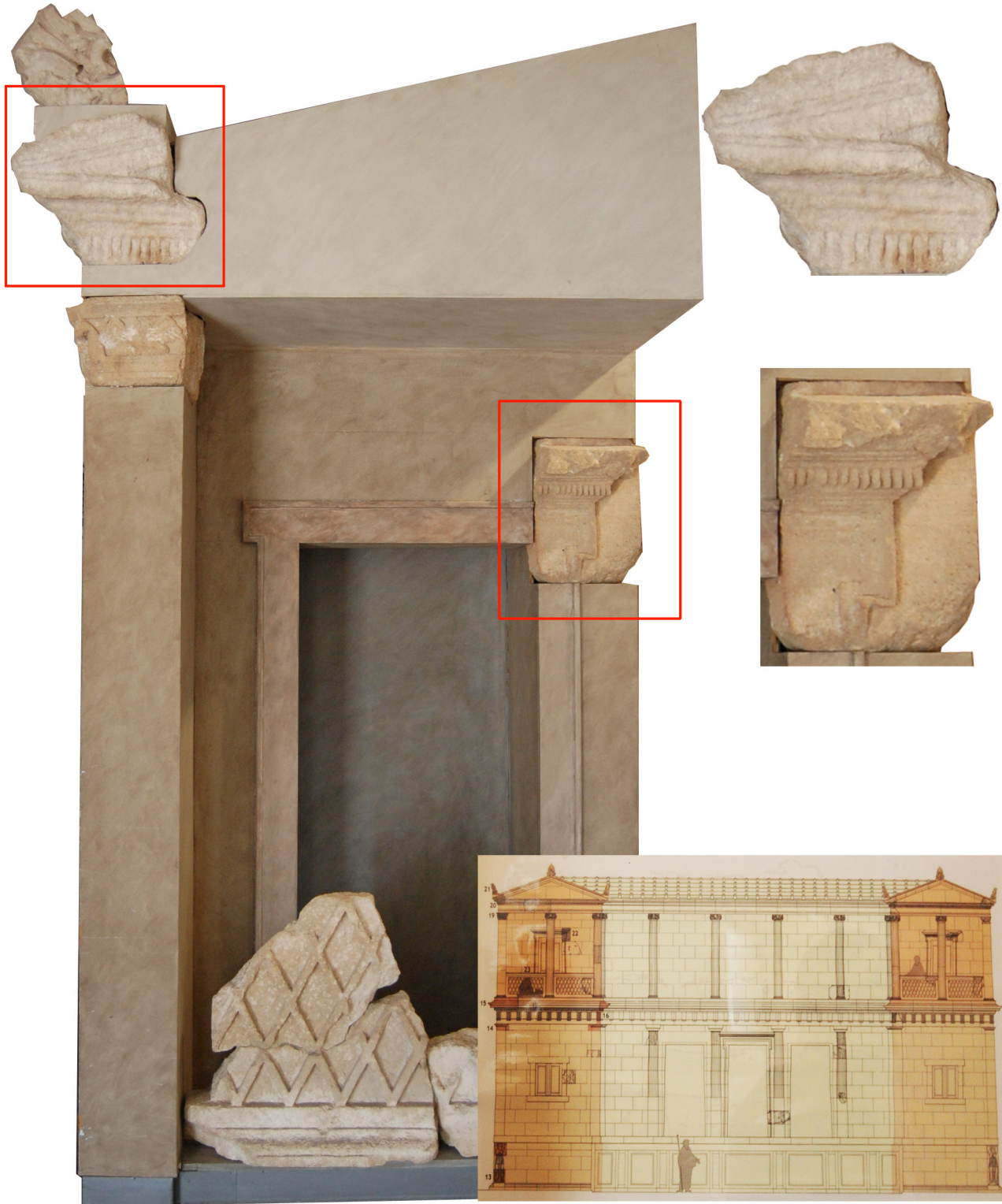


Figure 56 : Élément de corniche avec décors de denticules miniatures, retrouvé dans un taillis d'olivier au bas de l'hémicycle © Frédéric Gerber, MAFHA.



III.4.4 – Réflexions autour de la datation possible du théâtre

Même si cela peut paraître un peu tôt pour y répondre de manière probante, le théâtre n'étant pas encore dégagé, la question de la datation du théâtre d'Halaesa se pose. Peut-on faire remonter sa construction à la fondation de la cité par Arconidès à la fin du Ve siècle av. notre ère ; faut-il y voir une construction plus récente, hellénistique, voire romaine ?

En l'absence de plan et de toute information sur la configuration de la scène, le seul élément probant est la similitude des sièges d'Halaesa avec ceux des autres théâtres de la côte nord de la Sicile, comme cela a été vu précédemment.

Le théâtre de Segeste est généralement daté du IIIe s. av. n.e. pour la première phase. Toutefois, une publication de 2013 indique qu'il daterait en fait de la seconde moitié du IIe s. av. n.e.¹¹. Celui d'Iaitas daterait du IVe s. av. n.e. (plus précisément d'après H.P. Isler aux environs de 300), mais cette date a été remise en cause pour des critères stylistique¹².

Le théâtre de Solonte serait pour les fouilleurs du milieu IVe s. av.

11. Prag, Crawley Quinn 2013, p. 101.

12. Moretti 1993, p. 79.

n.e., mais comme l'explique Jean-Charles Moretti¹³, les auteurs qui se sont penchés sur la question ne sont pas tous d'accord quand à cette datation : pour H.P. Isler il daterait de la seconde moitié du IV^e s. av. n.e., pour Polacco il ne pourrait pas être antérieur au III^e s. av. n.e., et pour von Sydow, il remonterait aux années 130-120 av. n.e. Enfin, le théâtre de Tyndaris pourrait dater de la fin du IV^e ou du début du III^e s. av. n.e. Mais pour beaucoup il serait là encore du courant du III^e s. av. n.e.¹⁴

La fourchette chronologique fournie par cette comparaison reste donc très large, entre le IV^e et le II^e s. av. n.e.

Aucun mobilier datant, céramique ou autre, n'ayant été trouvé dans l'immédiat dans les niveaux de construction du théâtre d'Halaesa, il faut peut-être se tourner vers la datation proposée par Carettoni pour le mur à contreforts, à savoir le II^e s. av. n.e. ? Mais encore faudrait-il savoir s'il s'agit de la datation de la phase de construction ou bien de celle d'une éventuelle restauration ?

La même incertitude règne quant à la datation de l'abandon de l'édifice de spectacle. L'étude céramologique indique un remblaiement qui n'intervient pas avant le II^e s. de notre ère, mais qui pourrait même être très certainement, beaucoup plus récent.

III.4.5 – Conclusion

L'emploi de moyens mécaniques a permis de montrer que la roche naturelle est taillée en gradins dans la zone correspondant à l'hémicycle sur toute sa hauteur et qu'elle a été décaissée et aplanie dans la zone basse, l'ensemble offrant un profil conforme à celui supposé en 2017.

Par ailleurs deux éléments majeurs ont permis de confirmer définitivement l'existence du théâtre d'Halaesa : le premier est un siège taillé dans de la calcarenite, identique à ceux visibles par exemple sur le théâtre de Tyndaris ou encore celui de Solonte. Le second est un fragment de ce même type de bloc encore en place sur la roche mère, à l'emplacement d'un des gradins.

La pelle mécanique a également été utilisée pour élargir le sondage qui avait permis d'identifier 4 gradins en 2017. Ce ne sont pas moins de 7 gradins qui ont ainsi pu être observés (même si dans l'immédiat 3 seulement ont été totalement dégagés).

Le théâtre d'Halaesa est le 16^e théâtre identifié en Sicile (14^e par l'archéologie, les théâtres d'Agyrion et d'Enna n'étant connus que par leur mention dans des textes)¹⁵.

13. Moretti 1993, p. 82.

14. Moretti 1993, p. 88.

15. Cuvelier 2018.

IV.

ÉTUDE DU MOBILIER CÉRAMIQUE ET DE L'INSTRUMENTUM

**Alessandra Canale,
Fabrizio Ducati,
Charlotte Latour
e Sandrine Mouny**

Au cours de la campagne de juillet 2018, la partie restante des matériaux relatifs à la campagne précédente (2017) et une partie de ceux trouvés dans l'année en cours ont été inventoriés.

Les découvertes, issues des trois différents secteurs de fouilles actuellement ouverts (Acropole sud - US 10000+, zone au sud de l'Agora - US 20000+ et Théâtre - 30000+), ont été insérées dans des fiches de type TMA, dotées d'un numéro d'inventaire séquentiel ; triées par classes - commun (CCL), culinaire (CC), de table (CF), de transport (AM) - ; distinguées par forme, si identifiable ; décrites au niveau du décor, le cas échéant ; et placées chronologiquement, lorsque cela est possible.

Des fragments de murs en briques dont le nombre et le poids ont été indiqués avant la mise au rebut, ont également été inclus dans l'inventaire.

Classes et types de céramique

La majorité des découvertes concernent des **céramiques communes**¹ (54,13 % du corpus), principalement des formes lisses et seulement exceptionnellement affectées par des décorations à empreintes ou peintes avec des bandes rouges ou brunes (8 %). Les formes sont répétitives. En ce qui concerne la vaisselle de table, parmi les plus récurrentes, on trouve les bols à bord ou à bord oblong (US 10001, INV. CF70) et les pichets à col large (US 20017, INV. CF96, US 20033, INV. CF160). ; les mortiers et les grands bassins, ainsi que certains vases à onguents (unguentario) et coupe avec couvercle (pisside), sont moins courants.

Il n'est pas possible pour le moment de définir une chronologie précise pour cette classe de céramique, car il s'agit de productions locales, non standardisées et souvent sur une très longue durée. Cependant, la datation peut être suggérée par le contexte de la découverte et éventuellement confirmée ou par comparaison avec d'autres contextes similaires déjà datés, ou par un examen plus minutieux des mélanges de céramiques qui, pour des raisons évidentes, dépasse la phase d'analyse préliminaire.

En ce qui concerne les **céramiques à vernis noir (41,72 %)**, les données les plus anciennes sont fournies par des fragments d'un pichet à décors peints, aux parois striées dits **pareti strigilate**, datant des IV^e-III^e s. av. J.-C.², trouvée dans les couches de l'Acropole. Toujours présents, même en petites quantités, se trouvent la Campanienne A (fin du III^e au I^{er} s. av. J.-C.)³ et les productions en pâte grise⁴, dans lesquelles la présence de Campanienne C n'est pas exclue⁵.

1. Pour cette typologie : *Dictionnaire des céramiques antiques (VII^e s. av. n. è. - VII^e s. de. n. è.) en Méditerranée Nord-Occidentale (Provence, Languedoc, Ampurdan)*, Lattes 1993.

2. Pour une comparaison, voir C. GUZZONE, *La stipe o deposito votivo di Fontana Calda*, p. 131 – fig. 21, in R. PANVINI (a cura di), *Butera dalla preistoria all'età medievale*, Caltanissetta 2013, pp.123-131.

3. J. P. MOREL, *La céramique campanienne: les formes*, Roma 1981 ; LATTARA 6 - 1993 *Dictionnaire des céramiques antiques (VII^e s. av. n. è. - VII^e s. de. n. è.) en Méditerranée Nord-Occidentale (Provence, Languedoc, Ampurdan)*, Lattes 1993.

4. *Ibid*; D. MALFITANA, *Metodologie, problemi e prospettive di ricerca negli studi di ceramologia ellenistica e romana in Sicilia. Un planning per future ricerche tra archeologia e archeometria*, in D. MALFITANA, J. POBLOME, J. LUND (a cura di), *Old Pottery in a New Century. Innovating perspectives on Roman Pottery Studies* (Atti del Convegno Internazionale di Studi, Catania, 22-24 Aprile 2004), Catania 2006, pp. 399-421.

5. Vedi note 3 e 4.

Les formes les plus courantes sont les tasses, les pichets avec des poignées en forme de bâtonnet, le skyphoi (US 30016, INV CCL79) et la paterette, toutes des formes que l'on trouve habituellement dans les contextes siciliens de l'époque hellénistique / républicaine⁶. Sont présents, ici et là, des types miniatures de pichets et de bols, généralement liés à la sphère du sacré ou la sphère funéraire, mais pouvant également se rapporter à la vie quotidienne.

Les autres types de céramiques, qui ne sont actuellement attestés que dans les couches de l'Acropole, sont les céramiques à parois fines⁷ (US 10001, INV, CF376), qui impliquent généralement et principalement la production de tasses et de verres ; la céramique vernie rouge de production sicilienne⁸ (de type c.d.).

Parmi les articles en céramique pour la vaisselle, il y a aussi les **sigillées de production italique**⁹ (**10,67 %**) qui ne vont pas au-delà du premier siècle d. C. et que nous trouvons dans des formes ouvertes, comme des assiettes estampées sur le fond et des bols avec des décorations sur la surface externe. Dans la plupart des cas, cependant, il s'agit de minuscules fragments dont seule la classe peut être reconnue avec certitude.

La présence, beaucoup moins marquée, de la **sigillée africaine**¹⁰ (1,64%) - principalement de type A (US 20001, INV. CF66), plus rarement C et D (US 20013, INV.FC139)¹¹ - trahit une forme de participation aux réseaux d'échanges commerciaux impliquant la Méditerranée dans les périodes impériale et l'Antiquité tardive.

La **céramique de cuisine** (**17,10%** du corpus) ainsi que la céramique commune sont prédominantes quantitativement. Elle se compose principalement de marmites à bord ourlet et de couvercles de production italique ou sicilienne, placés chronologiquement entre les II^e et I^{er} s. av. J.-C.¹². Il y a aussi en petites quantités de la céramique de cuisson africaine¹³ (US 20013, INV. CC134). Les types attestés sont la marmite *Hayes 23B* (US 20001, INV CC65), la marmite *Hayes 197* (US 20011) et son couvercle *Hayes 196* (II-III AD), couramment produits dans la région de Carthage et le plus contemporain de la Sigillée A. Rares autres types africains (un seul bord de *Hayes 181*).

En ce qui concerne les **amphores**, l'attestation gréco-italique (IV^e-II^e s. avant J.-C.) est rare, tandis que les types les plus courants sont les Dressel 1 (fin du II^e s. av. J.-C. - milieu du 1^{er} s. av. J.-C.). (US 20001,

6. On trouvera des références et des comparaisons sur le sujet dans les volumes consacrés à Termini Imerese, Tyndaris, Morgantina, Monte Iato.

7. M. DENARO, *La ceramica romana a pareti sottili in Sicilia*, Mantova 2008.

8. Quelques exemples peuvent être trouvés parmi les matériaux de Termini Imerese. A voir en particulier S. C. STONE, *Presigillata from Morgantina*, in *AJA* 91, 1, 1987, pp. 85-103.

9. E. ETTLINGER *et alii*, *Conspectus Formarum Terrae Sigillatae Italico Mondo Confectae*, Bonn 1990; J. W. HAYES, M. A. MEZQUIRIZ, L. MAZZEO SARACINO, A. RICCI, G. PUCCI, *Atlante delle forme ceramiche, II. Ceramica fine romana nel bacino mediterraneo (tardo ellenismo e primo impero)*, Enciclopedia dell'Arte Antica, Roma 1985; V. BARBERIS, *Terra sigillata italica e imitazioni*, in R. LEONE – U. SPIGO (a cura di), *Tyndaris 1: ricerche nel settore occidentale: campagne di scavo 1933-2004*, Palermo 2008, pp. 169-190; R. B. CAFLISCH, *Studia Ietina IV. Die Firniskeramik vom Monte Iato Funde 1971-1982*, Zurigo-Schwäbisch Hall 1991.

10. D. MALFITANA, M. BONIFAY (a cura di), *La ceramica africana nella Sicilia Romana / La céramique africaine dans la Sicile romaine*, vol. I-II, Catania 2016.

11. HAYES 81 (metà IV^e / V^e sec.)

12. O. BELVEDERE, A. BURGIO, R. MACALUSO, M. S. RIZZO, *Termini Imerese: ricerche di topografia e di archeologia urbana*, Palermo 1993.

13. Voir la note de bas de page n° 10

INV. AM79) et le Dressel 2/4 (I^{er} s. ap. J.-C. - milieu du II^e s. ap. J.-C.)¹⁴ (US 30010, INV. AM42). Nous retrouvons également les amphorettes siciliennes¹⁵, déjà connues dans le contexte d'Halaesa et présentes au musée (*antiquarium*). Pour ces dernières, nous ne pouvons pas définir une chronologie précise, mais nous pouvons certainement les situer à l'ère impériale. Enfin, il y a aussi deux amphores tripolitaines (Tripolitana I ?), provenant du secteur de l'Acropole, datant de la fin du I^{er} et du II^e s. ap. J.-C.¹⁶

Parmi les divers *instruments domestiques*, on trouve plusieurs **pesons** telles que le poids de métiers à tisser, lisses et de formes trapézoïdales, parfois gravées au sommet¹⁷; ; ou ceux de forme circulaire, presque toujours décorés de profondes rainures également circulaires sur l'une des deux surfaces¹⁸.

Les nombreux fragments de **lampes à huile** sont pour la plupart des imitations siciliennes de la Corinthe XVI à bec à enclume (US 30006, INV CC39), datables du II^e au I^{er} s. av. J.-C.¹⁹. Parmi ceux-ci, un pied haut a été retrouvé presque intact dans les couches de l'acropole. La pièce présente des traces de peinture brunâtre sur la surface externe du réservoir. Le reste n'est pas visible pour le moment en raison des incrustations qui couvrent toute la surface de l'exposition. De plus, sur la face inférieure du pied, une incision est pratiquée avant la cuisson (peut-être une lettre H). On trouve également en plus petite quantité le type Deneauve VII (I^{er} - II^e s. ap. J.-C.)²⁰.

Une découverte particulière, qui a eu lieu dans les couches profondes du côté ouest de la partie sud de "l'édifice central", consiste en un objet en os cylindrique, d'environ 5 cm de long, avec deux trous alignés le long du corps et deux sillons horizontaux proches d'une des deux extrémités.

Ce type d'objet, souvent confondu avec un fragment de flûte, est en réalité, compte tenu de la taille et du type de traitement, une **charnière** qui a été utilisée pour fermer une boîte ou un meuble. Compte tenu de la matière et de la finition soignée, ce type d'objet, plutôt qu'une véritable valeur fonctionnelle, a une valeur décorative²¹.

Enfin, parmi les matériaux représentés par très peu de découvertes, on trouve des objets en **métal**, des fragments de **verre** (verres à boire ?) et des fragments de **figurines en terre cuite**

14. *Dictionnaire des céramiques antiques (VII^e s. av. n. è. - VII^e s. de. n. è.) en Méditerranée Nord-Occidentale (Provence, Languedoc, Ampurdan)*, Lattes 1993 ; T. Bertoldi, *Guida alle anfore romane di età imperiale. Forme, impasti e distribuzione*, Roma 2012.

15. C. FRANCO, C. CAPELLI, *Sicilian flat-bottomed amphorae (1st-5th century AD). New data on typo-chronology and distribution and from an integrated petrographic and archaeological study*, in D. MALFITANA, G. CACCIAGUERRA (a cura di), *Archeologia classica in Sicilia e nel Mediterraneo. Didattica e ricerca nell'esperienza mista CNR e Università. Il contributo delle giovani generazioni. Un triennio di ricerche e di tesi universitarie*, Catania 2014, pp. 341-362.

16. Voir la note de bas de page n° 10

17. M. VALENTINO, *La Montagnola di Marineo: pesi da telaio e oscilla*, in C. GRECO, F. SPATAFORA, S. VASSALLO (a cura di), *Archeologia e Territorio*, Palermo 1997, pp. 197-207.

18. G. TIGANO (a cura di), *Terme Viglitore – S. Biagio. Nuove ricerche nella villa Romana (2003 – 2005)*, Regione siciliana, Assessorato dei beni culturali, ambientali e della pubblica istruzione, 2008, TAV. 71, figg. 3-4.

19. A. BURGIO, *Il paesaggio agrario nella Sicilia ellenistico-romana. Alesa e il suo territorio*, Roma 2008; O. BELVEDERE, A. BURGIO, R. MACALUSO, M. S. RIZZO, *Termini Imerese: ricerche di topografia e di archeologia urbana*, Palermo 1993.

20. J. DENEAUVE, *Lampes de Carthage*, Paris : Éditions du Centre National de la Recherche Scientifique, 1969.

21. René Pelletier, *Essai sur l'assemblage des éléments de charnière en os gallo-romaine*, dans « Revue archéologique du Centre de la France », 1971, pp. 202-207

Note de conclusion

En observant le répertoire céramique dans son ensemble, nous pouvons constater une homogénéité typologique entre les trois secteurs de fouilles, bien que le secteur de l'Acropole soit pour le moment plus riche en quantité et chronologiquement plus large.

Sur la base de cette première analyse, il est possible de tracer des grandes lignes chronologiques générales affectant l'occupation du site au fil du temps, indépendamment des relations stratigraphiques qui permettront ultérieurement d'en clarifier les étapes en détail.

En ce qui concerne le secteur de l'**Acropole sud**, la phase la plus ancienne peut être placée entre le IV^e et le III^e siècle av. Et est défini par certaines découvertes, telles que le pichet peint en noir avec parois striées et la **charnière en os**.

La plupart des découvertes de céramique peuvent être attribuées à une phase que nous pouvons situer entre le II^e s. av. J.-C. et le I^{er} s. ap. J.-C., probablement le moment le plus florissant du site. Parmi les trouvailles datant de cette phase figurent les lampes à huile siciliennes d'imitation de Corinthe XIV, la céramique hellénistique / républicaine à verni noir, la Sigillée italique, et les amphores de type Dressel 1 et Dressel 2/4.

Les éléments permettant de définir une phase chronologique ultérieure, peut-être de décadence du site, qui va du III^e au V^e s. ap. J.-C., sont également présents, même si en quantité nettement moindre. En particulier, les fragments de Sigillée africaine D le suggèrent, avec des productions typiques du V^e s. ap. J.-C..

La situation dans le **secteur au sud de l'Agora** n'est pas différente, où la période chronologique de l'occupation se développe depuis le II^e s. av. J.-C., avec la céramique hellénistique à verni noir et perdure de façon continue jusqu'au tournant du I^{er} s. av. J.-C. et le I^{er} s. ap. J.-C., comme l'attestent les lampes et la sigillée italiques. L'utilisation de ce secteur du site va évidemment plus loin, comme le suggère la céramique de cuisine africaine (formes *Hayes 23* ou *197*) et a probablement une phase finale vers le V^e s. ap. J.-C., compte-tenu de la présence dans les couches de Sigillées africaines D (formes *Hayes 50 B. 61*, première moitié du V^e s. ap. J.-C. ; forme *Hayes 61 B3* (?), fin V^e s. ap. J.-C.).

Le **secteur du théâtre**, qui restitue actuellement de la céramique en plus petites quantités, couvre une période chronologique qui va du III^e s. av. J.-C. (avec la céramique hellénistique / républicaine avec une peinture noire) et pourrait être utilisé, probablement avec une autre fonction, jusqu'à II^e s. ap. J.-C. comme indiqué par les fragments de Dressel 2/4.

Même ici, cependant, le plus grand lot semble se situer encore entre le I^{er} s. av. J.-C. et le I^{er} s. ap. J.-C., une phase dans laquelle on retrouve plus souvent la Sigillée italique, les lampes à bec à enclume et les lampes contemporaines à fleur de lotus.

Répartition par secteurs

La campagne de fouilles 2017 a livré 9599 fragments de céramique.

Secteur Acropole

Le mobilier céramique de la campagne de fouilles 2017 a été collecté dans 19 US du secteur de l'Acropole. Le corpus comprend 5741 tessons pour un poids de 75,425 kg. 689 vases ont été identifiés.

Secteur Agora

Le mobilier céramique de la campagne de fouilles 2017 a été collecté dans 13 US du secteur de l'Agora. Le corpus comprend 2447 tessons pour un poids de 35,148 kg. 232 vases ont été identifiés.

Secteur Théâtre

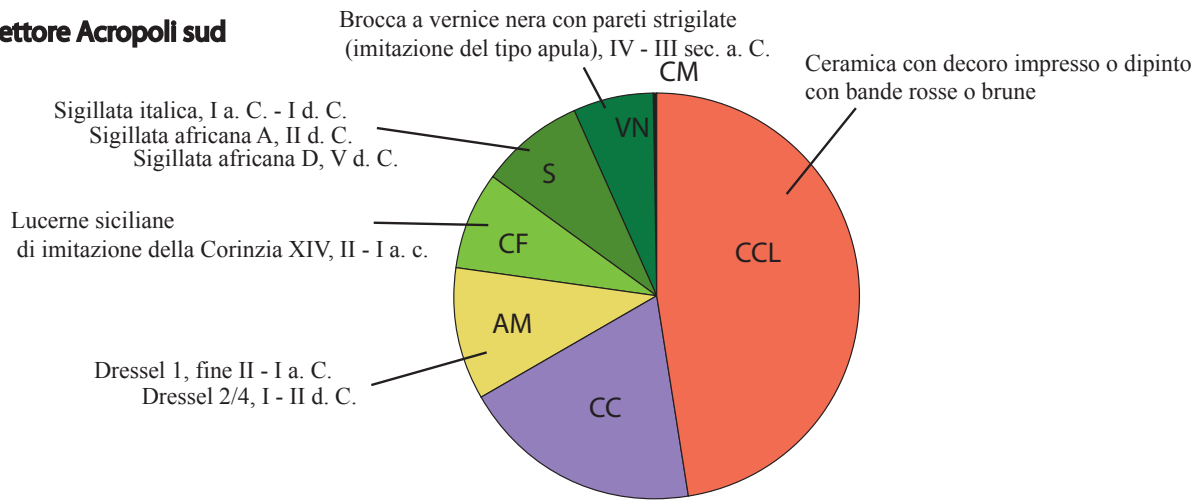
Le mobilier céramique de la campagne de fouilles 2017 a été collecté dans 21 US du secteur du Théâtre. Le corpus comprend 1411 tessons. 219 vases ont été identifiés.



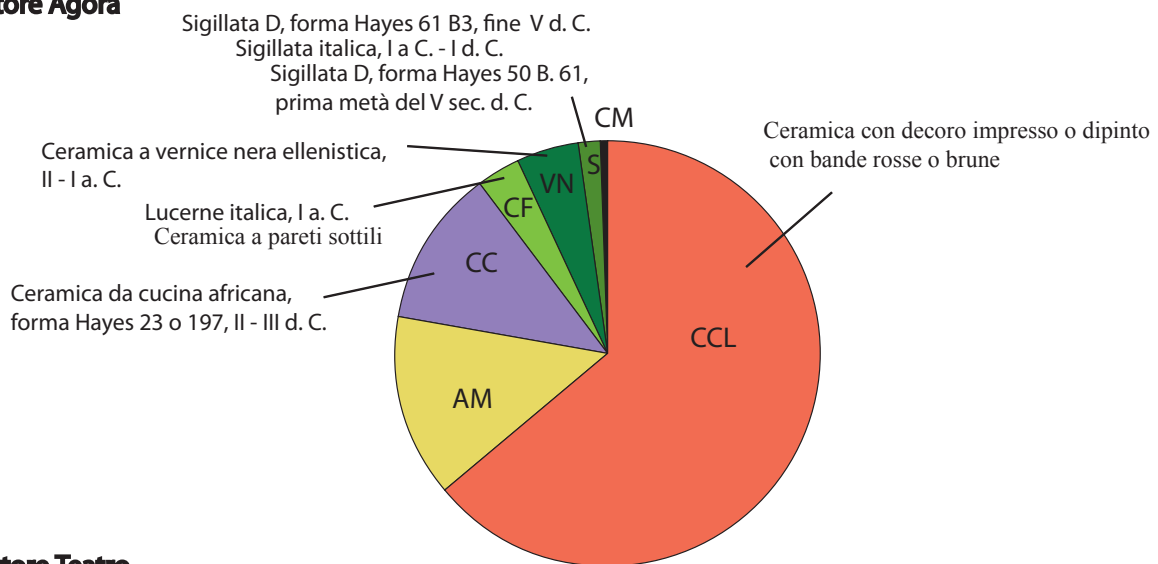
Mission Archéologique Française à Halaesa (Sicile, Italie)
 Direttori : M. Costanzi (Université d'Amiens) et V. Michel (Université de Poitiers)
 Tavola 1 : Ceramica presenti durante i lavori di scavo del 2017
 S. Mouny (Université d'Amiens)



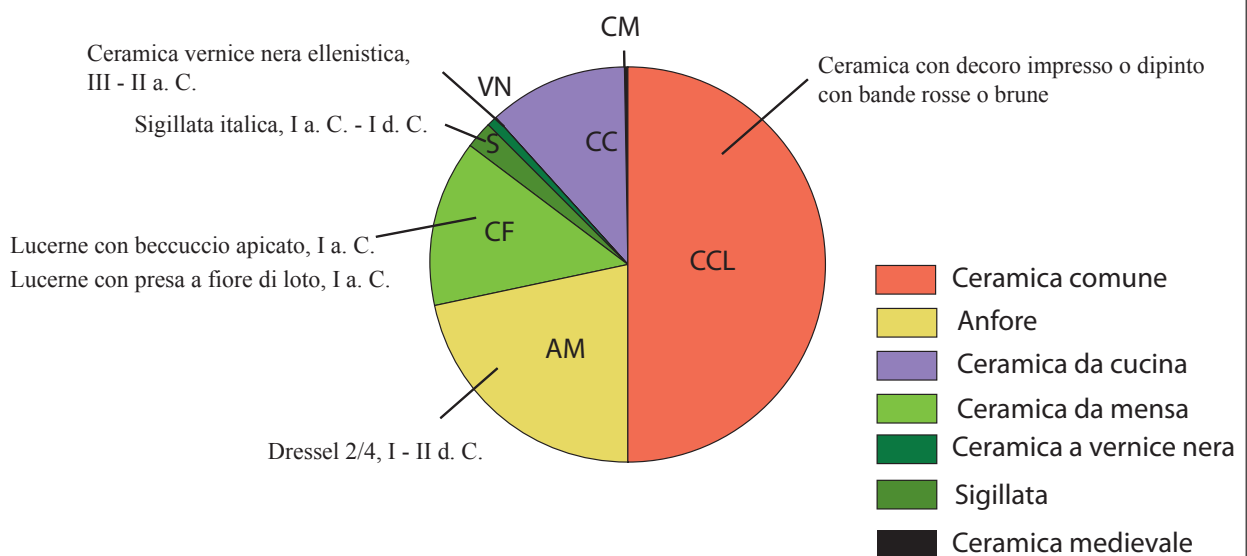
Settore Acropoli sud





Settore Agora






Settore Teatro





- Ceramica comune
- Anfore
- Ceramica da cucina
- Ceramica da mensa
- Ceramica a vernice nera
- Sigillata
- Ceramica medievale

	Mission Archéologique Française à Halaesa (Sicile, Italie) Directori : M. Costanzi (Université d'Amiens) et V. Michel (Université de Poitiers)	
	Inv. 1 : Ceramiche presenti durante i lavori di scavo del 2017 Inventario : S. Mouny (Université d'Amiens)	

Settore	US	NR	Peso	reperti datanti
Acropoli	10000	540	9435	
Acropoli	10001	987	16760	Lucerne siciliane di imitazione della Corinzia XIV (II/ler sec.), ceramica a pareti sottili
Acropoli	10002	41	465	
Acropoli	10003	280	5125	
Acropoli	10004	532	3740	Ceramica campana B (III-II s. a.C. ?)
Acropoli	10005	6	80	
Acropoli	10006	1227	9275	
Acropoli	10008	132	1420	
Acropoli	10010	65	2050	
Acropoli	10015	186	2850	
Acropoli	10022	598	7390	
Acropoli	10024	374	4345	
Acropoli	10025	13	180	
Acropoli	10027	65	470	
Acropoli	10032	9	75	
Acropoli	10036	72	1305	
Acropoli	10038	513	8890	
Acropoli	10045	9	270	
Acropoli	10048	92	1300	
Agora	20000	562	5205	
Agora	20001	915	8900	Ceramica da cucina africana Hayes 23, sigillata africana del tipo A, dressel 1
Agora	20011	191	2955	Sigillata del tipo D, Ceramica da cucina africana Hayes 23 o 197, Lucerne italica I s.)
Agora	20013	273	2230	Ceramica a vernice nera (produzione campana), Ceramica da cucina africana, Ceramica fine del tipo Hayes 8A (80-120 a. C.), Sigillita africana forma D Hayes 81 (metà IV/metà V s.), Sigillita africana Hayes 50B.61 (prima metà del V s. a. C.) e Hayes 61B3 (449/490 a. C.)
Agora	20017	57	7420	
Agora	20019	11	50	
Agora	20020	131	4025	
Agora	20021	58	478	
Agora	20031	74	1290	
Agora	20033	40	270	
Agora	20034	72	1135	
Agora	20035	36	530	Lucerne (I s. a.C.)
Agora	20036	27	660	Sigillita africana del tipo C
Teatro	30000	41	1000	
Teatro	30001	77	2315	
Teatro	30003	1	?	
Teatro	30003/30004	40	?	
Teatro	30004	56	?	
Teatro	30005	36	?	Ceramica italica (I a. C. - I d. C.)
Teatro	30006	572	9760	Lucerne con beccuccio apicato (I s. a.C.) e lucerne con presa a fiore di loto (I s. a.C.)
Teatro	30009	81	?	
Teatro	30010	28	?	Dressel 2/4 à anse bifide (I/II s. a.C.)
Teatro	30011	20	?	
Teatro	30012	18	?	Ceramica italica (I a C. - I d. C.)
Teatro	30013	1	?	
Teatro	30016	40	?	
Teatro	30017	8	?	
Teatro	30018	123	?	
Teatro	30020	5	?	
Teatro	30022	92	?	
Teatro	30025	60	?	
Teatro	30028	49	?	
Teatro	30030	22	?	
Teatro	30031	42	?	Lucerne repubblicana (I s. a.C.)




	Mission Archéologique Française à Halaesa (Sicile, Italie)		 
	Direttori : M. Costanzi (Université d'Amiens) et V. Michel (Université de Poitiers)		
Inv. 2 : Ceramiche presenti durante i lavori di scavo del 2016			
Inventario : S. Mouny (Université d'Amiens)			

Année	Caisse	Secteur	Matériaux	US	Commentaire
2016	24	Locus B4	INS + CERA		1 tête de figurine en TC d'époque hellénistique ? : type féminin avec chignon en forme de tête de canard de profil (fig. 1). 31 éléments de TCA, 1 fragment d'obsidienne, 1 fragment de béton de tuileau, et un bloc de mortier avec 4 éléments de céramiques pris à l'intérieur, 9 fragments de verre bleu clair (fond et anse), 1 tesselle blanche et 1 tesselle prise dans du mortier. <u>Céramiques</u> : 1 panse d'amphore de Lipari, 1 panse amphore d'origine campanienne, 1 Vernis Noir (VN) probablement attique, 1 VN hellénistique, 1 Vernis Rouge (VR) non grésé d'époque hellénistique, 1 bord de sigillée romaine, plusieurs céramiques communes à pâte claire (CCL) avec bandes peintes sur le haut de la lèvre et céramiques culinaires (CC).
2016	25	Locus C1	TCA + CERA		TCA, tesselles de mosaïques. Céramiques : 1 bord de cramique culinaire africaine (avec sommet de la lèvre noirci), 1 bord d'amphore de type Dressel 1A à pâte campanienne (Ier siècle av. J.-C.), 1 anse d'amphore Dressel 2/4 capanienne, 1 anse bifide Dressel 2/4 italique ou orientale, fragment de sigillée, VN d'époque hellénistique (?), 1 bord d'amphore africaine de type spatheion - Keay 26 (fin IVe – VIe siècle).
2016	26	Locus B4	LAP + CERA		Fragment de sol en béton de tuileau avec incrustations de tesselles. Quelques fragments de TCA et d'enduits peints. 1 fragment de roche volcanique (basalte ?) appartenant peut-être à une meule. <u>Céramiques</u> : 1 fragment de sigillée romaine, plusieurs fragments de VN et 1 bord de mortier à lèvre pendante en céramique commune claire.
2016	27	Locus B4	TCA + CERA		TCA. Tessons de céramiques pris dans le mortier. Beaucoup de céramiques. <u>Céramiques</u> : fond de plat en ESA. 1 plat à cuire en céramique culinaire à pâte campanienne. Jatte en commune claire, panse de mortier à râpe interne (groupe D), sigillée d'époque romaine, 1 bord de cruche.
2016	28	Locus B4	TCA		Nombreuses TCA (briques et tuiles). 1 fragment de béton de tuileau (10 cm de côté) et de nombreux autres plus petits (3 à 4 cm de côté).
2016	29	Locus D2	TCA + CERA		Fragment de sol de béton de tuileau avec incrustations de tessons de céramiques. Tesselle de mosaïque de couleur blanche. TCA : 1 élément fragmentaire de forme circulaire ou semi-circulaire (8 cm d'épaisseur) : élément préfabriqué de colonne (?). <u>Céramiques</u> sigillée romaine, 1 bord de mortier de grande taille (env. 50 cm de diamètre), épaisseur lèvre 7,5 cm, grains de sable ajoutés pour constituer la râpe sur la paroi interne. Céramique fine à vernis noir pâte orangé (campanienne ?).
2016	30	Locus B9	TCA + CERA		Fragments de TCA de 10 cm de côté. Céramiques : fragments à vernis noir campanien, 1 fond d'amphore italique à pâte campanienne, 1 bord en bourrelet de forme fermée à pâte calcaire dure, 1 bord de coupe ou de jatte à engobe interne brun noir céramique commune, 1 bord haut mouluré (2 sillons horizontaux sur le profil extérieur), pâte fine orange.
2016	31	Locus D4	TCA + LAP + CERA		1 fragment de béton de sol avec inclusions de galets et de fragments de terre cuite. TCA : assez grands fragments. Fragment de marbre blanc et tesselles de mosaïques, coquillages. <u>Céramiques</u> : nombreux fragments de céramiques fines campaniennes (VN pâte orangé), sigillée romaine, sigillée africaine (élément de panse à décor incisé, pâte orange grumelleuse, 1 fragment de panse d'origine africaine (?)) avec bandes d'engobe sur la surface externe et engobe sur la surface interne, 1 anse torsadée en pâte « culinaire » (gros module), 1 pied d'amphore Dressel 1B italique à pâte campanienne. 1 anse bifide




Année		Caisse	Secteur	Matériaux	US	Commentaire
 Mission Archéologique Française à Halaesa (Sicile, Italie) Direttori : M. Costanzi (Université d'Amiens) et V. Michel (Université de Poitiers) Inv. 3 : Ceramiche presenti durante i lavori di scavo del 2016 Inventario : S. Mouny (Université d'Amiens)						
 UNIVERSITÉ de Picardie Jules Verne Université de Poitiers						
Année	Caisse	Secteur	Matériaux	US	Commentaire	
2016	32	Locus B7	TCA + F + CERA		Nombreuses TCA (briques et tuiles). 1 ossement. <u>Céramiques</u> peu de céramiques. 2 fragments d'amphores plus gros à pâte calcaire jaune avec nodules ferrugineux brun rouge (amphores de la côte adriatique). 1 fond e plat en céramique à vernis rouge pompéien, 1 bord de plat culinaire, 1 fragment de céramique fine campanienne (VN pâte orangé).	
2016	33	Locus D1	TCA + CERA		TCA fragments de grande taille (20 x 15 cm), 7 cm d'épaisseur. 1 fragment de TC à dégraissant végétal, fragment de béton avec galets. <u>Céramiques</u> : 1 anse d'amphore Dressel 1, 1 bord d'amphore GI/D1A, 1 anse de Dressel 2/4 italique à pâte campanienne, massive, plusieurs fragments de sigillées romaines, sigillée italique très fragmentaire, céramiques fines à vernis noirs.	
2016	34	Locus A7	LAP + CERA		1 sac avec fragments d'enduit à base de chaux, 3 fragments jointifs appartenant à un vase de stockage à lèvres rentrante avec double ressaut sous le bord.	
2016	35	Locus A1	CERA	US 0, US 3	<u>US 0</u> Galets utilisés dans un sol en béton. Céramique glaçurée moderne. <u>US 3</u> 1 fond de dolium, 1 bouton de couvercle en céramique culinaire, 1 bouton de couvercle engobé en blanc, 1 bord de skyphos d'époque classique ou hellénistique.	
2016	36	Locus B1	TCA + CERA	US 0	Beaucoup de céramiques et quelques éléments de TCA. 1 anse plaquée associée à un décor peint sur le bord, pâte dure. Un fond de gobelet (?) ou petit pot en pâte calcaire fine avec coulure de peinture noire à l'extérieur de la panse, 1 bord de mortier en bourrelet épais en pâte calcaire beige micacée, 1 anse horizontale de bassine plaquée sur la panse, pâte sableuse (?).	
2016	37	Acropole	CERA	US 10001 (Loc 1 et 4), US 10004 (locus 1)		
2016	38	Acropole	CERA	US 10001		
2016	39	Acropole	CERA	US 10000		
2016	40	Acropole	CERA	US 10000, US 10001		
2016	41	Acropole	CERA	US 10006		
2016	42	Agora	CERA	US 20001, US 20003		
2016	43	Agora	CERA	US 20000		
2016	44	Agora	CERA	US 20001		
2017	50	Théâtre	CERA + TCA (30001, 30006, 30010)	US 30000, US 30001, US 30006	CERA inv. AM001 à CCL002, inv. AM003 à CC014, inv. AM015 à CF041 : vernis noir (30001, 30006), sigillée italique (30006)	
2018	53	Agora	CERA	US 20000, US 20021		
2017	55	Agora	CERA	US 20000, US 20001	CERA Inv. AM001 à CM005, Inv. AM046 à CF067 : vernis noir (20001)	
2017	56	Acropole	CERA + TCA (10000, 10002, 10005 et 10025)	US 10000, US 10004, US 10005, US 10008, US 10010, US 10025, US 10036, US 10038, US 10045	Mobilier céra lavé et inventorié en 2018 CERA Inv. AM414 à CF488	
2017	56	Agora	CERA	US 20011, US 20017	CERA Inv. CCL 68 à CC102 : vernis noir (20011, 20017), vernis rouge (20017), sigillée (2011)	
2017	57	Agora	CERA + TCA (20000)	US 20000	CERA Inv. AM15 à CF045 : vernis noir, rouge, engobe, sigillée, sigillée africaine	
2017	58	Agora	CERA + TCA (20013, 20031, 20033, 20034, 20035 et 20036)	US 20021, US 20013, US 20031, US 20033, US 20034, US 20035, US 20036	CERA Inv. AM103 à CF108, Inv. CCL111 à CCL142 : vernis noir (20013) sigillée italienne (20013), sigillée africaine (20013), Inv. AM143 à CF156 : sigillée africaine et italique (20031), inv. AM157 à CC164 : vernis rouge (20033), inv. AM165 à CF172 : sigillée italique (20035), vernis rouge (20035), AM173 à CF176 : sigillée africaine (20036), inv. AM177 à CF184	

	Mission Archéologique Française à Halaesa (Sicile, Italie) Direttori : M. Costanzi (Université d'Amiens) et V. Michel (Université de Poitiers)			
	Inv. 4 : Ceramiches presenti durante i lavori di scavo del 2016 Inventario : S. Mouny (Université d'Amiens)			




Année	Caisse	Secteur	Matériaux	US	Commentaire
2017	58	Agora	CERA + TCA (20013, 20031, 20033, 20034, 20035 et 20036)	US 20021, US 20013, US 20031, US 20033, US 20034, US 20035, US 20036	CERA Inv. AM103 à CF108, Inv. CCL111 à CCL142 : vernis noir (20013) sigillée italienne (20013), sigillée africaine (20013), Inv. AM143 à CF156 : sigillée africaine et italique (20031), inv. AM157 à CC164 : vernis rouge (20033), inv. AM165 à CF172 : sigillée italique (20035), vernis rouge (20035), AM173 à CF176 : sigillée africaine (20036), inv. AM177 à CF184
2017	66	Acropole	CERA +TCA (10038)	US 10024, US 10027, US 10036, US 10038	CERA Inv. AM263 à CF329
2017	68	Acropole	CERA	US 10010, US 10015, US 10022	CERA Inv. AM201 à CF262
2017	69	Acropole	CERA +TCA (10006 et 10008)	US 10006, US 10008	CERA Inv. AM141 à CF199 et IND.200
2017	70	Acropole	CERA	US 10000, US 10001	US 10000 (formes, panses)
2017	72	Acropole	CERA	US 10000, US 10001, US 10008, US 10048	CERA Inv. AM330 à AM413
2017	74	Acropole	CERA + TCA (10003)	US 10003, US 10004	CERA Inv. AM79 à CF140
2017	90	Théâtre	CERA + TCA (US 30004, US 30020, US 30022, 30025, US 30028, US 30030)	US 30004, US 30009, US 30013, US 30017, US 30018, US 30020, US 30022, US 30025, US 30028, US 30030, US 30031	CERA Inv. AM115 à CF194 : Vernis noir (US 30004, 30009, 30022, 30018, 30028, 30025, 30030), engobe rouge (30022), sigillé (30018), sigillée italique (30025), sigillée africaine (30028)
2017	91	Théâtre	CERA + TCA (US 30011)	US 30000, US 30005, US 30010, US 30011, US 30012, US 30016	CERA Inv. AM42 à CC114 : vernis noir (30005, 30010, 30011 lampe, 30012), sigillée italique (30005 plat, 30010, 30012)
2018	92	Acropole	CERA	US 10003	
2018	94	Acropole	CERA	US 10063, US 10072	
2018	95	Acropole	CERA	US 10065	
2018	96	Acropole	CERA	US 10073	
2018	97	Acropole	CERA	US 10073	
2018	98	Acropole	CERA	US 10073	
2018	99	Acropole	CERA	US 10001, US 10015	
2018	100	Acropole	CERA	US 10011, US 10025, US 10028, US 10054, US 10058	
2018	101	Acropole nord	CERA	US 40000, US 40001, US 40002, US 40006, US 50003	
2018	102	Acropole	CERA	US 10000	
2018	103	Acropole	CERA	US 10000	
2018	104	Agora	CERA	US 20000, US 20052, US 20056, US 20058, US 20069, US 20077, US 20079	et un morceau de pythos (US 20058)

	Mission Archéologique Française à Halaesa (Sicile, Italie) Direttori : M. Costanzi (Université d'Amiens) et V. Michel (Université de Poitiers)	 
	Inv. 5 : Ossa presenti durante i lavori di scavo del 2016 e 2017 Inventario : S. Mouny (Université d'Amiens)	

Année	N° caisse	Nature	Secteur	US	nb	Poids (g)	description
2016	48	FAUNE	Acropole	10000	51	180	
				10001	17	60	2 sacs
			Agora	20000	1	10	+ coquillage
				20001	9	80	2 sacs
			?	AreaB, Loc3, US 3	3	20	
2017	78	FAUNE	Acropole	10000	30	240	dont un osselet
	NR	Poids		10001	176	1260	plus une quinzaine de coquillage (300g)
TOTAL	982	7060		10003	17	40	plus 1 coquillage
				10004	31	180	dont des dents
				10006	57	580	plus une dizaine de coquillage + 1 mandibule
				10008	10	130	
				10010	1	10	
				10015	35	280	
				10020	2	10	
				10022	239	1050	dont une machoire
				10024	54	295	
				10026	11	70	
				10027	83	695	
				10034	2	10	fragments de crâne d'animaux
				10036	23	210	
				10038	191	1820	
				10045	1	30	
			10048	19	150	plus 1 coquillage	
2017	79	FAUNE	Agora	20000	23	230	plus 3 coquillages
	NR	Poids		20001	112	800	
TOTAL	360	3250		20011	28	310	
				20013	32	190	plus 1 coquillage
				20017	18	340	4 coquillages (220g)
				20020	97	670	
				20021	9	20	
				20027	5	50	
				20031	9	220	
				20033	7	10	
			20034	13	370		
			20035	6	20		
			20036	1	20		




	Mission Archéologique Française à Halaesa (Sicile, Italie)			
	Direttori : M. Costanzi (Université d'Amiens) et V. Michel (Université de Poitiers)			
Inv. 6 : Lapidare presenti durante i lavori di scavo del 2016 e 2017				
Inventario : S. Mouny (Université d'Amiens)				

Année	N° caisse	Nature	Secteur	US	Artefact	nb	Poids (g)	description
2016	49	LAP	Acropole	10000	LAP	7		1 enduit peint, 6 mortiers
				10001	LAP	<10		1 sac de mortier
				10001	LAP	14	30	Mortiers
			Agora	20000	LAP	8		3 tesselles, 5 enduits peints
				20001	LAP	3	10	mortiers
				20001	LAP	22		17 tesselles blanches et 5 tesselles noirs
				20001	LAP	1		1 pierre plate
2017	61	LAP	Agora	20001	MORTIER	1	540	gros fragments
						plus de 100	2010	
				20020	MORTIER	plus de 20	600	
				20033	MORTIER	5	90	
			20035	MORTIER	10	110		
Acropole	10003	ENDUIT	4	50	4 enduits peints avec relief			
2017	62	LAP	Acropole	10000	MORTIER	6	210	
					ENDUIT	1	10	mortier de tuileau
				10001	MORTIER	9	1250	1 fragment sup. à 10 cm
						38	280	
						9	60	
						21	110	
						9	90	mortier de tuileau
						3	10	
						10002	MORTIER	14
				10003	MORTIER	116	3100	
						473	5250	
				10008	MORTIER	6	70	mortier de tuileau
						2	20	
				10038	MORTIER	9	620	
						ENDUIT	plus de 40	1275
2017	63	LAP	Acropole	10003	MORTIER	136	5000	les petits fragments ne présentant pas ni de décor peint ni de relief n'ont pas été conditionnée
						170	2460	
						314	4890	
						29	2400	
						17	3075	
						18	5000	
						23	5400	
						8	5400	
						3	1390	
						200	3600	
						500	12950	
						500	13380	




	Mission Archéologique Française à Halaesa (Sicile, Italie)			
	Direttori : M. Costanzi (Université d'Amiens) et V. Michel (Université de Poitiers)			
Inv. 7 : Lapidaires presenti durante i lavori di scavo del 2016 e 2017				
Inventario : S. Mouny (Université d'Amiens)				

Année	N° caisse	Nature	Secteur	US	Artefact	nb	Poids (g)	description				
2017	73	LAP	Acropole	10000	MORTIER	1	620	1 fragment sup. à 10 cm				
								6	60			
							plus de 20	1950	4 fragments sup. à 10 cm			
					10001	MORTIER	8	110				
								plus de 20	675	1 fragment sup. à 10 cm		
							plus de 30	1275	2 fragments sup. à 7 cm			
							16	430	1 fragment sup. à 10 cm			
						ENDUIT	7	120				
					10003	ENDUIT	1	10	enduit avec relief (Planche 2, 24)			
					10004	MORTIER	3	10				
					10006	MORTIER	2	460	1 fragment sup. à 10 cm (mortier de tuileau)			
								plus de 50	920			
								1	150			
							plus de 30	850				
						ENDUIT	3	700	2 fragments sup. à 12 cm			
					10008	MORTIER	1	10				
							ENDUIT	7	260			
					10010	MORTIER	plus de 30	1250				
								plus de 20	1300	2 fragments sup. à 10 cm		
								3	100			
						ENDUIT	2	290	enduit peint avec relief (Planche 2, 25)			
					10015	ENDUIT	12	110				
					10022	MORTIER	plus de 20	350				
								15	275			
								6	100			
						ENDUIT	5	390				
					10024	MORTIER	10	140				
								plus de 40	1000			
						1	710	mortier de tuileau sup. à 10 cm				
				10027	MORTIER	7	90					
				10032	MORTIER	5	20					
				10036	MORTIER	15	60					
				10038	MORTIER	11	590					
				10045	MORTIER	1	10					
2017	76	LAP	Théâtre	30000/	MORTIER	3	2700					
					30016	MORTIER	1	40				
					30018	MORTIER	2	50				
					30000	LAP	4	1600	1 galet de plus de 8 cm			
												1 plaque de marbre gris
												1 pierre ponce ?
												1 pierre
							12	90	1 lot de tesselles (12) encore lié au mortier			
							1	60	1 scorie			
					30003	LAP	1	5	1 tesselle			
					30006	LAP	3	440	2 fragments de mortier			
												1 fragment d'enduit
												2 fragments de pierre sculptée (Planche 2, 26)
							2	140	2 tesselles (1 cm x 1,5 cm) blanches			
					30006/	LAP	2	320	2 galets plats sup. à 4,5 et 7 cm			
					30016	LAP	1	40	1 galet de plus de 2 cm			
					30018	LAP	2	1150	1 fragment de mortier			
									2 fragments de pierre sculptée			
					30019	LAP	4	220	3 galets (1 de 4 cm et 2 petits)			
									1 fragment de roche blanche (marbre ?)			
				30028	LAP	2	10	1 fragment de roche				
											1 tesselle (1 cm x 0,9)	
				30030	LAP	2	10	1 tesselle				
				30021	Prélèvement	1	inf. à 5g	Ch. De bois				

Année		N° caisse	Nature	Secteur	US	Artefact	nb	Poids (g)	description			
2017		77	LAP	Acropole	10000	LAP	1	10	1 tesselle (1 x 1 cm)			
								1	100	1 stuc peint sculpté (Planche 2, 22)		
						10001	LAP	1	5	1 tesselle		
								1	20	1 stuc peint (Planche 2, 23)		
						10003	LAP	8	40	8 tesselles (1 x 1 cm)		
								1	20	enduit peint		
						10006	LAP	2	10	2 fragments de roche volcanique		
						10010	LAP	1	5	1 tesselle (1 cm x 0,7)		
							Prélèvement	4	10	Prélèvement de terre brûlée		
						10022	LAP	2	10	2 tesselles (1 x 1 cm)		
						10024	LAP	1	5	1 tesselle (1 x 1 cm)		
								2	20	1 fragment de roche et enduit		
						10001	Prélèvement	1	inf. à 10g	Ch. De bois		
								1	inf. à 10g	Ch. De bois		
				Agora	20000	LAP	41	40	2 pierres 5 tesselles (1 x 1 cm) et 34 tesselles (petites)			
										6	20	6 tesselles
										1	50	1 galet de TCA
										1	20	1 pierre plate 0,8 cm
										1	50	1 roche vitrifiée
										8	40	mortier
					20001	LAP		1	300	1 pierre (roche noire)		
										5	60	1 galet plus 4 tesselles
										1	50	1 fragment de marbre avec inscription (Planche 2, 28)
										150	240	lot de tesselles (101 blanches, 48 noires, 1 rouge), 6 grosses
									3	100	1 pierre plate de 1,2 cm et 2 pierres blanches	
									3	10	3 pierres	
									8	100	Mortier	
							Prélèvement		1	40	Prélèvement de terre charbonneuse	
										1	inf. à 5g	Ch. De bois, zone de concentration de tuiles
										1	inf. à 5g	Ch. De bois
					20010	LAP		1	190	Prélèvement de terre charbonneuse		
					20011	LAP		8	250	mortier et enduit, 1 fragment de plus de 10 cm		
										2	10	2 tesselles (1 x 1 cm)
						Prélèvement		1	inf. à 5g	Ch. De bois		
					20011/ 20012	Prélèvement		1	inf. à 10g	Ch. De bois		
					20013	LAP	Prélèvement	1	inf. à 5g	Ch. De bois		
										19	100	19 tesselles (dont une de 1,7 cm x 1)
										2	10	2 tesselles (1 x 1 cm)
										5	60	enduit peint
										1	20	enduit peint
										1	2	1 pierre verte
										1	30	1 pierre plate ep. 0,8 cm
										1	50	1 fragment de marbre
										1	30	1 roche vitrifiée
							20017	LAP		2	20	1 pierre et 1 tesselle
										1	20	1 pierre
										3	150	Mortier
									1	inf. à 5g	Ch. De bois	
					Prélèvement		1	inf. à 10g	Ch. De bois			

	Mission Archéologique Française à Halaesa (Sicile, Italie)			
	Direttori : M. Costanzi (Université d'Amiens) et V. Michel (Université de Poitiers)			
	Inv. 9 : Instrumentum presenti durante i lavori di scavo del 2016 e 2017			
	Inventario : S. Mouny (Université d'Amiens)			

Année	caisse	Nature	Secteur	US	Artefact	nb	Poids (g)	description	
2016	47	Instrumentum	Acropole	10000	Verre	1	20	1 col	
			Agora	20000	Verre	1	5		
				20001	Verre	5	20	2 fonds dont un bleuté, 1 bord bleuté avec liseré blanc	
				Loc B4	Verre	10	30	1 col, 2 fonds et 7 panses	
				Loc B9	Verre	3	10	3 fonds	
				Loc D2	Verre	5	15	5 fonds dont 1 bleuté	
				Loc D4	Verre	1	5	1 fond	
				Acropole	10001	Plomb	1	20	
			Agora	20001	Métal	1	5	1 monnaie ?	
			?	Loc B4	TCA	2	50		
			?	AreaD, Loc1, US 0	roche, LAP	1	?	1 fragment percé ?	
2017	67	Instrumentum	Acropole	10001	ME	1	40	1 forme circulaire conique avec une accroche centrale int. (diam. 3 cm)	
		1				10	1 forme circulaire conique avec une attache centrale int. (diam. 1,6 cm)		
		ME (plomb)			2	140	résidus (1 boudin longitudinal de 12 cm et un fragment multiforme)		
		10003		ME	3	50	dont 2 tiges et une tête circulaire d'un clou (diam. 2,7 cm)		
		10006		ME	1	15	1 tige de 2,5 cm de long, cassée à l'extrémité, conpressions		
		10022		ME	1	20	1 plaque de 4,5 cm x 1,5 cm, légèrement pliée à son extrémité		
					1	15	1 fragment de section plat formant une courbe		
					1	10	1 fragment circulaire (diam. 1,6 cm)		
					4	100	1 clou à tête conique/circulaire de 13,5 cm et section carré de la tige, 2 tiges et la 1 tête plate circulaire d'un clou		
					os ?	1	5	1 pointe de 3 cm de long (diam. 0,5 cm)	
					albâtre	1	40	1 bord d'un récipient (Planche 2, 27)	
		10004		TC	2	140	1 individu de 5 cm de diam. et l'autre de 8 cm		
		10022		TC	1	270	1 individu complet de 8,5 cm de diamètre		
		10024		TC	1	50	1 individu de 7 cm de diam.		
		Agora		ME	20000	(plomb)	1	75	1 fragment de plomb
					20001	ME	1	10	1 clou à tête circulaire semi conique (diam. 1,7 cm)
					20013	ME	4	20	dont 1 clou à tête circulaire conique (diam. 2,2 cm) et 2 tiges
							1	20	1 clou à tête circulaire plate (diam. 1,25 cm)
					20021	ME	2	10	2 tiges de clou ?
					20001	LAP	2	60	
		20027	CERA	1	40	1 tenon de lampe (CF, feuille d'acanthé)			
		Théâtre	CERA	30001		1	50	Lampe à enclume (CF)	
				30009/30012		1	200	Lampe à enclume (CF)	

	Mission Archéologique Française à Halaesa (Sicile, Italie)	 
	Direttori : M. Costanzi (Université d'Amiens) et V. Michel (Université de Poitiers)	
	Inv. 10 : Instrumentum presenti durante i lavori di scavo del 2017	
	Inventario : S. Mouny (Université d'Amiens)	

Année	caisse	Nature	Secteur	US	Artefact	nb	Poids (g)	description	
2017	75	Instrumentum	Acropole	10001	Verre	2p	50	Fragments grossiers	
					Verre	2c, 7p	40	Fragments altérés, 3 bleutés, 1 décor fil de verre rapporté, 1 fd pontil (Planche 2, 1 et 2)	
				10002	Verre	1p	1	coloré bleuté	
					Verre	1 bouton	10		
				10003	Verre	2p	10	transparent	
					Verre	1 bouton	5	altéré	
				10006	Verre	2p	10		
					Verre	2f, 3c, 18p	60	7 fr. décoré fil de verre (Planche 2, 3 à 9)	
				10022	Verre	6p, 1c	10	1 fr. décoré fil de verre (Planche 2, 10)	
					Verre	12p, 2c	30	4 fr. décor fil de verre (Planche 2, 11 à 13)	
				10024	Verre	1p	5		
				Agora	20000	Verre	2p, 1f	10	2 fr. de verre plat (Planche 2, 14)
						Verre	3p	13	
					20001	Verre	3p, 1f, 2c	30	(Planche 2, 15 à 17)
						Verre	1p	5	
			20011		Verre	1p	10		
			20013		Verre	1c, 1a	15	1 fragment coloré bleu (Planche 2, 18)	
			20019		Verre	1p, 1f	10		
			20020	Verre	1c	5			
			Théâtre	30001	Verre	1f	20	(Planche 2, 19)	
				30011	Verre	1p	10	coloré bleuté	
				30022	Verre	3p	10		
				30028	Verre	1p	20		



Mission Archéologique Française à Halaesa (Sicile, Italie)
 Direttori : M. Costanzi (Université d'Amiens) et V. Michel (Université de Poitiers)



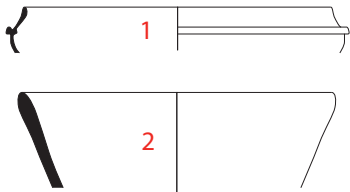
Tavola 2 : Mobili presenti durante i lavori di scavo del 2017
 Disegni & CAD : S. Mouny (Université d'Amiens)

0 5 cm Ech 1/3

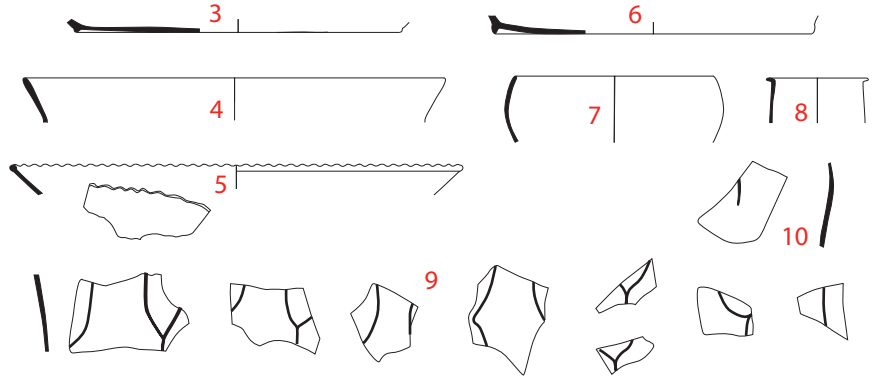
Oggetto in vetro

Settore Acropoli

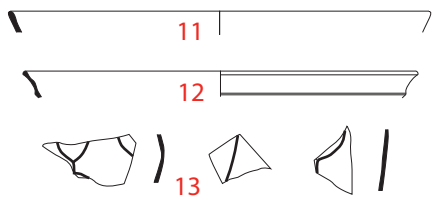
US 10001



US 10022



US 10024



Settore Teatro

US 30001

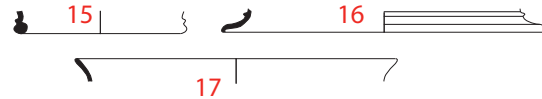


Settore Agora

US 20000



US 20001



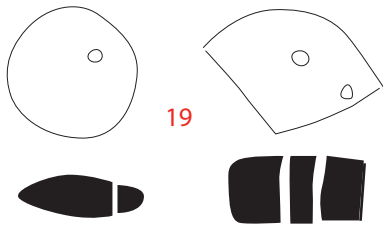
US 20013



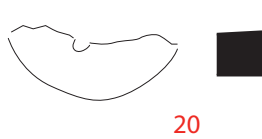
Pesi in terracotta

Settore Acropoli

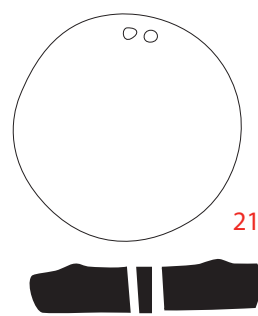
US 10004



US 10024



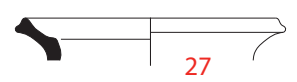
US 10022



Recipiente di alabastro

Settore Acropoli

US 10022



Marmo con iscrizione

Settore Agora

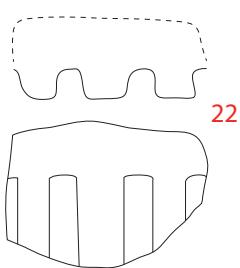
US 20001



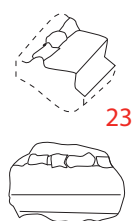
Frammenti di intonaco con rilievo o dipinto

Settore Acropoli

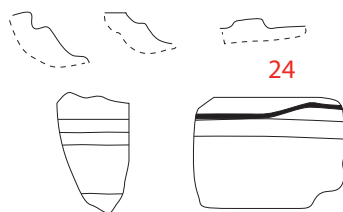
US 10000



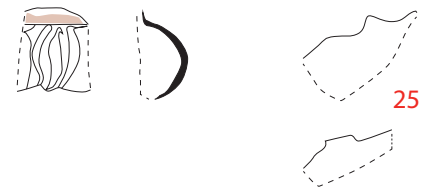
US 10001



US 10003

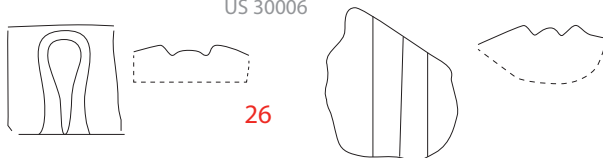





US 10010



Settore Teatro

US 30006



	Mission Archéologique Française à Halaesa (Sicile, Italie)			
	Direttori : M. Costanzi (Université d'Amiens) et V. Michel (Université de Poitiers)			
Inv. 11 : Terrecotte presenti durante i lavori di scavo del 2017				
Inventario : S. Mouny (Université d'Amiens)				

Année	N° caisse	Nature	Secteur	US	nb	Poids (g)	description				
2017	59	TCA	Acropole	10003	1	?	Base de colonne				
					45	?	40 courbées, 3 à rebord, 1 plate, 1 ind.				
					1	?	1 plate de forme trapézoïdale (sole de sarcophage ?)				
2017	60	TCA	Acropole	10000	48	?	27 plates, 16 courbées, 1 à rebord, 3 ind.				
				10010	16	?	9 courbées, 4 plates, 2 à rebord, 1 brique				
				10021	9	?	5 courbées, 1 plate, 2 briques (ep. 7 cm)				
2017	64	TCA	Acropole	10000	2	?	2 à rebord				
				10001	55	?	31 plates, 13 courbées, 1 à rebord, 4 tégula, 3 ind.				
				10003	17	?	11 courbées, 1 courbée avec renfort circulaire, 1 plate				
				10008	2	?	2 tégulae				
				10010	6	?	2 courbées, 3 plates, 1 ind.				
				10015	4	?	2 courbées, 2 plates				
				10022	9	?	4 courbées, 3 plates, 1 vitrifiée, 1 tégula (ep. 4,5 cm)				
				10024	13	?	4 plates, 5 courbées, 2 à rebord, 3 tégulae				
				10027	6	?	2 plates, 3 courbées, 1 brique				
				10036	5	?	5 plates				
				10038	34	?	21 courbées, 8 plates, 3 tégulae, 2 à rebord				
				2017	65	TCA	Agora	20000	1	60	1 courbée à rebord
								20001	209	?	158 plates, 31 courbées, 13 tégulae (dont 3 ép. < à 3 cm), 1 t à rebord
20011	12	?	5 plates, 5 courbées, 1 tégula								
20013	81	?	62 plates, 10 courbées, 6 tégulae, 2 t à rebord, 1 brique								
20017	6	?	4 plates, 2 courbées								
20019	42	?	28 plates, 9 courbées, 1 courbée à rebord, 4 tégulae								
20020	10	?	7 courbées, 2 plates, 1 tégula								
20021	17	?	7 plates, 7 courbées, 1 tégula, 2 briques								
20027	29	?	20 plates, 9 courbées								
20029	4	?	3 plates, 1 courbées								
20031	3	?	2 tégulae, 1 courbées								
20033	2	?	1 plate, 1 courbée								
20034	12	?	8 plate, 4 courbées								
20035	1	?	1 plate								
2017	71	TCA	Théâtre					30000	1	20	1 Plate
				30001	4	150	1 mortier, 1 plate, 2 courbées				
				30002/30004	9	210	5 plates, 3 courbées, 1 ind.				
				30003	1	20	1 Plate				
				30005	5	240	4 plates, 1 courbée				
				30006	11	340	7 plates, 3 courbées, 1 à rebord				
				30009/30011	1	50	1 ind.				
				30009/30012	1	?	Pithos				
				30009/30012	10	260	5 plates, 5 courbées				
				30009	2	75	1 plate, 1 à rebord				
				30012	2	?	1 à rebord, 1 ind.				
				30016	2	75					
				30018	5	70	3 plates, 2 courbées				
				30020	2	50	2 courbées				
				30022	3	40	3 plates				
				30025	4	140	3 plates, 1 courbée				
				30029	6	120	6 ind.				
				30031	2	40	1 plate, 1 courbée				

CONCLUSION GÉNÉRALE

La campagne de 2018 a été très riche en résultats dans les trois zones de travail.

Sur « l'acropole méridionale » on a pu se rendre compte que « l'édifice central » est beaucoup plus étendu qu'on ne l'avait supposé en 2017. On a pu aussi mieux comprendre les mécanismes de l'abandon et de la destruction de cet édifice, qui, constitué par deux étages, devait avoir un pavement en mortier de tuileau au premier étage, au moins dans sa partie centrale. Les murs de cet édifice en terre et briques et la couverture en tuiles se retrouvent disposés dans les différentes Us ; leur étude permet de reconstituer d'une manière claire les dernières phases de vie de cet édifice, jusqu'à celle de la spoliation qui intervient entre la fin de l'Antiquité et l'Antiquité tardive. A cette dernière époque, en effet, des tombes s'installent dans les murs déjà détruits, surtout dans la partie sud-est du bâtiment.

Il est pour l'instant impossible d'avancer des hypothèses précises sur sa construction et sa nature. Cependant, les objets retrouvés dans les couches de comblement de l'édifice, qu'ils appartiennent à l'édifice lui-même ou à l'acropole en général font comprendre que à partir du IV^e s. la zone est occupée, avec une fréquentation plus importante entre le II^e s. av. J.-C. et le I^{er} s. apr. J.-C.

Sur le même plateau de l'acropole méridionale, la fouille ouverte sur la « pointe nord » a permis de mieux comprendre l'organisation de cette zone, qui semble actuellement totalement aride et ne présente aucun élément qui fasse imaginer un possible aménagement urbain. Une citerne a en effet été découverte ; fouillée seulement partiellement, pour l'instant, elle montre que cette pointe était bien aménagée. Les fouilles de l'année prochaine vont devoir permettre de comprendre avec quelle structure il était en relation ; elles fourniront certainement aussi des éléments de datation. Dans la partie sud du même plateau, immédiatement au sud-est de « l'édifice central », les travaux réalisés sur une « construction quadrangulaire » totalement effondrée et recouverte par des buissons ont permis de la dégager des pierres, tombées à l'intérieur et tout autour, et de la broussaille ; ils ont permis de restituer une structure propre, présentant un double parement sur trois côtés (sauf le côté sud). Il est évident que ces murs sont construits avec de blocs de remploi ; il ne semble pas impossible que ces blocs proviennent des murs de l'angle sud-est de « l'édifice central », ce qui inciterait à imaginer une spoliation de ces murs avant l'implantation de tombes à l'Antiquité tardive (VI^e-VII^e s.).

Il sera nécessaire, en 2019, de réaliser deux sondages, un à l'extérieur de la construction, sur son côté sud, l'autre à son intérieur, pour pouvoir avoir quelques éléments datant, car pour l'instant aucun élément permettant de dater la construction de la structure n'a été trouvé.

Pour la zone « au sud de l'agora », superposant les résultats de la prospection tomographique et ceux des fouilles, il semble clair que l'orientation de ce secteur correspond à celui du parcellaire connu dans la cité. L'étude de la céramique atteste une occupation de la fin du II^e s. av. J.-C. jusqu'au VI^e s. apr. J.-C. Cependant, il est impossible de définir encore la nature de cette occupation, et les différentes phases : pour cette raison il est nécessaire de continuer la fouille de ce secteur.

Pour la zone « sous les murs à contreforts », les travaux réalisés cette

année ont été très importants parce que les hypothèses, formulées déjà l'année dernière de l'existence d'un théâtre ont été définitivement confirmées : les gradins taillés d'une manière régulière dans la roche mère le long de toute la pente de l'hémicycle, les sièges en pierre d'un type connu dans d'autres théâtres de la côte nord sicilienne (par exemple, Tyndaris), le mur de la parados méridionale et les grandes dalles en pierre de l'orchestra, plus les éléments d'un décor qui, semblable à ceux de Solonte, pourraient venir de l'édifice scénique, permettent d'affirmer sans aucun doute l'existence d'un théâtre à Halaesa. Il est possible aussi de dire que, avec ses 70 m de diamètre et ses 18/20 m de dénivelé, il était un des plus grands de toute la Sicile.

Il s'agirait du 14e théâtre connu par l'archéologie en Sicile (deux autres, pas découverts, sont mentionnés par les sources littéraires).

La tranchée qui a permis de mettre en évidence les éléments ci-dessus rappelés, ne permet en revanche pas d'établir l'état de conservation de la structure. On peut seulement imaginer qu'elle a dû être en partie spoliée ; mais, comme à Tyndaris, il est possible qu'une partie des sièges soit bien conservée. Dans les couches de comblement apparaissent de toutes les façons beaucoup d'éléments architecturaux, qui appartiennent peut-être au théâtre, mais aussi aux autres édifices d'Halaesa. On peut imaginer que quand les constructions antiques ont été spoliées, le théâtre pouvait être utilisé comme une décharge des blocs non remployés et non réutilisés.

Les prochaines années devraient permettre la fouille, la restauration, la mise en sécurité, la mise en valeur et l'étude scientifique de ce bâtiment, selon un projet de travail qui demande la collaboration de toutes les parties en cause.

Au moment de la rédaction de ce rapport, la MAFHA est en train de travailler à un plan et à une action financier et scientifique.

Bibliographie

Costanzi, Michel dir. 2017 :

COSTANZI (M.), MICHEL (V.) dir. – *Halaesa. Dall'ellenizzazione alla cristianizzazione: Evoluzione di una città della Sicilia settentrionale. Missione archeologica francese di Halaesa. Rapporto 2017*. Université de Picardie Jules Verne (EA 4284 TrAme), Université de Poitiers (EA3811 HeRMA), Université Paris-Sorbonne, 2017, 141 p.

Costanzi, Michel 2016 :

COSTANZI (M.), MICHEL (V.). – *Halaesa. Dall'ellenizzazione alla cristianizzazione : Evoluzione di una città della Sicilia settentrionale. Missione archeologica francese di Halaesa. Rapporto 2016*. Université de Picardie Jules Verne (EA 4284 TrAme), Université de Poitiers (EA3811 HeRMA), Université Paris-Sorbonne, 2016, 11 p.

Cuvelier 2018 :

CUVELIER (V.). – *Les théâtres en Sicile du Ve siècle av. J.-C. au IIe siècle après J.-C.*, Mémoire de Master 1 « Civilisation Histoire Patrimoine Sources », sous la direction de Vincent Michel, Université de Poitiers, 2018, p. 51-54.

Moretti 1993 :

MORETTI (J.-Ch.). – Les débuts de l'architecture théâtrale en Sicile et en Italie méridionale (Ve-IIIe s.). *Topoi. Orient-Occident*, année 1993, 3-1, p. 72-100.

Prag, Crawley Quinn 2013 :

PRAG (J. R. W.), CRAWLEY QUINN (J.) - *The Hellenistic West: Rethinking the ancient Mediterranean*. Cambridge : Cambridge University Press, 2013, p. 101

Koehler, Marcille 2017 :

KOEHLER (A.), MARCILLE (C.). – *La fouille mécanisée : enjeux méthodologique et scientifiques*. Actes du séminaire des 5 et 6 décembre 2007. Paris : Inrap, 2017, 80 p. (coll. Les Cahiers de l'Inrap, n° 4, avril 2016)

Ragonese, Bono 1987 :

RAGONESI (A.), BONO (G. A.) – *Breve guida di Halaesa Arconidea*. Palermo : Tipografia ACP, 1987, 50 p.

Scibona, Tigano 2009 :

Scibona G., Tigano G. (éd.), *Alaisa-Halaesa. Scavi e ricerche (1970-2007)*, Messina, 2009.

Tigano 1997:

TIGANO (G.). – Milazzo. Scavi e ricerche tra il 1994 e il 1997 (G. Tigano). In *Kokalos* XLIII-XLIV, Tomo II, 1 (1997-1998), 2002

Index des illustrations

INTRODUCTION

Figure 01 p. 7 : Situation géographique d'Halaesa.

Figure 02 p. 8 : Localisation des secteurs d'étude 2018, sur le fond de plan d'Halaesa réalisé par Rocco Burgio. © MAFHA.

I. LE SECTEUR « ACROPOLE MÉRIDIIONALE »

Figure 01 p. 12 : Image LiDAR du site d'Halaesa. © LiDAR Université de Camarino, infographie Frédéric Gerber, MAFHA.

Figure 02 p. 16 : Sondage initial. © Stéphane Messerschmitt, MAFHA.

Figure 03 p. 17 : Dimensions finales du sondage. © Stéphane Messerschmitt, MAFHA.

Figure 04 p. 17 : US 40.000. figure d'applique (?) représentant un visage féminin. © Stéphane Messerschmitt, MAFHA.

Figure 05 p. 17 : US 40.002. © Stéphane Messerschmitt, MAFHA.

Figure 06 p. 17 : US 40.004. © Stéphane Messerschmitt, MAFHA.

Figure 07 p. 18 : US 40.006 et 40.008 © Stéphane Messerschmitt, MAFHA.

Figure 08 p. 19 : Plan de l'édifice central à la fin de la campagne 2018 © Stéphane Boulogne / Frédéric Gerber, MAFHA.

Figure 09 p. 20 : La zone NE de l'édifice avant la fouille. © Marine Waszak, MAFHA.

Figure 10 p. 20 : La zone NE de l'édifice en cours de fouille. © Milan Melocco, MAFHA.

Figure 11 p. 21 : Coupe sud/nord à travers les remblais de la zone nord-est. © Relevé Camille Blanchet et Hadrien Nègre, infographie Frédéric Gerber, MAFHA.

Figure 12 p. 22 : Le prolongement du mur 10.023 vers l'Est. © Milan Melocco, MAFHA.

Figure 13 p. 23 : Couches de remblais au nord et au sud du mur 10.053. © Frédéric Gerber, MAFHA.

Figure 14 p. 23 : Les blocs de mortier de tuileau : vertical contre le mur et à plat au milieu de la pièce. © Michela Costanzi, MAFHA.

Figure 15 p. 24 : Stratigraphie de la pièce centrale, secteur ouest. © Marine Waszak, MAFHA.

Figure 16 p. 24 : Coupe est/ouest à travers les remblais de la zone centrale ouest. © Relevé Hadrien Nègre, photogrammétrie Vincent Miaillhe, infographie Frédéric Gerber, MAFHA

Figure 17 p. 25 : Niveau du sol de la pièce centrale, côté ouest. © Milan Melocco, MAFHA.

Figure 18 p. 26 : Les gradins sur le côté sud-ouest de l'édifice. © Marie-Anaïa Zenou, MAFHA.

Figure 19 p. 26 : Usc 10.037. © Michela Costanzi, MAFHA.

Figure 20 p. 26 : Orthophotographie d'après un levé photogrammétrique du couvercle de la tombe 10.037. © Vincent Miaillhe, MAFHA.

Figure 21 p. 27 : Coupe sud/nord à travers les remblais de la zone sud-est. © Relevé Marie-Anaïa Zenou, infographie Frédéric Gerber, MAFHA.

Figure 22 p. 28 : Orthophotographie d'après un levé photogrammétrique de la tombe en coffre 10.055, à l'issue de la fouille. © Vincent Miaillhe, MAFHA.

Figure 23 p. 29 : Fragments de statuette en terre cuite et détail de la tête (Us 10.057). © Michela Costanzi, MAFHA.

Figure 24 p. 30 : Tête de figurine en terre cuite (Us 10.057). © Michela Costanzi, MAFHA.

Figure 25 p. 30 : Bras de statuette en pierre (Us 10.011). © Michela Costanzi, MAFHA.

Figure 26 p. 31 : Trois modèles de lampe à huile. © Michela Costanzi, MAFHA.

Figure 27 p. 32 : Le monument avant la fouille. © Michela Costanzi, MAFHA.

Figure 28 p. 32 : L'entrée du monument. © Michela Costanzi, MAFHA.

Figure 29 p. 33 : Vue zénithale en orthophotographie du bâtiment quadrangulaire juste après le défrichage, réalisée à partir du levé photogrammétrique. © Vincent Miaillhe, MAFHA.

Figure 30 p. 33 : Vue zénithale en orthophotographie du bâtiment quadrangulaire après dégagement des blocs en éboulis, réalisée à partir du levé photogrammétrique. © Vincent Miaillhe, MAFHA

Figure 31 p. 34 : Orthophoto de la face orientale réalisée à partir du levé photogrammétrique. © Vincent Miaillhe, MAFHA.

Figure 32 p. 34 : Mur nord, Usc 50.006. © Jimmy Lefebvre, MAFHA.

Figure 33 p. 35 : Orthophoto de la face septentrionale réalisée à partir du levé photogrammétrique. © Vincent Miaillhe, MAFHA.

Figure 34 p. 35 : Mur ouest, Usc 50.007. © Brian Delarue, MAFHA.

Figure 35 p. 35 : Orthophoto de la face occidentale réalisée à partir du levé photogrammétrique. © Vincent Miaillhe, MAFHA.

Figure 36 p. 36 : Orthophoto de la face méridionale réalisée à partir du levé photogrammétrique. © Vincent Miaillhe, MAFHA.

Figure 37 p. 36 : Alignement de pierres, Us 50.011. © Jimmy Lefebvre, MAFHA.

Figure 38 p. 37 : Localisation d'un sondage potentiel, Us 50.005. © Jimmy Lefebvre, MAFHA.

II. LE SECTEUR « AU SUD DE L'AGORA »

Figure 01 p. 40 : Décapage en cours de la zone de l'agora à l'aide d'une pelle mécanique. © Frédéric Gerber, MAFHA.

Figure 02 p. 41 : Plan du décapage mécanique de la zone. © Stéphane Boulogne / Vincent Michel, MAFHA.

Figure 03 p. 42 : Secteur 1 (TR200C) - vue vers l'ouest. © Vincent Michel, MAFHA.

Figure 04 p. 43 : Secteur 1 : murs Usc 20053 et 20050. © Vincent Michel, MAFHA.

Figure 05 p. 44 : Secteur 1 : murs Usc 20053 et 20050. © Vincent Michel, MAFHA.

Figure 06 p. 44 : Secteur 1 (zone ouest), murs Usc 20054 et 20055. © Vincent Michel, MAFHA.

Figure 07 p. 45 : Secteur 2 (TR200A) - vue vers l'ouest. © Vincent Michel, MAFHA.

Figure 08 p. 45 : Secteur 2 (TR200A) - vue vers l'ouest. © Juliette Coudrin, MAFHA.

Figure 09 p. 46 : Secteur 3 : vue zénithale de la zone de fouille © Frédéric Gerber / Vincent Michel, MAFHA.

Figure 10 p. 47 : Secteur 3 - sondage 3.1, coupe ouest, contre le mur Usc 20022. © Juliette Coudrin, MAFHA.

Figure 11 p. 47 : Secteur 3 - sondage 3.1, coupe nord © Juliette Coudrin, MAFHA.

Figure 12 p. 48 : Secteur 4 (TR200B) - vue vers l'ouest © Vincent Michel, MAFHA.

Figure 13 p. 49 : Secteur 4 – Zone supérieure ouest : structure bâti © Vincent Michel, MAFHA.

III. LE SECTEUR « SOUS LE MUR À CONTREFORTS » OU SECTEUR « THÉÂTRE »

Figure 01 p. 53 : Localisation du secteur dit « sous le mur à contreforts » sur le fond de plan général d'Halaesa réalisé par Rocco Burgio. © MAFHA.

Figure 02 p. 52 : Profil supposé du remblaiement du théâtre, proposé dans le rapport de campagne 2017 pour montrer que des sondages manuels étaient inenvisageables. Il s'est révélé être parfaitement exact à l'issue de la campagne 2018. © Frédéric Gerber, MAFHA.

Figure 03 p. 55 : Plan général du secteur du Théâtre, avec localisation des sondages et des principaux éléments archéologiques. © Topographie Stéphane Boulogne, infographie Frédéric Gerber, MAFHA.

Figure 04 p. 54 : Logo de l'entreprise de travaux Giacomo Longo. © Giacomo Longo.

Figure 05 p. 56 : Premier coup de pelle pour la mini-pelle mécanique sur la pente très marquée de l'hémicycle. Début de l'ouverture de la tranchée E. © Frédéric Gerber, MAFHA.

Figure 06 p. 57 : Relevés stratigraphiques des coupes du sondage A/D montrant les différents niveaux de remblais adossés au rempart de la ville intramuros. © Relevé Vanille Cuvelier et Baptiste Vidal, infographie Frédéric Gerber, MAFHA.

Figure 07 p. 57 : Comblement de la canalisation qui traverse le rempart, riche en mobilier céramique (Us 30.036). © Théo Martin, MAFHA.

Figure 08 p. 58 : Fin de fouille du sondage AD contre le rempart, au sommet de la couche Us 30.040. © Théo Martin, MAFHA.

Figure 09 p. 58 : Vue 3D tirée de la photogrammétrie du rempart de la ville et du sondage AD. © Vincent Miaillhe, MAFHA.

Figure 10 p. 59 : Orthophotographies du rempart de la ville proposant une vue en plan et en élévation des deux parements. © Photogrammétrie Vincent Miaillhe, infographie Frédéric Gerber, MAFHA.

Figure 11 p. 60 : Les gradins du sondage B. On distingue clairement les différents blocs de roche naturelle mis en place dans les creux que forme le substrat afin d'obtenir une surface à peu près plane. © Frédéric Gerber, MAFHA.

Figure 12 p. 61 : Vue générale de la grande tranchée E, qui part du dallage monumental en cours de dégagement sur la photo, jusqu'à pratiquement le haut de l'hémicycle. © Frédéric Gerber, MAFHA.

Figure 13 p. 63 : Profil général et coupe stratigraphique de la grande tranchée E. © Topographie Stéphane Boulogne, infographie Frédéric Gerber, MAFHA.

Figure 14 p. 62 : Comblement de la partie la plus encaissée de l'hémicycle dans la tranchée E, composé essentiellement de blocs, de déchets de taille et d'éléments architecturaux (Usc 30.044). © Frédéric Gerber, MAFHA.

Figure 15 p. 64 : Les blocs architecturaux taillés dans de la roche volcanique, retrouvé en éboulis dans le com-

blement supérieur du sondage E (Usc 30.049). © Frédéric Gerber, MAFHA.

Figure 16 p. 65 : Orthophotographies des blocs en éboulis USC 30.049, trouvés dans le comblement de la partie haute de l'hémicycle (sondage E). © Frédéric Gerber, MAFHA.

Figure 17 p. 67 : Orthophotographies et profil du siège de théâtre (Usc 30.047). © Frédéric Gerber, MAFHA.

Figure 18 p. 66 : Vue de détails des traces de pic ou de pioche sur l'assise du siège de théâtre (Usc 30.047). © Frédéric Gerber, MAFHA.

Figure 19 p. 68 : Fragment de siège de théâtre encore en place sur son gradin taillé dans la roche naturelle (Usc 30.046). © Frédéric Gerber, MAFHA.

Figure 20 p. 68 : Vue d'ensemble du fragment de siège de théâtre (Usc 30.046). © Frédéric Gerber, MAFHA.

Figure 21 p. 69 : Fragment de siège de théâtre ? Bloc en faux tuf (calcarénite), présentant bandeau et cavet, provenant de la couche de remblais Us 30.044 (sondage E). © Frédéric Gerber, MAFHA.

Figure 22 p. 69 : Mis à part le bloc le plus à droite sur la rangée du milieu, ensemble de blocs en faux tuf (calcarénite) et de dalles en calcaire marneux, provenant de la couche de remblais Us 30.044 (sondage E). © Frédéric Gerber, MAFHA.

Figure 23 p. 70 : Vue d'ensemble des sièges à façade avec bandeau et cavet du théâtre d'Iaitas. © opaxir, Flickr 2018.

Figure 24 p. 70 : Vue de détails, prise de face, des sièges du théâtre de Iaitas. © Willems/Schnubel (Theatrum site internet de la Direktion Landesarchäologie Mainz).

Figure 25 p. 70 : Panoramica dei posti con facciata con banda e cavità del teatro di Segesta. © Alessandra La Ruffa.

Figure 26 p. 70 : Vue de détails, prise de face, des sièges du théâtre de Segesta. © TrapaniOK.it.

Figure 27 p. 70 : Vue de détails, prise de face, des sièges du théâtre de Solunto. © Davide Mauro, Wikimedia.

Figure 28 p. 70 : Prise de mesure sur un des blocs de grand module du théâtre de Tyndaris. © Frédéric Gerber, MAFHA.

Figure 29 p. 71 : Vue d'ensemble des sièges du théâtre d'Herakleia Minoa. © W. Taube, 2007 (Theatrum site internet de la Direktion Landesarchäologie Mainz).

Figure 30 p. 71 : Vue d'ensemble des sièges à façadeLes sièges à façade droite du théâtre d'Akrai © Akrai _ Clemensfranz, Wikipedia 2006.

Figure 31 p. 71 : Vue d'ensemble des sièges du théâtre à façade droite du théâtre de Catania. © Luca Aless, Wikimedia 2016.

Figure 32 p. 71 : Les sièges à façade droite du théâtre d'Holoros. © Davide Mauro, Wikimedia.

Figure 33 p. 71 : Les sièges à façade droite du théâtre d'Hippana (Monte dei Cavalli). © Stefano Vassallo e Oscar Belvedere, eventiesagre.it, 2014.

Figure 34 p. 71 : Vue d'ensemble des sièges maçonnés à façade lisse du théâtre de Morgantina. © Morgantia07, Wikipedia, 2008.

Figure 35 p. 72 : Les sièges à façade droite du théâtre de Syracuse. © Manuel Trujillo Berges, 2001, Flickr.

Figure 36 p. 72 : Vue d'ensemble des sièges à façade droite du théâtre de Taormina. © lavaligiasottosopra.blogspot.it.

Figure 37 p. 73 : Les théâtres antiques de Sicile et la typologie de leurs sièges. © Frédéric Gerber, MAFHA.

Figure 38 p. 74 : Vue d'ensemble du fragment de dallage monumental marquant la limite orientale de l'orchestra. © Photo Vincent Miaillhe, infographie Frédéric Gerber, MAFHA.

Figure 39 p. 75 : Blocs bruts aménagés en maçonnerie pouvant correspondre à la partie haute du mur du parodos sud (Usc 30.060). © Frédéric Gerber, MAFHA.

Figure 40 p. 76 : Construction en blocs de grand appareil pouvant correspondre à la partie basse du mur de la parodos sud (Usc 30.055). © Frédéric Gerber, MAFHA.

Figure 41 p. 76 : Les blocs de grand appareil (Usc 30.055) en tête de la tranchée F. © Frédéric Gerber, MAFHA.

Figure 42 p. 77 : Profil général et coupe stratigraphique du sondage F. La maçonnerie de la partie basse du mur de la parodos sud apparaît clairement. © Topographie Stéphane Boulogne, infographie Frédéric Gerber, MAFHA.

Figure 43 p. 78 : Structure en gros blocs de roche apparue au fond du sondage G et correspondant peut-être à ce qu'il reste de la construction observée par Gian-Filippo Carettoni dans les années 1950 (Usc 30.062). © Théo Martin, MAFHA.

Figure 44 p. 79 : Vue panoramique de l'hémicycle en fin d'opération. La forme du théâtre antique d'Halaesa apparaît de plus en plus de manière évidente. © Frédéric Gerber, MAFHA.

Figure 45 p. 79 : Photogrammétrie réalisée à partir de photos prise à l'aide d'un drone par Eugenio Donato de l'Université de Messine. 1 : le mur à contreforts. 2 : le rempart de la ville. 3 (non visible ici) : l'Agora. 4 : l'Acropole sud. 5 : le Théâtre. 6 : le temple d'Apollon. © Vincent Miaillhe, MAFHA.

Figure 46 p. 80 : Proposition de restitution de l'emprise du théâtre d'Halaesa à partir des éléments archéologiques disponibles à l'issue de la campagne 2018. © Frédéric Gerber, MAFHA.

Figure 47 p. 82 : Comparaison de l'emprise et de l'orientation des théâtres de Solonte, Tyndaris et Halaesa.

© Frédéric Gerber, MAFHA.

Figure 48 p. 81 : Vue d'ensemble de la moitié sud de l'hémicycle après son dégagement. © Frédéric Gerber, MAFHA.

Figure 49 p. 83 : Le théâtre de Pergame et les aménagements en terrasse au-dessus. © Orhan Özgülbas.

Figure 50 p. 83 : Plan du théâtre de Pergame avec le mur à contreforts qui le domine. © T.H. d'après le plan de D. De Bernadi Ferrero.

Figure 51 p. 83 : Restitution 3D du théâtre de Pergame, tirée de la vidéo : 3D Animation der Akropolis von Pergamon, rekonstruiert auf Basis der Schriftenreihe «Altertümer von Pergamon» Ausgabe I-VIII. Details vom Großen Altar (Pergamonaltar). Animiert mit Blender 2.5 Open Source Software. (<https://youtu.be/XT-MoW185tLk>).

© pergamon.secondpage.de.

Figure 52 p. 84 : Bloc de corniche encastrée, décoré de denticules miniatures, conservé dans le couloir longeant l'antiquarium d'Halaesa. Ce bloc proviendrait du secteur de l'Agora. © Frédéric Gerber, MAFHA, 2017.

Figure 53 p. 84 : Blocs d'entablements et de corniches, décorés de denticules miniatures, conservés sur le site du mur à contreforts d'Halaesa. © Frédéric Gerber, MAFHA, 2017.

Figure 54 p. 85 : Bloc d'entablement décoré de denticules miniatures, conservé sur le site du théâtre de Solonte. © Frédéric Gerber, MAFHA, 2017.

Figure 55 p. 85 : Restitution scénographique des éléments de décors du mur de scène du théâtre de Solonte, et proposition de restitution de la façade du mur de scène, visibles dans le musée de site © Photographies Frédéric Gerber, MAFHA.

Figure 56 p. 86 : Élément de corniche avec décors de denticules miniatures, retrouvé dans un taillis d'olivier au bas de l'hémicycle © Frédéric Gerber, MAFHA.

Tableau p. 72 : Description des sièges de théâtre de divers sites siciliens. © Vanille Cuvelier, MAFHA.

V.

ANNEXES

SECTEUR « ACROPOLE MÉRIDIONALE »

Inventaire des photographies numériques

Code d'inventaire

Année	Secteur	Num	Format	Légende	Locus	Us	Orientation	Auteur
2018	Edificio central	100_3026	jpg	Stato del lavoro sterro dell'us 10.000 su 10.038		10.000	N	Marine
2018	Edificio central	100_3027	jpg	Stato del lavoro sterro dell'us 10.000 su 10.038		10.000	N	Marine
2018	Edificio central	100_3028	jpg	Pulizia 10.025		10.025	N	Marine
2018	Edificio central	100_3033	jpg	Sommità di 10.001. Errore sulla lavagna!		10.001	N	Marine
2018	Edificio central	100_3034	jpg	Sommità di 10.001. Errore sulla lavagna!		10.001	N	Marine
2018	Edificio central	100_3035	jpg	Sommità di 10.001		10.001	N	Marine
2018	Edificio central	100_3036	jpg	Sommità di 10.001		10.001	N	Marine
2018	Edificio central	100_3037	jpg	Sommità di 10.001		10.001	N	Marine
2018	Edificio central	100_3038	jpg	Sommità di 10.025		10.025	N	Marine
2018	Edificio central	100_3039	jpg	Sommità di 10.025		10.025	N	Marine
2018	Edificio central	100_3040	jpg	Moneta in contesto		10.054	O	Marine
2018	Edificio central	100_3044	jpg	Muro 10.053 e livelli di distruzione		10.053	O	Marine
2018	Edificio central	100_3045	jpg	Muro 10.053 e livelli di distruzione (senza ardesia)		10.053	O	Marine
2018	Edificio central	100_3046	jpg	Sezione E/O della us 10.011		10.011	S	Marine
2018	Edificio central	100_3046	jpg	Sezione E/O della us 10.011 (senza ardesia)		10.011	S	Marine
2018	Edificio central	100_3056	jpg	Sezione E/O della us 10.011 (senza ardesia)		10.011	S	Marine
2018	Edificio central	100_3058	jpg	Sezione E/O della us 10.011 (senza ardesia)		10.011	S	Marine
2018	Edificio central	100_3059	jpg	Muro 10.053 e livelli di distruzione 10.038 (senza ardesia)		10.053	O	Marine
2018	Edificio central	100_3060	jpg	Muro 10.053 e livelli di distruzione 10.038 (senza ardesia)		10.038 10.053	O	Marine
2018	Edificio central	100_3061	jpg	Vista d'insieme della cista 10.055		10.055	O	Marine
2018	Edificio central	100_3062	jpg	Vista d'insieme della cista 10.055		10.055	O	Marine
2018	Edificio central	100_3063	jpg	Muro 10.053 e livelli di distruzione 10.038 ripulito verso nord		10.053	O	Marine
2018	Edificio central	100_3064	jpg	Muro 10.053 e livelli di distruzione 10.038 ripulito verso nord (senza ardesia)		10.053	O	Marine
2018	Edificio central	100_3065	jpg	Vista d'insieme della sommità della us 10.054		10.054	0	Marine
2018	Edificio central	100_3066	jpg	Vista d'insieme della sommità della us 10.054 (senza ardesia)		10.054	0	Marine
2018	Edificio central	100_3071	jpg	Sezione E/O sopra l'us 10.060		10.060	S	Marine
2018	Edificio central	100_3072	jpg	Sezione E/O sopra l'us 10.060 (senza ardesia)		10.060	S	Marine
2018	Edificio central	100_3074	jpg	Vista d'insieme del suolo 10.034 (senza ardesia)		10.034	O	Marine
2018	Edificio central	100_3080	jpg	Vista del saggio verso nord del muro 10.053		10.065	O	Marine
2018	Edificio central	100_3081	jpg	Vista del saggio verso nord del muro 10.053 (senza ardesia)		10.065	O	Marine
2018	Edificio central	100_3083	jpg	Vue du dessus de l'us 10.066		10.066	O	Marine
2018	Edificio central	100_3084	jpg	Vue du dessus de l'us 10.066 (senza ardesia)		10.066	O	Marine
2018	Edificio central	100_3086	jpg	Vue du sondage 10.000-B1		10.015	O	Marine

SECTEUR « ACROPOLE MÉRIDIONALE »

Inventaire des photographies numériques

Code d'inventaire

Année	Secteur	Num	Format	Légende	Locus	Us	Orientation	Auteur
2018	Edificio central	100_3087	jpg	Vue du sondage 10.000-B1 (senza ardesia)		10.015	O	Marine
2018	Edificio central	100_3088	jpg	Vue de l'us 10.074 et du mur 10.053		10.074	O	Camille
2018	Edificio central	100_3089	jpg	Vue de l'us 10.074 et du mur 10.053		10.074	O	Camille
2018	Edificio central	100_3091	jpg	Vue de l'us 10.074 et du mur 10.053 (senza ardesia)		10.074	O	Camille
2018	Edificio central	100_3092	jpg	Vue de l'agrandissement de l'us 10.034		10.034	E	Axelle
2018	Edificio central	100_3093	jpg	Vue de l'agrandissement de l'us 10.034 (senza ardesia)		10.034	E	Axelle
2018	Edificio central	100_3096	jpg	Vue de la moitié O de l'us 10.073		10.073	N	Marie-Anaïa
2018	Edificio central	100_3097	jpg	Vue de la moitié O de l'us 10.073 (senza ardesia)		10.073	N	Marie-Anaïa
2018	Edificio central	100_3114	jpg	Vue de l'us 10.054		10.054	O	Marie-Anaïa
2018	Edificio central	100_3115	jpg	Vue de l'us 10.054 (senza ardesia)		10.054	O	Marie-Anaïa
2018	Edificio central	100_3121	jpg	Vue du mur 10.031		10.031	O	Axelle
2018	Edificio central	100_3122	jpg	Vue du mur 10.031 (senza ardesia)		10.031	O	Axelle
2018	Edificio central	100_3123	jpg	Concentration de tea et de mortier dans l'us 10.073		10.073	S	Marie-Anaïa
2018	Edificio central	100_3124	jpg	Concentration de tea et de mortier dans l'us 10.073 (senza ardesia)		10.073	S	Marie-Anaïa
2018	Edificio central	100_3126	jpg	Vue d'ensemble du remblai de démolition 10.059		10.059	NO	Milan
2018	Edificio central	100_3127	jpg	Vue d'ensemble du remblai de démolition 10.059 (senza ardesia)		10.059	NO	Milan
2018	Edificio central	100_3131	jpg	Vista d'insieme del suolo 10.060		10.060	NO	Milan
2018	Edificio central	100_3132	jpg	Vista d'insieme del suolo 10.060		10.060	NO	Milan
2018	Edificio central	100_3133	jpg	Vista d'insieme del suolo 10.060 (senza ardesia)		10.060	NO	Milan
2018	Edificio central	100_3134	jpg	Vue générale de la structure 10.031		10.031	O	Milan
2018	Edificio central	100_3135	jpg	Vue générale de la structure 10.031 (senza ardesia)		10.031	O	Milan
2018	Edificio central	100_3136	jpg	Vue générale de la structure 10.074		10.074	O	Milan
2018	Edificio central	100_3137	jpg	Vue générale de la structure 10.074		10.074	O	Milan
2018	Edificio central	100_3138	jpg	Vue du dessus des blocs du comblement 10.060		10.060	NO	Milan
2018	Edificio central	100_3139	jpg	Vue du dessus des blocs du comblement 10.060 (senza ardesia)		10.060	NO	Milan
2018	Edificio central	100_3146	jpg	Vue de l'enduit sur le mur		10.060	NO	Milan
2018	Edificio central	100_3147	jpg	Vue de l'enduit sur le mur (senza ardesia)		10.060	NO	Milan
2018	Edificio central	100_3148	jpg	Vue générale du sondage E		10.074	N	Milan
2018	Edificio central	100_3149	jpg	Vue générale du sondage E		10.074	N	Milan
2018	Edificio central	100_3150	jpg	Vue générale du sondage E		10.074	N	Milan
2018	Edificio central	100_3151	jpg	Vue de l'élargissement du sondage 10.000D	D	10.000	O	Milan
2018	Edificio central	100_3152	jpg	Vue de l'élargissement du sondage 10.000D	D	10.000		Milan
2018	Edificio central	100_3153	jpg	Vue de l'élargissement du sondage 10.000D	D	10.000		Milan

SECTEUR « ACROPOLE MÉRIDIONALE »

Inventaire des photographies numériques

Code d'inventaire

Année	Secteur	Num	Format	Légende	Locus	Us	Orientation	Auteur
2018	édifice central	100_3154	jpg	Vue de l'élargissement du sondage 10.000D	D	10.000		Milan
2018	édifice central	100_3155	jpg	Vue de l'élargissement du sondage 10.000D	D	10.000		Milan
2018	édifice central	100_3159	jpg	Vue du sondage 10.000B1	B	10.073		Marie-Anaïa
2018	édifice central	100_3160	jpg	Vue du sondage 10.000B1	B	10.073		Marie-Anaïa
2018	édifice central	IMGP4575	jpg	Vue de la tombe 10.055/10.039 après fouille		10.055	S	Fred
2018	édifice central	IMGP4576	jpg	Vue de la tombe 10.055/10.039 après fouille		10.055	S	Fred
2018	édifice central	IMGP4577	jpg	Vue de la tombe 10.055/10.039 après fouille		10.055	E	Fred
2018	édifice central	IMGP4578	jpg	Vue de la tombe 10.055/10.039 après fouille		10.055	Zénithale	Fred
2018	édifice central	IMGP4579	jpg	Mur (?) 10.078 apparu en fond de fouille		10.078	S	Fred
2018	édifice central	IMGP4580	jpg	Mur (?) 10.078 apparu en fond de fouille		10.078	O	Fred
2018	édifice central	IMGP4581	jpg	Mur (?) 10.078 apparu en fond de fouille		10.078	SO	Fred
2018	édifice central	IMGP4582	jpg	Vue d'ensemble du mur 10.053		10.053	E	Fred
2018	édifice central	IMGP4583	jpg	Vue d'ensemble du mur 10.053		10.053	E	Fred
2018	édifice central	IMGP4584	jpg	Vue zénithale de la moitié est du mur 10.053		10.053	Zénithale	Fred
2018	édifice central	IMGP4585	jpg	Vue zénithale du mur 10.053		10.053	Zénithale	Fred
2018	édifice central	IMGP4586	jpg	Coupe SN du mur 10.053		10.053	E	Fred
2018	édifice central	IMGP4587	jpg	Coupe SN du mur 10.053 et de la zone au nord de celui-ci		10.053	E	Fred
2018	pointe nord	DSO02846	jpg	Décapage en cours		40.000	E	SM
2018	pointe nord	DSO02847	jpg	Ambiance				SM
2018	pointe nord	DSO02849	jpg	Décapage en cours		40.000	O	SM
2018	pointe nord	DSO02850	jpg	Décapage en cours (détails)		40.000	O	SM
2018	pointe nord	DSO02851	jpg	Décapage en cours (détails)		40.000	O	SM
2018	pointe nord	DSO02852	jpg	Décapage en cours (détails sans ardoise)		40.000	O	SM
2018	pointe nord	DSO02859	jpg	Céramique en contexte		40.001	E	SM
2018	pointe nord	DSO02873	jpg	Poids en contexte		40.001	E	SM
2018	pointe nord	DSO02874	jpg	Poids en contexte		40.001	E	SM
2018	pointe nord	DSO02875	jpg	Poids en contexte		40.001	E	SM
2018	pointe nord	DSO02876	jpg	Verre en contexte		40.004	E	SM
2018	pointe nord	DSO02877	jpg	Verre en contexte		40.004	E	SM
2018	pointe nord	DSO02878	jpg	Verre en contexte		40.004	E	SM
2018	pointe nord	DSO02879	jpg	Monnaie en contexte		40.004	E	SM
2018	pointe nord	DSO02880	jpg	Monnaie en contexte		40.004	E	SM
2018	pointe nord	DSO02881	jpg	Monnaie en contexte		40.004	E	SM

SECTEUR « ACROPOLE MÉRIDIONALE »

Inventaire des photographies numériques

Code d'inventaire

Année	Secteur	Num	Format	Légende	Locus	Us	Orientation	Auteur
2018	pointe nord	DSO02883	jpg	Vue d'ensemble de l'us 40.002		40.002	N	SM
2018	pointe nord	DSO02884	jpg	Vue d'ensemble de l'us 40.002 (sans ardoise)		40.002	N	SM
2018	pointe nord	DSO02885	jpg	Vue générale du sondage en cours		néant	E	SM
2018	pointe nord	DSO02886	jpg	Vue générale du sondage en cours		néant	E	SM
2018	pointe nord	DSO02887	jpg	Vue générale du sondage en cours		néant	E	SM
2018	pointe nord	DSO02889	jpg	Vue d'ensemble de l'us 40.002		40.002	E	SM
2018	pointe nord	DSO02890	jpg	Vue d'ensemble de l'us 40.002 (sans ardoise)		40.002	E	SM
2018	pointe nord	DSO02891	jpg	Vue d'ensemble de l'us 40.002		40.002	S	SM
2018	pointe nord	DSO02892	jpg	Vue d'ensemble de l'us 40.002 (sans ardoise)		40.002	S	SM
2018	pointe nord	DSO02893	jpg	Peson en contexte		40.001	E	SM
2018	pointe nord	DSO02894	jpg	Peson en contexte		40.001	E	SM
2018	pointe nord	DSO02895	jpg	Peson en contexte (sans ardoise)		40.001	E	SM
2018	pointe nord	DSO02896	jpg	Céramique en contexte		40.004	S	SM
2018	pointe nord	DSO02897	jpg	Céramique en contexte		40.004	S	SM
2018	pointe nord	DSO02898	jpg	Céramique en contexte		40.004	S	SM
2018	pointe nord	DSO02899	jpg	Céramique en contexte		40.004	E	SM
2018	pointe nord	DSO02900	jpg	Céramique en contexte		40.004	E	SM
2018	pointe nord	DSO02901	jpg	Céramique en contexte (sans ardoise)		40.004	E	SM
2018	pointe nord	DSO02902	jpg	Vue partielle us 40.004		40.004	E	SM
2018	pointe nord	DSO02903	jpg	Vue partielle de l'us 40.004		40.004	N	SM
2018	pointe nord	DSO02904	jpg	Vue de l'us 40.004 (sans ardoise)		40.004	N	SM
2018	pointe nord	DSO02912	jpg	Vue partielle de l'us 40.004		40.004	E	SM
2018	pointe nord	DSO02913	jpg	Vue partielle de l'us 40.004 (sans ardoise)		40.004	E	SM
2018	pointe nord	DSO02914	jpg	Vue générale du sondage en cours		Generale	E	SM
2018	pointe nord	DSO02915	jpg	Vue de l'us 40.002		40.002	E	SM
2018	pointe nord	DSO02916	jpg	Vue de l'us 40.002 (sans ardoise)		40.002	E	SM
2018	pointe nord	DSO02919	jpg	Ambiance				SM
2018	pointe nord	DSO02920	jpg	Ambiance				SM
2018	pointe nord	DSO02925	jpg	Vue d'ensemble de l'us 40.002		40.002	O	SM
2018	pointe nord	DSO02926	jpg	Vue d'ensemble de l'us 40.002 (sans ardoise)		40.002	O	SM
2018	pointe nord	DSO02927	jpg	Vue d'ensemble de l'us 40.002		40.002	S	SM
2018	pointe nord	DSO02928	jpg	Vue d'ensemble de l'us 40.002 (sans ardoise)		40.002	S	SM
2018	pointe nord	DSO02929	jpg	Vue générale du sondage en cours		Generale	O	SM

SECTEUR « ACROPOLE MÉRIDIONALE »

Inventaire des photographies numériques

Code d'inventaire

Année	Secteur	Num	Format	Légende	Locus	Us	Orientation	Auteur
2018	pointe nord	DSC02930	jpg	Bords de l'us 40.005		40.005	E	SM
2018	pointe nord	DSC02931	jpg	Bords de l'us 40.005 (sans ardoise)		40.005	E	SM
2018	pointe nord	DSC02932	jpg	Bords de l'us 40.005		40.005	O	SM
2018	pointe nord	DSC02933	jpg	Bords de l'us 40.005 (sans ardoise)		40.005	O	SM
2018	pointe nord	DSC02934	jpg	Citerne, vue du bord		40.007	Zénithale	SM
2018	pointe nord	DSC02935	jpg	Citerne, vue du bord		40.007	NE	SM
2018	pointe nord	DSC02937	jpg	Citerne, vue du bord (sans ardoise)		40.007	Zénithale	SM
2018	pointe nord	DSC02938	jpg	Nouvelle couche (40.008) du comblement de la citerne 40.007		40.008	Zénithale	SM
2018	pointe nord	DSC02939	jpg	Nouvelle couche (40.008) du comblement de la citerne 40.007 (sans ardoise)		40.008	Zénithale	SM
2018	pointe nord	DSC02940	jpg	Vue de l'us 40.006 déblayée		40.006	E	SM
2018	pointe nord	DSC02941	jpg	Vue de l'us 40.006 déblayée (sans ardoise)		40.006	E	SM
2018	pointe nord	DSC02944	jpg	Vue zénithale du comblement de la citerne 40.007 en cours de déblaiement		40 006 40 008	E	SM
2018	pointe nord	DSC02947	jpg	Vue zénithale du comblement de la citerne 40.007 en cours de déblaiement (sans ardoise)		40 006 40 008	E	SM
2018	bâtiment quadr.	100_3016	jpg	Vue générale du monument		50.003	E	Michela
2018	bâtiment quadr.	100_3017	jpg	Vue générale du monument		50.002	N	Michela
2018	bâtiment quadr.	100_3018	jpg	Vue générale du monument		50.001	N-O	Michela
2018	bâtiment quadr.	100_3019	jpg	Vue générale du monument		50.001	O	Michela
2018	bâtiment quadr.	100_3020	jpg	Vue générale du monument		50.001	S-O	Michela
2018	bâtiment quadr.	100_3021	jpg	Vue générale du monument		50.004	S	Michela
2018	bâtiment quadr.	100_3022	jpg	Vue générale du monument		50.000	S	Michela
2018	bâtiment quadr.	100_3023	jpg	Vue générale du monument		50.000	E	Michela
2018	bâtiment quadr.	100_3024	jpg	Ambiance				Juliette
2018	bâtiment quadr.	100_3025	jpg	Ambiance				Anis
2018	bâtiment quadr.	100_3029	jpg	Vue du mur de soutènement 50.003		50.003	E	Brian
2018	bâtiment quadr.	100_3030	jpg	Vue du mur de soutènement 50.003		50.003	E	Brian
2018	bâtiment quadr.	100_3031	jpg	Vue du mur de soutènement 50.003 sans rien		50.003	E	Brian
2018	bâtiment quadr.	100_3032	jpg	Vue du mur de soutènement 50.003 sans rien		50.003	E	Brian
2018	bâtiment quadr.	100_3042	jpg	Nettoyage dans l'ébouli du mur sud		50.002	N	Jimmy
2018	bâtiment quadr.	100_3043	jpg	Nettoyage dans l'ébouli du mur sud sans rien		50.002	N	Jimmy
2018	bâtiment quadr.	100_3048	jpg	Nettoyage de la couche sous l'ébouli 50.002 Erreur numéro		à définir	N	Jimmy
2018	bâtiment quadr.	100_3049	jpg	Nettoyage de la couche sous l'ébouli 50.002 Erreur numéro		à définir	N	Jimmy
2018	bâtiment quadr.	100_3050	jpg	Nettoyage de la couche sous l'ébouli 50.002		à définir	N	Jimmy
2018	bâtiment quadr.	100_3051	jpg	Nettoyage de la couche sous l'ébouli 50.002		à définir	N	Jimmy

SECTEUR « ACROPOLE MÉRIDIONALE »

Inventaire des photographies numériques

Code d'inventaire

Année	Secteur	Num	Format	Légende	Locus	Us	Orientation	Auteur
2018	bâtiment quadr.	100_3052	jpg	Sédiment à la base de l'ébouli 50.002		50.002	N	Jimmy
2018	bâtiment quadr.	100_3053	jpg	Sédiment à la base de l'ébouli 50.002		50.002	N	Jimmy
2018	bâtiment quadr.	100_3054	jpg	Sédiment à la base de l'ébouli 50.002 (sans ardoise)		50.002	N	Jimmy
2018	bâtiment quadr.	100_3055	jpg	Sédiment à la base de l'ébouli 50.002 (sans ardoise)		50.002	N	Jimmy
2018	bâtiment quadr.	100_3075	jpg	Nettoyage de la couche 50.005 sous l'ébouli 50.002		50.005	N	Jimmy
2018	bâtiment quadr.	100_3076	jpg	Nettoyage de la couche sous l'ébouli 50.002		50.005	N	Jimmy
2018	bâtiment quadr.	100_3077	jpg	Sédiment à la base de l'ébouli 50.002		50.002	N	Jimmy
2018	bâtiment quadr.	100_3078	jpg	Ambiance				Jimmy
2018	bâtiment quadr.	100_3079	jpg	Ambiance				Jimmy
2018	bâtiment quadr.	100_3098	jpg	Sommet de l'us 50.002		50.002	N	Jimmy
2018	bâtiment quadr.	100_3099	jpg	Sommet de l'us 50.002 (sans la règle)		50.002	N	Jimmy
2018	bâtiment quadr.	100_3100	jpg	Sommet de l'us 50.005		50.005	N	Jimmy
2018	bâtiment quadr.	100_3101	jpg	Sommet de l'us 50.005		50.005	NO	Jimmy
2018	bâtiment quadr.	100_3102	jpg	Sommet de l'us 50.001		50.001	O	Jimmy
2018	bâtiment quadr.	100_3104	jpg	Seuil dans le mur 50.007		50.007	O	Jimmy
2018	bâtiment quadr.	100_3105	jpg	Couche de destruction 50.000		50.000	O	Jimmy
2018	bâtiment quadr.	100_3106	jpg	Aménagement à l'intérieur du bâtiment		50.010	SO	Jimmy
2018	bâtiment quadr.	100_3107	jpg	Aménagement à l'intérieur du bâtiment		50.010	S	Jimmy
2018	bâtiment quadr.	100_3108	jpg	Structure 50.011 avant la fouille		50.011	O	Jimmy
2018	bâtiment quadr.	100_3109	jpg	Vue d'ensemble de l'us 50.012		50.012	O	Jimmy
2018	bâtiment quadr.	100_3110	jpg	Vue d'ensemble de l'us 50.012		50.012	NO	Jimmy
2018	bâtiment quadr.	100_3111	jpg	Vue d'ensemble de l'us 50.004		50.004	SO	Jimmy
2018	bâtiment quadr.	100_3112	jpg	Vue d'ensemble de l'us 50.004		50.004	SO	Jimmy
2018	bâtiment quadr.	100_3118	jpg	Ouverture du sondage dans le bâtiment		50.000	O	Jimmy
2018	bâtiment quadr.	100_3119	jpg	Ouverture du sondage dans le bâtiment		50.000	O	Jimmy
2018	bâtiment quadr.	100_3129	jpg	Niveau de sol à l'intérieur du bâtiment, dernière occupation		50.013	N	Jimmy
2018	bâtiment quadr.	100_3130	jpg	Niveau de sol à l'intérieur du bâtiment, dernière occupation		50.013	O	Jimmy
2018	bâtiment quadr.	100_3140	jpg	Vue d'ensemble de l'aménagement 50.010		50.010	SE	Jimmy
2018	bâtiment quadr.	100_3141	jpg	Vue de détails de l'aménagement 50.010		50.010	S	Jimmy
2018	bâtiment quadr.	100_3142	jpg	Vue de détails de l'aménagement 50.011		50.011	E	Jimmy
2018	bâtiment quadr.	100_3143	jpg	Sol du bâtiment		50.013	E	Jimmy
2018	bâtiment quadr.	100_3144	jpg	Détails du sol du bâtiment		50.013	E	Jimmy
2018	bâtiment quadr.	100_3145	jpg	Sol au niveau du seuil du bâtiment		50.014	E	Jimmy

SECTEUR « AU SUD DE L'AGORA »

Inventaire des photographies numériques

Code d'inventaire

Année	Secteur	Num	Format	Légende	Locus	Us	Orientation	Auteur
2018	Agora	IMG2607	jpg	Vue générale du remblai 20.051 sur le mur 20.050	20.050 à 51	S1	N	Alicia
2018	Agora	IMG2609	jpg	Vue générale du remblai 20.051 sur le mur 20.050	20.050 à 51	S1	O	Alicia
2018	Agora	IMG2613	jpg	Fouille en cours (locus 1) contre le mur 20.050	20.050	S1	O	Alicia
2018	Agora	IMG2614	jpg	Fouille en cours (locus 1) contre le mur 20.050 (sans ardoise)	20.050	S1	O	Alicia
2018	Agora	IMG2813	jpg	Coupe stratigraphique nord, berme nord		S1	N	Juliette
2018	Agora	IMG2814	jpg	Coupe stratigraphique nord, berme nord		S1	N	Juliette
2018	Agora	IMG2815	jpg	Coupe stratigraphique nord, berme nord		S1	N	Juliette
2018	Agora	IMG2816	jpg	Coupe stratigraphique nord, berme nord		S1	N	Juliette
2018	Agora	IMG2817	jpg	Coupe stratigraphique nord, berme nord		S1	N	Juliette
2018	Agora	IMG2818	jpg	Vue d'ensemble du secteur au sud de l'Agora à la fin du décapage		S1-S4	S	Fred
2018	Agora	IMG2819	jpg	Vue d'ensemble du secteur au sud de l'Agora à la fin du décapage		S1-S4	SE	Fred
2018	Agora	IMG2820	jpg	Vue d'ensemble du secteur au sud de l'Agora à la fin du décapage		S1-S4	E	Fred
2018	Agora	IMG2821	jpg	Vue d'ensemble du secteur au sud de l'Agora à la fin du décapage		S1-S4	S	Fred
2018	Agora	IMG2822	jpg	Vue d'ensemble du secteur au sud de l'Agora à la fin du décapage		S1-S4	S	Fred
2018	Agora	IMG2823	jpg	Vue d'ensemble du secteur au sud de l'Agora à la fin du décapage		S1-S4	SO	Fred
2018	Agora	IMG2824	jpg	Vue d'ensemble du secteur au sud de l'Agora à la fin du décapage		S1-S4	O	Fred
2018	Agora	IMG2895	jpg	Traces de sous-solage sur la coupe O/E du secteur 2		S2	N	
2018	Agora	IMG2897	jpg	Coupe de la partie ouest de la berme nord, secteur 3		S3	N	Juliette
2018	Agora	IMG3000	jpg	Vue générale du secteur 4		S4	O	Juliette
2018	Agora	IMG3001	jpg	Vue générale du secteur 4		S4	O	Juliette
2018	Agora	IMG3002	jpg	Coupe ouest, secteur 4		S4	O	Juliette
2018	Agora	IMG3003	jpg	Coupe ouest, secteur 4		S4	O	Juliette
2018	Agora	IMG3004	jpg	Coupe de la partie ouest, berme nord, secteur 4		S4	N	Juliette
2018	Agora	IMG3005	jpg	Coupe de la partie centrale berme nord, secteur 4		S4	N	Juliette
2018	Agora	IMG3006	jpg	Coupe de la partie orientale berme nord, secteur 4		S4	N	Juliette
2018	Agora	IMG3007	jpg	Coupe de la partie orientale berme nord, secteur 4		S4	N	Juliette
2018	Agora	IMG3008	jpg	Coupe de la partie centrale berme nord, secteur 4		S4	N	Juliette
2018	Agora	IMG3009	jpg	Coupe Ouest, secteur 3		S3	O	Juliette
2018	Agora	IMG3010	jpg	Coupe Ouest, secteur 3		S3	O	Juliette
2018	Agora	IMG3011	jpg	Coupe de la partie centrale de la berme nord, secteur 2		S2	N	Juliette
2018	Agora	IMG3012	jpg	Coupe de la partie centrale de la berme nord, secteur 2		S2	N	Juliette
2018	Agora	IMG3013	jpg	Coupe de la partie occidentale de la berme nord, secteur 2		S2	N	Juliette
2018	Agora	IMG3014	jpg	Coupe de la partie occidentale de la berme nord, secteur 2		S2	N	Juliette
2018	Agora	IMG3015	jpg	Coupe de la partie occidentale de la berme nord, secteur 1		S1	N	Juliette
2018	Agora	IMG3016	jpg	Coupe de la partie occidentale de la berme nord, secteur 1		S1	N	Juliette
2018	Agora	IMG3017	jpg	Coupe de la partie centrale de la berme nord, secteur 1		S1	N	Juliette
2018	Agora	IMG3018	jpg	Coupe de la partie centrale de la berme nord, secteur 1		S1	N	Juliette
2018	Agora	IMG3019	jpg	Coupe Ouest, secteur 1		S1	O	Juliette
2018	Agora	IMG3020	jpg	Coupe Ouest, secteur 1		S1	O	Juliette
2018	Agora	IMG3021	jpg	Mur USc 20055, secteur 1	USc 20055	S1	O	Juliette
2018	Agora	IMG3022	jpg	Mur USc 20055, secteur 1	USc 20055	S1	O	Juliette
2018	Agora	IMG3023	jpg	Mur USc 20054, secteur 1	USc 20054	S1	N	Juliette
2018	Agora	IMG3024	jpg	Mur USc 20054, secteur 1	USc 20054	S1	N	Juliette
2018	Agora	IMG3025	jpg	Coupe de la partie occidentale de la berme nord, secteur 1	US 20000 US 20052 USC 20054	S1	N	Juliette

SECTEUR « AU SUD DE L'AGORA »

Inventaire des photographies numériques

Code d'inventaire

Année	Secteur	Num	Format	Légende	Locus	Us	Orientation	Auteur
2018	Agora	IMGP3026	jpg	Coupe de la partie occidentale de la berme nord, secteur 1	US 20000 US 20052 USC 20054	S1	N	Juliette
2018	Agora	IMGP3027	jpg	Angle NO, secteur 1	US 20000 US 20052 USC 20054 USc 20055	S1	NO	Juliette
2018	Agora	IMGP3028	jpg	Angle NO, secteur 1	US 20000 US 20052 USC 20054 USc 20055	S1	NO	Juliette
2018	Agora	IMGP3029	jpg	Vue générale, secteur 3		S3	O	Juliette
2018	Agora	IMGP3030	jpg	Vue générale, secteur 3		S3	O	Juliette
2018	Agora	IMGP3031	jpg	Vue générale, secteur 1		S1	O	Juliette
2018	Agora	IMGP3032	jpg	Vue générale, secteur 1		S1	O	Juliette
2018	Agora	IMGP3037	jpg	Coupe de la partie centrale de la berme nord, secteur 2 - sous-solage		S2	N	Juliette
2018	Agora	IMGP3038	jpg	Coupe de la partie occidentale de la berme nord, secteur 2		S2	N	Juliette
2018	Agora	IMGP3039	jpg	Coupe de la partie occidentale de la berme nord, secteur 2		S2	N	Juliette
2018	Agora	IMGP3040	jpg	Coupe de la partie centrale de la berme nord, secteur 2 - sous-solage		S2	N	Juliette
2018	Agora	IMGP3041	jpg	Coupe de la partie centrale de la berme nord, secteur 2 - sous-solage		S2	N	Juliette
2018	Agora	IMGP3042	jpg	Coupe de la partie centrale de la berme nord, secteur 2 - sous-solage		S2	N	Juliette
2018	Agora	IMG_5733	jpg	Couche US 20063, secteur 3 contre la berme nord	US 20063	S3	N	Vincent
2018	Agora	IMG_5735	jpg	Couche US 20063, secteur 3 contre la berme nord	US 20063	S3	N	Vincent
2018	Agora	IMG_0001	jpg	Sol en mortier de tuileau	US 20067	S3	O	Juliette
2018	Agora	IMG_0002	jpg	Sol en mortier de tuileau	US 20067	S3	O	Juliette
2018	Agora	IMG_0004	jpg	Mur en pierre, orienté nord-sud	USc 20022	S3	O	Juliette
2018	Agora	IMG_0005	jpg	Mur en pierre, orienté nord-sud	USc 20022	S3	O	Juliette
2018	Agora	IMG_0006	jpg	Mur en pierre, orienté nord-sud	USc 20022	S3	O	Juliette
2018	Agora	IMG_0010	jpg	Sol dallé en terre cuite	USc 20064	S3	O	Juliette
2018	Agora	IMG_0011	jpg	Sol dallé en terre cuite	USc 20064	S3	O	Juliette
2018	Agora	IMG_0012	jpg	Mur de cloisonnement, est-ouest, brique	USc 20066	S3	N	Juliette
2018	Agora	IMG_0013	jpg	Mur de cloisonnement, est-ouest, brique	USc 20066	S3	N	Juliette
2018	Agora	IMG_0014	jpg	Couche de terre	US 20065	S3	N	Juliette
2018	Agora	IMG_0015	jpg	Couche de terre	US 20065	S3	N	Juliette
2018	Agora	IMG_0016	jpg	Sol en mortier de tuileau	US 20067	S3	O	Juliette
2018	Agora	IMG_0018	jpg	Mur de cloisonnement, est-ouest, brique	USc 20066	S3	N	Juliette
2018	Agora	IMG_0019	jpg	Mur de cloisonnement, est-ouest, brique	USc 20066	S3	N	Juliette

SECTEUR « AU SUD DE L'AGORA »

Inventaire des photographies numériques

Code d'inventaire

Année	Secteur	Num	Format	Légende	Locus	Us	Orientation	Auteur
2018	Agora	IMG_0022	jpg	Sol en mortier de tuileau	US 20067	S3	O	Juliette
2018	Agora	IMG_0024	jpg	Sol en mortier de tuileau	US 20067	S3	O	Juliette
2018	Agora	IMG_0026	jpg	Mur de cloisonnement, est-ouest, brique	USc 20066	S3	O	Juliette
2018	Agora	IMG_0027	jpg	Mur de cloisonnement, est-ouest, brique	USc 20066	S3	O	Juliette
2018	Agora	IMG_0028	jpg	Mur de cloisonnement, est-ouest, brique	USc 20066	S3	N	Juliette
2018	Agora	IMG_0029	jpg	Mur de cloisonnement, est-ouest, brique	USc 20066	S3	N	Juliette
2018	Agora	IMG_0032	jpg	Mur en pierre, orienté nord-sud	USc 20068	S3	O	Juliette
2018	Agora	IMG_0033	jpg	Mur en pierre, orienté nord-sud	USc 20068	S3	O	Juliette
2018	Agora	IMG_0036	jpg	Sondage 3.1 - contre le mur USc 20022		S3	O	Juliette
2018	Agora	IMG_0037	jpg	Sondage 3.1 - contre le mur USc 20022		S3	O	Juliette
2018	Agora	IMG_0038	jpg	Sondage 3.1 - contre le mur USc 20022		S3	O	Juliette
2018	Agora	IMG_0041	jpg	Couche de terre limoneuse, remblai recouvrant le mur USc 20022.	US 20075	S4	O	Juliette
2018	Agora	IMG_0042	jpg	Couche de terre limoneuse, remblai recouvrant le mur USc 20022.	US 20075 USc 20022	S4	O	Juliette
2018	Agora	IMG_0044	jpg	Couche de terre limoneuse, remblai recouvrant le mur USc 20022.	US 20075 USc 20022	S4	O	Juliette
2018	Agora	IMG_0045	jpg	Couche de terre limoneuse, remblai recouvrant le mur USc 20022.	US 20075 USc 20022	S4	O	Juliette
2018	Agora	IMG_0046	jpg	Couche de terre très compacte, au-dessus du niveau de mortier de tuileau (20064).	US 20065	S3	O	Juliette
2018	Agora	IMG_0047	jpg	Couche de terre très compacte, au-dessus du niveau de mortier de tuileau (20064).	US 20065	S3	O	Juliette
2018	Agora	IMG_0048	jpg	Coupe de la partie centrale de la berme nord, secteur 2 - sous-solage		S2	N	Juliette
2018	Agora	IMG_0049	jpg	Coupe de la partie ouest de la berme nord, secteur 2 - sous-solage		S2	N	Juliette
2018	Agora	IMG_0050	jpg	Coupe de la partie ouest de la berme nord, secteur 2		S2	N	Juliette
2018	Agora	IMG_0051	jpg	Coupe de la partie ouest de la berme nord, secteur 2 - sous-solage		S2	N	Juliette
2018	Agora	IMG_0052	jpg	Coupe de la partie centrale de la berme nord, secteur 2 - sous-solage		S2	N	Juliette
2018	Agora	IMG_0053	jpg	Coupe de la partie centrale de la berme nord, secteur 2 - sous-solage		S2	N	Juliette
2018	Agora	IMG_0054	jpg	Surface de la couche de terre limoneuse avec inclusion de TCA	US 20075	S4	S	Juliette
2018	Agora	IMG_0055	jpg	Surface de la couche de terre limoneuse avec inclusion de TCA	US 20075	S4	S	Juliette
2018	Agora	IMG_0056	jpg	Surface de la couche de terre limoneuse avec inclusion de TCA	US 20075	S4	S	Juliette
2018	Agora	IMG_0057	jpg	Surface de la couche de terre limoneuse avec inclusion de TCA	US 20075	S4	S	Juliette
2018	Agora	IMG_0059	jpg	Sondage 3.1 - contre le mur USc 20022		S3	O	Juliette
2018	Agora	IMG_0060	jpg	Sondage 3.1 - contre le mur USc 20022		S3	O	Juliette
2018	Agora	IMG_0061	jpg	Sondage 3.1 - contre le mur USc 20022		S3	O	Juliette
2018	Agora	IMG_0062	jpg	Sondage 3.1 - contre le mur USc 20022		S3	O	Juliette
2018	Agora	IMG_0063	jpg	Sondage 3.1 - contre le mur USc 20022		S3	O	Juliette
2018	Agora	IMG_0064	jpg	Surface de la couche de terre limoneuse avec inclusion de TCA recouvrant le mur USc 20022	US 20075	S4	S	Juliette
2018	Agora	IMG_0065	jpg	Surface de la couche de terre limoneuse avec inclusion de TCA recouvrant le mur USc 20022	US 20075	S4	S	Juliette

SECTEUR « AU SUD DE L'AGORA »

Inventaire des photographies numériques

Code d'inventaire

Année	Secteur	Num	Format	Légende	Locus	Us	Orientation	Auteur
2018	Agora	IMG_0066	jpg	Nettoyage du sol enduit rouge	US 20078	S3	N	Juliette
2018	Agora	IMG_0120	jpg	Sol en mortier de tuileau	US 20084	S4	O	Juliette
2018	Agora	IMG_0121	jpg	Sol en mortier de tuileau	US 20084	S4	O	Juliette
2018	Agora	IMG_0122	jpg	Alignement de blocs, coupe ouest	US 20071	S4	O	Juliette
2018	Agora	IMG_0123	jpg	Alignement de blocs, coupe ouest	US 20071	S4	O	Juliette
2018	Agora	IMG_0124	jpg	Mur à double parement, orienté est-ouest	USc 20072	S4	N	Juliette
2018	Agora	IMG_0125	jpg	Mur à double parement, orienté est-ouest	USc 20072	S4	N	Juliette
2018	Agora	IMG_0126	jpg	Mur à double parement, orienté est-ouest	USc 20074	S4	N	Juliette
2018	Agora	IMG_0127	jpg	Mur à double parement, orienté est-ouest	USc 20074	S4	N	Juliette
2018	Agora	IMG_0128	jpg	Seuil de porte, mur USc 20066	USc 20076	S3	N	Juliette
2018	Agora	IMG_0129	jpg	Seuil de porte, mur USc 20066	USc 20076	S3	N	Juliette
2018	Agora	IMG_0131	jpg	Mur de cloisonnement, est-ouest, brique	USc 20066	S3	N	Juliette
2018	Agora	IMG_0132	jpg	Mur de cloisonnement, est-ouest, brique	USc 20066	S3	N	Juliette
2018	Agora	IMG_0133	jpg	Sol à enduit rouge	USc 20078	S3	O	Juliette
2018	Agora	IMG_0134	jpg	Sol à enduit rouge	USc 20078	S3	O	Juliette
2018	Agora	IMG_0135	jpg	Vue générale, secteur 3		S3	O	Juliette
2018	Agora	IMG_0138	jpg	Mur à double parement, orienté est-ouest	USc 20072	S4	N	Vincent
2018	Agora	IMG_0139	jpg	Mur à double parement, orienté est-ouest	USc 20072	S4	N	Vincent
2018	Agora	IMG_0141	jpg	Vue générale - Pièce ?	USc 20071, USc 20072, USc 20073	S4	Vue aérienne	Vincent
2018	Agora	IMG_0142	jpg	Vue générale - Pièce ?	USc 20071, USc 20072, USc 20073	S4	Vue aérienne	Vincent
2018	Agora	IMG_0143	jpg	Mur à double parement, orienté est-ouest	USc 20072	S4	N	Vincent
2018	Agora	IMG_0148	jpg	Mur orienté nord-sud	USc 20022	S4	O	Vincent
2018	Agora	IMG_0149	jpg	Mur orienté nord-sud	USc 20022	S4	O	Vincent
2018	Agora	IMG_0150	jpg	Mur orienté nord-sud	USc 20022	S4	O	Vincent
2018	Agora	IMG_0151	jpg	Mur orienté nord-sud	USc 20022	S4	O	Vincent
2018	Agora	IMG_0152	jpg	Vue générale, secteur 4		S4	O	Vincent
2018	Agora	IMG_0153	jpg	Vue générale, secteur 4		S4	O	Vincent
2018	Agora	IMG_0154	jpg	Vue générale, secteur 3		S3	O	Vincent
2018	Agora	IMG_0155	jpg	Vue générale, secteur 3		S3	O	Vincent

SECTEUR « THÉÂTRE »

Inventaire des photographies numériques

Code d'inventaire

Année	Secteur	Num	Format	Légende	Locus	Us	Orientation	Auteur
2018	Théâtre	2521	jpg	Début du chantier sur le secteur A-D	A-D			FG
2018	Théâtre	2522	jpg	Début du chantier sur le secteur A-D	A-D			FG
2018	Théâtre	2523	jpg	Début du chantier sur le secteur A-D	A-D			FG
2018	Théâtre	2524	jpg	Début du chantier sur le secteur A-D	A-D			FG
2018	Théâtre	2552	jpg	Vue générale de la couche de remblai avant fouille	A-D	30007	S-N	TM
2018	Théâtre	2553	jpg	Vue générale de la couche de remblai avant fouille	A-D	30007	S-N	TM
2018	Théâtre	2556	jpg	Vue générale de la couche de remblai avant fouille	A-D	30007	O-E	TM
2018	Théâtre	2557	jpg	Vue générale de la couche de remblai avant fouille	A-D	30007	O-E	TM
2018	Théâtre	2593	jpg	Canalisation et la seconde couche du comblement	A-D	30053	O-E	TM
2018	Théâtre	2594	jpg	Canalisation et la seconde couche du comblement	A-D	30053	O-E	TM
2018	Théâtre	2595	jpg	Détail TCA	A-D	30053	O-E	TM
2018	Théâtre	2596	jpg	Détail TCA	A-D	30053	O-E	TM
2018	Théâtre	2597	jpg	Vue d'ensemble de la canalisation	A-D	30053	O-E	TM
2018	Théâtre	2598	jpg	Vue d'ensemble de la canalisation	A-D	30053	O-E	TM
2018	Théâtre	2615	jpg	Vue du second comblement de la canalisation	A-D	30036	O-E	TM
2018	Théâtre	2616	jpg	Vue du second comblement de la canalisation	A-D	30036	O-E	TM
2018	Théâtre	2617	jpg	Détail du comblement	A-D	30036	N-S	TM
2018	Théâtre	2618	jpg	Détail du comblement	A-D	30036	N-S	TM
2018	Théâtre	2848	jpg	Ambiance				TM
2018	Théâtre	2849	jpg	Rempart				FG
2018	Théâtre	2850	jpg	Rempart				FG
2018	Théâtre	2851	jpg	Rempart				FG
2018	Théâtre	2852	jpg	Rempart				FG
2018	Théâtre	2853	jpg	Rempart				FG
2018	Théâtre	2854	jpg	Rempart				FG
2018	Théâtre	2855	jpg	Rempart				FG
2018	Théâtre	2856	jpg	Rempart				FG
2018	Théâtre	2857	jpg	Rempart				FG
2018	Théâtre	2858	jpg	Rempart				FG
2018	Théâtre	2859	jpg	Rempart				FG
2018	Théâtre	2860	jpg	Rempart				FG
2018	Théâtre	2861	jpg	Rempart				FG
2018	Théâtre	2862	jpg	Rempart				FG
2018	Théâtre	2863	jpg	Rempart				FG
2018	Théâtre	2886	jpg	Partie ouest du sondage E, avec les blocs architecturaux en lave noire	E			FG
2018	Théâtre	2887	jpg	Partie ouest du sondage E, avec les blocs architecturaux en lave noire	E			FG
2018	Théâtre	2888	jpg	Ambiance				FG
2018	Théâtre	2889	jpg	Vue d'ensemble de l'avancement du décapage du théâtre				FG
2018	Théâtre	2890	jpg	Vue d'ensemble de l'avancement du décapage du théâtre				FG
2018	Théâtre	2891	jpg	Vue d'ensemble de l'avancement du décapage du théâtre				FG
2018	Théâtre	2892	jpg	Vue d'ensemble du sondage AD avant le décapage mécanique	A-D			FG
2018	Théâtre	2893	jpg	Ouverture de la moitié supérieure de la grande tranchée	E		O	FG
2018	Théâtre	2894	jpg	Ouverture de la moitié supérieure de la grande tranchée	E		O	FG
2018	Théâtre	2898	jpg	Mini-pelle en train de creuser la grande tranchée	E		O	FG
2018	Théâtre	2899	jpg	Mini-pelle en train de creuser la grande tranchée	E		O	FG
2018	Théâtre	2965	jpg	Ambiance				FG
2018	Théâtre	2966	jpg	Ambiance				FG
2018	Théâtre	2967	jpg	Fin du creusement de la grande tranchée / Fine di scavare la grande trincea	E		O	FG
2018	Théâtre	2968	jpg	Vue générale de la grande tranchée / Vista generale della grande trincea	E		O	FG
2018	Théâtre	2969	jpg	Ambiance				FG
2018	Théâtre	2970	jpg	Début du désherbage de la moitié sud de la cavea			SO	FG

SECTEUR « THÉÂTRE »

Inventaire des photographies numériques

Code d'inventaire

Année	Secteur	Num	Format	Légende	Locus	Us	Orientation	Auteur
2018	Théâtre	2971	jpg	Nettoyage en cours du dallage marquant la limite sud de l'orchestra			NE	FG
2018	Théâtre	2972	jpg	Nettoyage en cours du dallage marquant la limite sud de l'orchestra			NE	FG
2018	Théâtre	2973	jpg	Vue d'ensemble du sondage AD après le décapage mécanique			E	FG
2018	Théâtre	2974	jpg	Vue d'ensemble de la grande tranchée à la fin du terrassement			O	FG
2018	Théâtre	2975	jpg	Nettoyage en cours du dallage marquant la limite sud de l'orchestra			E	FG
2018	Théâtre	2976	jpg	Vue générale de la stratigraphie dans la grande tranchée	E		E	FG
2018	Théâtre	2977	jpg	Vue générale de la stratigraphie dans la grande tranchée	E		E	FG
2018	Théâtre	2978	jpg	Vue générale de la stratigraphie dans la grande tranchée	E		E	FG
2018	Théâtre	2979	jpg	Vue générale de la stratigraphie dans la grande tranchée	E		E	FG
2018	Théâtre	2991	jpg	Ambiance				
2018	Théâtre	2992	jpg	Ambiance				
2018	Théâtre	2993	jpg	Ambiance				
2018	Théâtre	2994	jpg	Vue d'ensemble du théâtre lors de l'élargissement du sondage B				FG
2018	Théâtre	2995	jpg	Vue d'ensemble du théâtre lors de l'élargissement du sondage B				FG
2018	Théâtre	3044	jpg	Début du desherbage la moitié ouest de la cavea				FG
2018	Théâtre	3045	jpg	Début du desherbage la moitié ouest de la cavea				FG
2018	Théâtre	3046	jpg	Début du desherbage la moitié ouest de la cavea				FG
2018	Théâtre	3047	jpg	Début du desherbage la moitié ouest de la cavea				FG
2018	Théâtre	3048	jpg	Début du desherbage la moitié ouest de la cavea				FG
2018	Théâtre	3049	jpg	Début du desherbage la moitié ouest de la cavea				FG
2018	Théâtre	3058	jpg	Début du desherbage la moitié ouest de la cavea				FG
2018	Théâtre	3349	jpg	Début du desherbage la moitié ouest de la cavea				FG
2018	Théâtre	3350	jpg	Début du desherbage la moitié ouest de la cavea				FG
2018	Théâtre	3352	jpg	Fin de fouille du sondage AD contre le rempart	AD			TM
2018	Théâtre	3353	jpg	Bloc us 30.048 contre le parement interne du rempart	AD	30.048		TM
2018	Théâtre	3367	jpg	Vue de détail du sommet de l'us 30.048	AD	30.048		TM
2018	Théâtre	3368	jpg	Vue d'ensemble des éléments du mur de parodos	F			FG
2018	Théâtre	3369	jpg	Vue d'ensemble des éléments du mur de parodos	F			FG
2018	Théâtre	3370	jpg	Vue d'ensemble des éléments du mur de parodos (détails)	F			FG
2018	Théâtre	3371	jpg	Coupe O/E du sondage E	E		N	FG
2018	Théâtre	3372	jpg	Coupe O/E du sondage E (détails)	E		N	FG
2018	Théâtre	3373	jpg	Coupe O/E du sondage E (détails)	E		N	FG
2018	Théâtre	3374	jpg	Blocs du mur de parodos vus du dessus	E		N	FG
2018	Théâtre	3375	jpg	Blocs du mur de parodos vus du dessus	E		N	FG
2018	Théâtre	3376	jpg	Alignement des blocs du parodos	E		N	FG
2018	Théâtre	3377	jpg	Vue d'ensemble du sondage E	E		O	FG
2018	Théâtre	3378	jpg	Vue d'ensemble du sondage E	E		O	FG
2018	Théâtre	3379	jpg	Blocs du mur de parodos bas			O	FG
2018	Théâtre	3380	jpg	Blocs du mur de parodos bas			O	FG
2018	Théâtre	3381	jpg	Blocs du mur de parodos bas			SO	FG
2018	Théâtre	3382	jpg	Vue d'ensemble des deux niveaux de blocs formant le mur de parodos sud			O	FG
2018	Théâtre	3383	jpg	Vue d'ensemble du sondage E et de son environnement immédiat	E		SO	FG
2018	Théâtre	3384	jpg	Vue d'ensemble des deux niveaux de blocs formant le mur de parodos sud			O	FG
2018	Théâtre	3385	jpg	Vue d'ensemble des deux niveaux de blocs formant le mur de parodos sud			NO	FG
2018	Théâtre	3386	jpg	Vue d'ensemble des deux niveaux de blocs formant le mur de parodos sud			O	FG
2018	Théâtre	3395	jpg	Vue d'ensemble de la moitié sud de la cavea, topographie en cours			O	FG
2018	Théâtre	3396	jpg	Vue d'ensemble de la moitié sud de la cavea, topographie en cours			S	FG
2018	Théâtre	3397	jpg	Vue d'ensemble de la moitié sud de la cavea, topographie en cours			SO	FG

SECTEUR « THÉÂTRE »

Inventaire des photographies numériques

Code d'inventaire

Année	Secteur	Num	Format	Légende	Locus	Us	Orientation	Auteur
2018	Théâtre	3398	jpg	Dégagement des gradins en cours dans le sondage B	B		O	FG
2018	Théâtre	3465	jpg	Bloc de calcarénite (faux tuff) us 30.046 correspondant à un fragment de siège encore en place sur le substrat taillé en gradins	E	30.046	E	FG
2018	Théâtre	3466	jpg	Bloc de calcarénite (faux tuff) us 30.046 correspondant à un fragment de siège encore en place sur le substrat taillé en gradins	E	30.046	E	FG
2018	Théâtre	3467	jpg	Vue d'ensemble de la moitié orientale du sondage E, vue depuis l'intérieur de la tranchée	E		E	FG
2018	Théâtre	3468	jpg	Vue d'ensemble de la moitié occidentale du sondage E, vue depuis l'intérieur de la tranchée	E		O	FG
2018	Théâtre	3469	jpg	Fragments de calcarénite (faux tuff) dans la coupe du sondage E.	E	30.044	O	FG
2018	Théâtre	3470	jpg	Racines d'arbre calcinées dans l'épaisseur du remblai us 30.042	E	30.042	S	FG
2018	Théâtre	3471	jpg	Vue de détails des racines d'arbre calcinées dans l'épaisseur du remblai us 30.042	E	30.042	S	FG
2018	Théâtre	3472	jpg	Substrat (marne argileuse) observé dans la partie haute de la tranchée E	E	30.045	O	FG
2018	Théâtre	3473	jpg	Vue de détails des éclats de marne argileuse dans le substrat de la tranchée E	E	30.045	O	FG
2018	Théâtre	3474	jpg	Vue de détails des éclats de marne argileuse dans le substrat de la tranchée E	E	30.045	O	FG
2018	Théâtre	3475	jpg	Vue d'ensemble de la coupe S/N dans la partie haute du sondage E	E	30.041 30.042 30.045	O	FG
2018	Théâtre	3476	jpg	Vue de détails du contact entre les remblais 30.042 et le substrat 30.045	E	30.042 30.045	O	FG
2018	Théâtre	3477	jpg	Coupe O/E du sondage E, vue partielle du gros remblai caillouteux 30.044	E	30.044	NE	FG
2018	Théâtre	3478	jpg	Coupe O/E du sondage E, vue partielle du gros remblai caillouteux 30.044	E	30.044	NE	FG
2018	Théâtre	3479	jpg	Coupe E/O du sondage E, vue partielle du gros remblai caillouteux 30.044	E	30.044	SE	FG
2018	Théâtre	3480	jpg	Coupe E/O du sondage E, vue partielle du gros remblai caillouteux 30.044	E	30.044	SE	FG
2018	Théâtre	3481	jpg	Coupe E/O du sondage E, vue partielle du gros remblai caillouteux 30.044 (avec l'échelle d'accès au sondage)	E	30.044	SE	FG
2018	Théâtre	3482	jpg	Coupe E/O du sondage E, vue partielle du gros remblai caillouteux 30.044 (avec l'échelle d'accès au sondage)	E	30.044	SE	FG
2018	Théâtre	3509	jpg	Début du désherbage de la moitié nord de la cavea / Inizio della diserbatura della metà settentrionale della cavea				FG
2018	Théâtre	3510	jpg	Vue d'ensemble du théâtre depuis l'acropole nord				FG
2018	Théâtre	3511	jpg	Vue d'ensemble du théâtre depuis l'acropole nord				FG
2018	Théâtre	3512	jpg	Vue d'ensemble du théâtre depuis l'acropole nord				FG
2018	Théâtre	3513	jpg	Vue d'ensemble du théâtre depuis l'acropole nord				FG
2018	Théâtre	3514	jpg	Vue d'ensemble du théâtre depuis l'acropole nord				FG
2018	Théâtre	3515	jpg	Vue d'ensemble du théâtre depuis l'acropole nord				FG
2018	Théâtre	3516	jpg	Vue d'ensemble du théâtre depuis l'acropole nord				FG
2018	Théâtre	3517	jpg	Vue d'ensemble du théâtre depuis l'acropole nord				FG
2018	Théâtre	3518	jpg	Vue d'ensemble du théâtre depuis l'acropole nord				FG
2018	Théâtre	3519	jpg	Vue d'ensemble du théâtre depuis l'acropole nord				FG
2018	Théâtre	3520	jpg	Vue d'ensemble du théâtre depuis l'acropole nord				FG
2018	Théâtre	3521	jpg	Vue d'ensemble du théâtre depuis l'acropole nord				FG
2018	Théâtre	3522	jpg	Vue d'ensemble du théâtre depuis l'acropole nord				FG
2018	Théâtre	3523	jpg	Vue d'ensemble du théâtre depuis l'acropole nord				FG
2018	Théâtre	3524	jpg	Vue d'ensemble du théâtre depuis l'acropole nord				FG
2018	Théâtre	3525	jpg	Vue d'ensemble du théâtre depuis l'acropole nord				FG
2018	Théâtre	3526	jpg	Vue d'ensemble du théâtre depuis l'acropole nord				FG
2018	Théâtre	3527	jpg	Vue d'ensemble du théâtre depuis l'acropole nord				FG
2018	Théâtre	3528	jpg	Vue d'ensemble du théâtre depuis l'acropole nord				FG
2018	Théâtre	3529	jpg	Visite de Vincent Michel et Anastasio Gianfranco sur la zone du théâtre				FG
2018	Théâtre	3530	jpg	Blocs taillés en roche volcanique noire (basalte ?), dans l'us 30.049	E	30.049		FG

SECTEUR « THÉÂTRE »

Inventaire des photographies numériques

Code d'inventaire

Année	Secteur	Num	Format	Légende	Locus	Us	Orienteation	Auteur
2018	Théâtre	3531	jpg	Blocs taillés en roche volcanique noire (basalte ?), dans l'us 30.049	E	30.049		FG
2018	Théâtre	3532	jpg	Blocs taillés en roche volcanique noire (basalte ?), dans l'us 30.049	E	30.049		FG
2018	Théâtre	3533	jpg	Blocs taillés en roche volcanique noire (basalte ?), dans l'us 30.049	E	30.049		FG
2018	Théâtre	3534	jpg	Blocs taillés en roche volcanique noire (basalte ?), dans l'us 30.049	E	30.049		FG
2018	Théâtre	3535	jpg	Blocs taillés en roche volcanique noire (basalte ?), dans l'us 30.049	E	30.049		FG
2018	Théâtre	3536	jpg	Blocs taillés en roche volcanique noire (basalte ?), dans l'us 30.049	E	30.049		FG
2018	Théâtre	3540	jpg	Vue d'ensemble du théâtre depuis l'extrémité orientale du secteur				FG
2018	Théâtre	3541	jpg	Vue d'ensemble du théâtre depuis l'extrémité orientale du secteur				FG
2018	Théâtre	3542	jpg	Vue d'ensemble du théâtre depuis l'extrémité orientale du secteur				FG
2018	Théâtre	3543	jpg	Vue d'ensemble du théâtre depuis l'extrémité orientale du secteur				FG
2018	Théâtre	3544	jpg	Vue d'ensemble du théâtre depuis l'extrémité orientale du secteur				FG
2018	Théâtre	4368	jpg	Blocs du mur de parodos supérieur		30.060	NE	FG
2018	Théâtre	4369	jpg	Blocs du mur de parodos supérieur		30.060	NE	FG
2018	Théâtre	4370	jpg	Blocs du mur de parodos supérieur		30.060	NE	FG
2018	Théâtre	4371	jpg	Blocs du mur de parodos supérieur		30.060	NE	FG
2018	Théâtre	4372	jpg	Sondage AD en fin de campagne, vu depuis la cavea	AD		NE	FG
2018	Théâtre	4373	jpg	Blocs du mur de parodos supérieur		30.060	S	FG
2018	Théâtre	4374	jpg	Vue d'ensemble des vestiges du mur supérieur du parodos sud		30.060	S	FG
2018	Théâtre	4375	jpg	Vue d'ensemble des vestiges du mur supérieur du parodos sud		30.060	S	FG
2018	Théâtre	4376	jpg	Vue d'ensemble des gradins dégagés dans le sondage B	B		O	FG
2018	Théâtre	4377	jpg	Vue d'ensemble des gradins dégagés dans le sondage B	B		O	FG
2018	Théâtre	4378	jpg	Vue d'ensemble des gradins dégagés dans le sondage B	B		SO	FG
2018	Théâtre	4379	jpg	Vue d'ensemble des gradins dégagés dans le sondage B	B		SO	FG
2018	Théâtre	4380	jpg	Coupe O/E du sondage B au dessus des gradins	B		S	FG
2018	Théâtre	4381	jpg	Vue zénithale des trois gradins supérieurs dégagés	B		S	FG
2018	Théâtre	4382	jpg	Vue d'ensemble du sondage B en fin de campagne	B		SE	FG
2018	Théâtre	4383	jpg	Vue zénithale des trois gradins supérieurs dégagés	B		S	FG
2018	Théâtre	4384	jpg	Ensemble des blocs taillés dans de la roche volcanique noire	E	30.049		FG
2018	Théâtre	4420	jpg	Bloc de calcarénite (faux tuff) retrouvé dans le pierrier central, près de l'emplacement du sondage C.				FG
2018	Théâtre	4421	jpg	Bloc de calcarénite (faux tuff) retrouvé dans le pierrier central, près de l'emplacement du sondage C.				FG
2018	Théâtre	4422	jpg	Bloc de calcarénite (faux tuff) retrouvé dans le pierrier central, près de l'emplacement du sondage C.				FG
2018	Théâtre	4423	jpg	Bloc de calcarénite (faux tuff) retrouvé dans le pierrier central, près de l'emplacement du sondage C.				FG
2018	Théâtre	4424	jpg	Bloc de calcarénite (faux tuff) retrouvé dans le pierrier central, près de l'emplacement du sondage C.				FG
2018	Théâtre	4425	jpg	Bloc de calcarénite (faux tuff) retrouvé dans le pierrier central, près de l'emplacement du sondage C.				FG
2018	Théâtre	4426	jpg	Ensemble de blocs taillés récupérés dans les remblais 30.044 : blocs architecture en calcarénite (faux tuff) et pavés de rue en arenite.		30.044		FG
2018	Théâtre	4427	jpg	Bloc de calcarénite (faux tuff) retrouvé dans le pierrier central, près de l'emplacement du sondage C.				FG
2018	Théâtre	4428	jpg	Ensemble de blocs taillés récupérés dans les remblais 30.044 : blocs architecture en calcarénite (faux tuff) et pavés de rue en arenite.		30.044		FG
2018	Théâtre	4429	jpg	Fragment de bandeau surmontant une section concave taillé dans un bloc de calcarénite. Fragment d'un siège de théâtre ?		30.042		FG
2018	Théâtre	4430	jpg	Fragment de bandeau surmontant une section concave taillé dans un bloc de calcarénite. Fragment d'un siège de théâtre ?		30.042		FG

SECTEUR « THÉÂTRE »

Inventaire des photographies numériques

Code d'inventaire

Année	Secteur	Num	Format	Légende	Locus	Us	Orientation	Auteur
2018	Théâtre	4431	jpg	Fragment de bandeau surmontant une section concave taillé dans un bloc de calcarénite. Fragment d'un siège de théâtre ?		30.042		FG
2018	Théâtre	4432	jpg	Travaux de mise en sécurité des sondages à la fin de la campagne				FG
2018	Théâtre	4438	jpg	Travaux de mise en sécurité des sondages à la fin de la campagne				FG
2018	Théâtre	4439	jpg	Travaux de mise en sécurité des sondages à la fin de la campagne				FG
2018	Théâtre	4440	jpg	Travaux de mise en sécurité des sondages à la fin de la campagne				FG
2018	Théâtre	4441	jpg	Travaux de mise en sécurité des sondages à la fin de la campagne				FG
2018	Théâtre	4442	jpg	Travaux de mise en sécurité des sondages à la fin de la campagne				FG
2018	Théâtre	4443	jpg	Travaux de mise en sécurité des sondages à la fin de la campagne				FG
2018	Théâtre	4444	jpg	Travaux de mise en sécurité des sondages à la fin de la campagne				FG
2018	Théâtre	4445	jpg	Travaux de mise en sécurité des sondages à la fin de la campagne				FG
2018	Théâtre	4451	jpg	Travaux de mise en sécurité des sondages à la fin de la campagne				FG
2018	Théâtre	Usc 30.062	jpg	Vue d'ensemble de la structure marquant la limite de la cavea dans le sondage G	G	30.062		FG

SECTEUR « ACROPOLE MÉRIDIONALE »

Inventaire des US/USC

Locus	Num	Nature	Sous	Sur	Équivalent	Égale à	Num. Contenant	Num. Remplissage	Description
	10.025	US	10.001	10.054					Remblai qui recouvre les tombes dans l'angle SE de la zone de fouille. Limon grisâtre comportant des blocs de pierre. Il correspond au fond du décapage de la campagne 2017
	10.038	USC	10.001	10.053					Couche de blocs avec des inclusions de céramique, tuiles, os et briques dans le sondage 10.000 E
	10.053	USC	10.038	10.063	10.005				Mur, composé sur deux assises visibles de gros blocs d'arénite pour la plus haute et de dalles et dallettes en arenaria antecitica. Apparu sous la couche de démolition 10.038, il disparaît à l'est quelques mètres avant la rupture de pente. Prolongement du mur 10.005 à l'est de la berme centrale nord/sud
	10.054	US	10.025	10.068					Couche épaisse, gris brun, observée dans un petit sondage réalisé dans l'angle SE de la fouille (C1). Cette couche limoneuse comporte de la TCA, des fragments de mortier et du mobilier céramique. Remblais
	10.055	USC	10.064	10.054?		10.039			Sépulture en coffre composée d'un alignement de pierres disposées de champ, orientée O/E., légèrement trapézoïdale. Lors de la campagne 2017, le n° 10.039 avait été attribué à cette sépulture.
	10.056	US	10.025	10.064		10.040	10.055		Couche limoneuse comblant la sépulture 10.055.
	10.057	US	10.001	10.012 10.058					Couche de tuiles canales dans la pièce centrale, marquant le sommet de la couche 10.012. Découverte d'une statuette en terre cuite et d'un bras de statuette en pierre.
	10.058	US	10.057	10.059					Couche limoneuse comprenant un amas de pierres, des morceaux de TCA, et de nombreuses plaques d'enduits (peints ?) disposés à plat. Nombreux nodules de roche pulvérulente.
	10.059	US	10.058	10.060					Couche comprenant beaucoup de morceaux de mortier hydraulique (tuileau) : blocs à plat pour la plupart, et verticaux le long des murs pour deux grandes plaques.
	10.060	US	10.011	10.071					Couche limoneuse sans matériel culturel. Niveau de sol de "terre battue", dans la pièce centrale, épais de 5 à 7 cm / Strato limonoso, senza materiale culturale.
	10.061	US	10.060	10.071		10.060 ?			Couche jaunâtre épaisse de 3 mm max. Niveau de sol primitif ou bien base du sol 10.060 ? / Strato limonoso, senza materiale culturale.
	10.062	US	10.034			10.034			Aménagement (couverture de sépulture ?) composé d'une grande dalle d'arenaria antecitica bordé au nord et à l'ouest par des dalles et éclats de terre cuite, par des blocs de roche non équarris à l'est.
	10.063	US	10.065			10.038			Couche composée de nombreux blocs de pierre taillée, briques et TCA
	10.064	US	10.056	10.055				10.055	Restes d'un enfant sur le fond de la sépulture 10.055. Les os disparus pour la plupart, conservés sous forme de poudre pour le reste, permettent de supposer une orientation E/O, tête à l'est.
	10.065	US	10.000	10.072 10.063 10.038					Couche limoneuse contenant un gros bloc de pierre et une dizaine de briques, ainsi que de nombreux ossements animaux, qui se trouve à côté de l'éboulis 10.063
	10.066	US	10.067	Fond de fouille					Couche de pierre locale qui s'effrite (marne argileuse), composé de roche écaillée et de blocs lités qui ressortent du niveau d'arasement de la partie écaillée

	Interprétation de l'USC	L.	I.	P.	D.	Consistance	Granulométrie	Couleur	Composants culturels	Interprétation des US	Croquis sur	Num. plan	Num. coupe	Auteur de la fiche
						Compacte, hétérogène		Grisâtre	Céramique, TCA, faune, mortier, charbons de bois, 1 monnaie	Remblai	10.054			Milan Melocco
	Démolition du mur 10.053							Marron/beige	Fragments de céramique, tuiles, briques, os animal et lithique		10.053			Marine Waszak
	Mur / Muro										10.053			Marine Waszak
						Compacte et hétérogène		Gris, brun gris	TCA, nodules de mortier, céramique. 1 pièce de monnaie	Remblai	10.066 10.067			Anne
	Sépulture en coffre										10.025 10.054			
						Compacte et homogène	Limon	Brun	Pas de composant culturel ?	Comblement de la sépulture	10.025			Vincent Mialhe
						Compacte et hétérogène	Limon	Brun rouge	Céramique, tuiles ++, briques, os animal, figurine en terre cuite et un bras de statuette en pierre	Possible niveau de destruction	10.057 10.060 10.071			Hadrien Nègre
						Compacte et hétérogène	Limon et blocs	Brun noir	Céramique, tuiles, briques et terre cuite	Possible niveau de destruction d'un mur de terre	10.060 10.071			Hadrien Nègre
						Compacte et homogène	Limon et blocs	Blanc et rouge	Mortier hydraulique	Possible niveau de destruction, sol d'un étage effondré ?	10.060 10.071			Hadrien Nègre
						Compacte et homogène	Limon	Brun	Sans	Sol	10.060 10.071			Hadrien Nègre
						Compacte et homogène	Limon	Brun	Sans	Sol ?	10.060 10.071			Hadrien Nègre
	Possible pavement ou sommet de tombe. / Possible pavimento o copertura di tomba.								Un clou		10.054			Milan Melocco
						Compacte et hétérogène	Limon et blocs.	Marron gris	Céramique, tuiles, briques, os animal, charbon de bois, terre cuite, lithique et mortier	Eboulis provenant du mur 10.053.	10.072 10.074			Marine Waszak
									Os humain		10.025			Vincent Mialhe
						Compacte et hétérogène	Limon et blocs	Marron gris	Céramique, tuiles, briques, os animal, terre cuite	Couche de recouvrement entre l'éboulis et 10.063	10.072 10.074			Marine Waszak
						Compacte et hétérogène	Limon et blocs	Gris	Sans	Sol géologique	10.067 10.065			Marie-Anaïa Zenou

SECTEUR « ACROPOLE MÉRIDIONALE »

Inventaire des US/USC

Locus	Num	Nature	Sous	Sur	Équivalent	Égale à	Num. Contenant	Num. Remplissage	Description
	10.067	US	10.068	10.066					Couche limoneuse jaunâtre intégrant des nodules de mortier et des petits cailloux, sans matériel culturel
	10.068	US	10.064	10.067					Couche très fine, rosâtre avec gravier et charbon / Strato sottile, rosaceo con ghiaia e carbone
	10.069	US	10.054	10.066					Couche meuble avec grains fins de couleur jaune, sans matériel. Elle est présente sur des zones réduites du sondage, probablement équivalente au remblai 10.054
	10.070	US	10.054	10.067	10.068				Couche compacte brun foncée présente sur l'us 10.067 et le sol géologique, mais pas dans tout le sondage
	10.071	US	10.060	Fond de fouille					Sol géologique. Marne argileuse en décomposition, observée sur près de 10 cm de profondeur.
	10.072	US	10.065	10.074					Couche de limon avec des blocs et de l'argilite
	10.073	US	10.015						Couche compacte avec beaucoup de TCA, de briques (dont une brique moulée), beaucoup d'os, et du matériel intacte comme une lampe en terre cuite
	10.074	US	10.072						Couche limoneuse avec de l'argilite
	10.075	US	10.065	10.077	10.058				Couche composée principalement de mortier hydraulique
	10.076	USC	10.073						Couche de blocs alignés dans le sondage 10.000 B1
	10.077	US	10.079						Couche de limon. Remblais
	10.078	US	10.000	Fond de fouille					Alignement de blocs (0,25 x 0,40 m en moyenne) dont la face plane est disposée vers le haut à peu près à la même hauteur. Ressemble à un mur, large de 0,67 m, avec deux dalles venant se plaquer contre à l'ouest.
	10.079	US	10.075	10.077					Couche composée de limon
	40.000	US		40.001	40.001				Terre végétale du sondage ayant direction E/O en pente vers l'O
	40.001	US	40.000	40.002, 40.003, 40.004, 40.005, 40.006, 40.007	40.000				Niveau inférieur terre végétale, mais plus compact
	40.002	US et USC	40.001	40.005 et 40.006					Partie supérieure moitié E margelle de la citerne, moitié O bouchage du comblement de la citerne (voir 40.005, 40.006, 40.007)

	Interprétation de l'USC	L.	I.	P.	D.	Consistance	Granulométrie	Couleur	Composants culturels	Interprétation des US	Croquis sur	Num. plan	Num. coupe	Auteur de la fiche
						Compacte et homogène	Limon	Jaune	Sans	Niveau de préparation du sol 10.068, venant combler les dépressions dans le terrain naturel 10.066	10.066 10.067			Marie-Anaïa Zenou
						Compacte et homogène	Limon et graviers	Rosatre	Sans	Sol de mortier	10.067		10.066	Marie-Anaïa Zenou
						Meuble et homogène	Limon	Jaune	Sans		10.067 / 10.069			Marie-Anaïa Zenou
						Compacte et homogène	Limon	Brun foncé	Sans	Base de 10.054 avec disparition du sol 10.068, soit épiphénomène durant l'utilisation du bâtiment (réfection du sol 10.068 disparu à cet endroit)	10.069			Marie-Anaïa Zenou
						Compacte et homogène	Limon et blocs	Gris	Sans	Sol géologique (marne argileuse)	10.060 10.071			Hadrien Nègre
						Compacte et homogène	Limon, blocs et argile	Marron jaune. /	Céramique, tuiles, briques, os animal, charbon de bois, terre cuite et mortier		10.072		10.074	Marine Waszak
						Compacte et hétérogène	Limon et blocs	Gris	Céramique (une lampe), tuiles, briques et terre cuite (une tête)	Possible niveau de destruction	10.073 / 10.076			Hadrien Nègre
						Compacte et homogène	Argile et Limon	Jaunâtre	Céramique, os animaux, charbon de bois	Possible niveau de sol	10.075		10.074	Camille Blanchet
						Compacte et homogène	Limon et blocs	Blanc et rouge	Céramique et mortier	Possible niveau de destruction	10.075			Hadrien Nègre
	Marches d'escaliers ?/Gradini di scala?										10.076			Marie-Anaïa Zenou
						Compacte et homogène	Limon	Gris Brun	Céramique, métal (pièces)		10.075			Hadrien Nègre
	Mur / Muro	2,66	0,67 probable, avec 2 pierres sur le côté ouest dominant une largeur maximale de 1,18				Limon		Céramique, tuiles, briques, os animaux, terre cuite et lithique		10.075			Hadrien Nègre
						Meuble et homogène	Limon	Gris	Céramique					Hadrien Nègre
		8m	2,2m	0,25m		Compacte, homogène	Limon	Gris-beige	Céramique, métal, tuiles, os animaux, charbon de bois, terre-cuite, mortier					MV et SM
		idem	idem	0,05m		Compacte, homogène	Limon	Gris-beige	Céramique, métal, tuiles, os animaux, charbon de bois, terre-cuite, mortier					AL et SM
	Margelle de la citerne	1,57m	1,25m			Compacte, homogène	Limon & blocs	Gris-beige	Brique					AL et SM

SECTEUR « ACROPOLE MÉRIDIONALE »

Inventaire des US/USC

Locus	Num	Nature	Sous	Sur	Équivalent	Égale à	Num. Contenant	Num. Remplissage	Description
	40.003	US	40.001 40.002						Niveau de marne argileuse
	40.004	US	40.000 40.001	40.003					Ensemble de blocs de pierres de 5 à 35 cm (agrandissement du sondage de 2m X 0,80m, côté Nord)
	40.005	USC	40.001 40.002	40.003					Fosse
	40.006	US	40.001 40.002	40.008			40.005		Comblement
	40.007	USC	40.001 40.002				40.005	40.006	Citerne
	40.008	US	40.006				40.005		Comblement
	50.000		Néant	50.010 / 50.011 / 50.012					L'us 50.000 se trouve à l'intérieur du bâtiment de forme carrée et offre l'état d'abandon (absence d'éléments de datation). Les murs ouest et nord sont effondrés sur l'intérieur. Elle est constituée de blocs de parement, d'éléments de dallage, de tuiles, et de briques.
	50.001		50.000 / 50.007	fonda- tions pas obser- vées					Mur de soutènement (?) à l'est du bâtiment, composé de blocs de parement montés en pierre sèche, séparé en deux parties par l'entrée. Il est conservé sur une seule assise.
	50.002		Néant	50.005					Couche accolée au mur sud de l'édifice (Us 50.008), composée de petites pierres et de graviers. Base d'un mur ou muret de soutènement totalement spolié.
	50.003		Néant	50.009					Mur ou muret de soutènement composé de blocs de parement récupérés, à l'ouest de la tour. On constate sur la moitié sud un effondrement de la structure vers l'extérieur du bâtiment.
	50.004		Néant	50.008					Mur de soutènement septentrional composé de blocs de parement, de petites pierres et de gravats, relativement bien conservé.
	50.005		50.000 / 50.001	fonda- tions pas obser- vées					Mur est du bâtiment dans lequel s'ouvre l'ouverture. Entre 0,60 et 0,65 m de largeur, construction identique que le mur 50.006, avec des blocs de réemploi installés en boutisse faisant presque la largeur du mur ; la moitié sud est conservé sur 1,40 m en moyenne, tandis que la moitié nord est présente entre 1 et 1,10 m. Les quatre murs sont chaînés ensemble. Au niveau de la porte, le seuil marque une marche : celle du bas créant un renforcement dans le mur. La marche du haut est profonde de 0,40 m et large de 0,80 m, ce qui correspond à la largeur maximale de l'ouverture de la porte. En ce qui concerne la marche basse, elle est large de 0,40 m et longue d'1,10 m. Elle arrive au même niveau que 50.013.
	50.006		50.000 / 50.004	fonda- tions pas obser- vées					Mur nord du bâtiment, composé de deux parements de blocs bruts et blocs en réemploi, avec un blocage d'éclats calcaires, de gravier, de petits blocs, tca, avec pour liant un limon argileux jaunâtre. De nombreux éclats de calcaire (marne argileuse). Dans les parements, on remarque régulièrement l'emploi de tca pour caler les blocs supérieurs, ainsi que des plaquettes insérées verticalement. Le parement interne verse vers l'intérieur de l'édifice. D'une manière générale, l'essentiel des blocs du bâtiment provient de réemploi de blocs de parement antiques.
	50.007		50.000 / 50.003	fonda- tions pas obser- vées					Mur ouest du bâtiment, identique dans sa composition au mur 50.006. On note un versement du mur vers l'intérieur du bâtiment.
	50.008		50.000 / 50.004	fonda- tions pas obser- vées					Mur sud du bâtiment. On remarque une niche aménagée dans le parement intérieur auprès de l'angle sud-ouest, à 0,70 m de hauteur depuis le sol. Elle mesure 0,22 m de largeur et 0,25 m de hauteur.
	50.009		Annulée	Annulée	Annulée	Annulée	Annulée	Annulée	Annulée
	50.010		50.000	50.013					Base de la couche 50.000 semblant correspondre à l'effondrement des murs nord et est.
	50.011		50.000	50.013					Structure quadrangulaire dans l'angle sud-ouest de la pièce, composée de gros blocs plus ou moins alignés selon leur placement initial dans le parement du mur. Effondrement à plat du mur sud.

	Interprétation de l'USC	L.	I.	P.	D.	Consistance	Granulométrie	Couleur	Composants culturels	Interprétation des US	Croquis sur	Num. plan	Num. coupe	Auteur de la fiche
						friable, homogène	marne argileuse	Gris foncé		Sol géologique	40 004			AL et SM
			1,20m			Compacte, homogène	Limon & blocs	Gris-beige	Céramique, métal, tuiles, os animaux, charbon de bois, terre-cuite, mortier, plomb, verre	Destruction, éboulis				AL et SM
				0,20 / 0,40m										
	Creusement de la citerne	1,20m	1,10m											AL et SM
		1,20m	1,10m			Compacte, homogène	marne argileuse et limon & blocs		Céramique, métal, tuiles, os animaux, terre-cuite, mortier	Comblement par éléments architecturaux de destruction et terre				AL et SM
	Citerne de type campaniforme?	1,20m	1,10m										1.	SM
		1,20m	1,10m			Très compacte, homogène			Céramique, tuiles, os animaux, terre-cuite, mortier	Comblement par éléments architecturaux de destruction et terre				SM
		3,09	3,26				Blocs		tca	Effondrement du bâtiment	50.000			Anis & Jimmy
	Mur de soutènement	1,10 x 2	0,90	0,15							50.001			Anis & Jimmy
		1,92	0,67	0,10				Gris		Fantôme d'un mur de soutènement ?	50.002			Anis & Jimmy
	Mur de soutènement	4,80	0,55	0,13							50.003			Anis & Jimmy
	Mur de soutènement	4,59	0,56	0,65							50.004			Anis & Jimmy
	Mur est du bâtiment	interne 3,26									50.005			Anis & Jimmy
	Mur nord du bâtiment	interne 3,25	0,65 vers l'ouest à 0,70 m à l'est								50.006			Anis & Jimmy
			0,60 (originelle) à 0,75 à l'état actuel								50.007			Anis & Jimmy
			0,75								50.008			Anis & Jimmy
	Annulée	Annulée	Annulée	Annulée	Annulée	Annulée	Annulée	Annulée	Annulée	Annulée	Annulée	Annulée	Annulée	Annulée
	Effondrement	1,30	0,69	0,20							50.010			Anis & Jimmy
	Effondrement	1,95	0,47	0,20							50.011			Anis & Jimmy

SECTEUR « ACROPOLE MÉRIDIONALE »

Inventaire des US/USC

Locus	Num	Nature	Sous	Sur	Équivalent	Égale à	Num. Contenant	Num. Remplissage	Description
	50.012		50.000	50.013					Alignement de blocs de parement correspondant à l'effondrement du mur ouest.
	50.013		50.010 / 50.011 / 50.012	TN (roche mère)					Unique niveau de sol à l'intérieur du bâtiment. Terre battue (?) reposant sur la roche mère. Absence d'éléments de datation. Ce sol semble avoir été nettoyé avant l'abandon de la structure. On remarque un peu partout des affleurements rocheux qui sortent de 10 à 20 cm du sol, ce qui correspond au niveau de la marche haute du seuil ; on peut se demander si le sol initiale (dallage ?) n'a pas été totalement réemployé. L'us 50.012 correspondait possiblement au reste de ce dallage, tout comme les deux pierres plates coincées sous l'éboulis du mur ouest, près de l'angle sud-ouest de la pièce.

	Interprétation de l'USC	L.	l.	P.	D.	Consistence	Granulométrie	Couleur	Composants culturels	Interprétation des US	Croquis sur	Num. plan	Num. coupe	Auteur de la fiche
	Effondrement	1,20	0,47	0,20							50.012			Anis & Jimmy
	Niveau de sol										50.013			Anis & Jimmy

SECTEUR « A SUD DELL'AGORA »

Inventaire des US/USC

Locus	Num	Nature	Sous	Sur	Équivalent	Égale à	Num. Contenant	Num. Remplissage	Description
S1, S2, S3, S4	20000	US	Néant	20001					Couche végétale de surface, compacte et homogène, de couleur grise.
S1, S3	20001	US	20000	20002 20011					Couche de remblai composée d'une terre grise foncée, compacte, humide avec présence de fragments de mortier de tuileau, nombreux fragments de céramique et de tuiles contenant une monnaie en bronze [M.2017.D1.01]
S1	20050	USc	20000	20002					Mur orienté nord-sud, composé de petits blocs de pierre locale friable correspondant au mur USC 20008 dégagé en 2016.
S1	20051	US							Couche de comblement composée d'une terre grise limoneuse et compacte, avec de nombreuses inclusions de petits blocs, de brique et de mortier contre le mur USc 20053 (cf. Fouille italienne, 1953)
S1	20052	US	20000						Couche de remblai composée d'une terre gris/marron, compacte, limoneuse avec de nombreux morceaux de tuileaux et de TCA, de la céramique et du verre ainsi que des nodules de mortier très friable.
S1	20053	USc							Mur à double parement et blocage central, composé de petits blocs, orienté ouest-est, adossé au mur USc 20050 dégagé lors des fouilles italiennes de 1953.
S1	20054	USc	20052						Mur à parement, non dégagé dans sa largeur (> 36 cm), orienté est-ouest, formé de blocs de pierre locale, observable sur 1,47 mètres de long ; probablement chaîné au mur US s 20055.
S1	20055	USc	20052						Mur à parement, non dégagé dans sa largeur (> 37 cm), orienté nord-sud, formé de blocs de pierre locale, observable sur 0,90 à 2,72 m ; probablement chaîné au mur US s 20054.
S4	20056	US	20000	20057					Couche de remblai, homogène et compacte, composée d'une terre marron-grise avec des inclusions de mortier, de beaucoup de TCA, de graviers et de blocs épars ; cette couche recouvre le mur USc 20022.
S4	20057	US	20056						Fond du décapage de surface, faisant apparaître une couche de terre compacte et homogène, gris/blanchâtre, avec de petites pierres et des fragments de TCA disposés en oblique et plantés dans le sol.
S4	20058	US	20000	20059					Couche de remblai, homogène et compacte, composée d'une terre compacte et homogène, gris/brun avec des éclats de TCA et de nombreux fragments de calcaire, de nodules de mortier et des inclusions de charbon.
S4	20059	US	20058						Couche de remblai, homogène et compacte, composée d'une terre marron, homogène avec des éléments épars de nodules de calcaire, des fragments de TCA plus gros que ceux de US 20058, ainsi que de nombreux cailloux et de petits blocs.
S4	20060	US					20059		Couche de remblai, homogène et compacte, composée d'une terre gris/marron, équivalent à US 20057 mais avec de plus gros blocs intégrés dedans.
S4	20061	US							Couche de remblai composée d'une terre blanchâtre virant au beige, avec des nodules de chaux, une grande quantité de fragments de dolia « recouvrant » (à préciser) le sommet du remblai de la fosse de la citerne.
S4	20062	US							Décapage mécanique du sud du secteur 4.
S4	20063	US							Couche de terre blanchâtre et argileuse, insérée dans la couche US 20056 le long de la coupe nord ; probablement un amas de chaux provenant du comblement, observable sur 1 mètre de long (NS) et 0,70 mètre (EO).
S3	20064	USc	20056	20037					Dallage composé de carreaux de terre cuite (env. 0,20 sur 0,30 m), situé à l'est du mur USc 20022, conservé sur 2,75 m nord-sud et 1,10 m est-ouest.
S3	20065	US	20000	20064				20036	Couche de remblai composée d'une terre très compacte comportant de nombreux morceaux de dallage en terre cuite et petits blocs, recouvre le dallage (US 20064) et vient contre le mur USc 20022. Couche observable sur une surface de 2 m de côté environ.

	Interprétation de l'USC	L.	I.	P.	D.	Consistance	Granulométrie	Couleur	Composants culturels	Interprétation des US	Croquis sur	Num. plan	Num. coupe	Auteur de la fiche
	Surface			20 cm		Compacte parfois meuble hétérogène	Limon avec gravier et cailloux	Gris	céramique, tuille	Terre végétale	30001			Y. Khalloufi
	Remblai			25 cm		Compacte	Limon	Gris foncé	Céramique, verre, métal, tuille, brique, os animal, tesselles, fragment de mortier, monnaie	Terre de remblai	30002			Y. Khalloufi
	Mur	2,47												J. Coudrin
	Comblement					Compacte, hétérogène	Limoneux	gris	petits bocs, brique, mortier, os	Comblement				J. Coudrin
	Remblai					Compacte, hétérogène	Limoneux	gris/ marron	céramique, verre, tuile et brique	Remblai				J. Coudrin
	Mur	0,55	0,34	0,35 à 0,60 côté nord			Bloc							J. Coudrin
	Mur	1,47	> 0,36	10			Bloc							J. Coudrin
	Mur	2,72	> 0,37	10			Bloc							J. Coudrin
	Remblai					Compacte, hétérogène	Limoneux	gris/ marron	mortier, graviers, TCA et blocs épars					J. Coudrin
	Remblai ?					Compacte, homogène	Limoneux	gris blan- châtre	Pierre, TCA					J. Coudrin
	Remblai					Compacte, hétérogène	Limoneux	gris brun	TCA, frag- ments de calcaire, mortier, charbon					J. Coudrin
	Remblai					Compacte, homogène	Limoneux	marron	nodules de calcaire, fragments de TCA plus gros que ceux de 20058, nombreux cailloux et blocs					J. Coudrin
	Remblai					Compacte, homogène	Limoneux	marron	nodules de calcaire, fragments de TCA, nombreux cailloux et blocs					J. Coudrin
	Remblai								Céramique					J. Coudrin
						Compacte	Chaux	blanchâtre						J. Coudrin
	Sol	2,75	1,10											J. Coudrin
	Remblai	2	2			Compacte	Limoneux	marron/ gris	Tuile briques lithique, os d'animaux					J. Coudrin

SECTEUR « A SUD DELL'AGORA »

Inventaire des US/USC

Locus	Num	Nature	Sous	Sur	Équivalent	Égale à	Num. Contenant	Num. Remplissage	Description
S3	20066	USc	20065						Mur à double parement, recouvert par la couche de remblai US 20065, composé de briques, de petits blocs et de fragments de tuiles liées par un mortier gris/brun.
S3	20067	USc	20065						Sol en mortier très compact délimité à l'ouest par le mur USc 20022 (remontée du mortier contre le parement du mur) et à l'est par le dallage USc 20064 qui le coupe.
S3	20068	USc	20065						Mur orienté nord-ouest/sud-est, à probable double parement (parement ouest conservé et petits blocs à l'est), conservé sur 1,10 m de long et 0,50 de large, presque parallèle au mur USc 20022.
S3	20069	US	20065	20067					Sol en mortier très compact composée d'une terre marron/grise avec de nombreux fragments de dallage, située entre les murs USc 20022 et USC 20066.
S3	20070	US	20065	20067					Couche de terre rubéfiée formant une petite poche de 0,60 (NS) sur 0,55 m (EO), avec de nombreuses inclusions de charbon, recouvrant l'US 20067 et venant contre le dallage USc 20064.
S4	20071	USc	20059						Alignement de blocs de pierre à peine équarris, orienté sud-est/nord-ouest situé dans l'angle sud-ouest du secteur 4, reposant sur le sol US 20084. Peut-être un mur ?
S4	20072	USC	20060						Mur à double parement et blocage central, composé de blocs de pierre à peine équarrée, orienté nord-est/sud-ouest, parallèle à USc 20073 et situé dans l'angle sud-ouest du secteur 4. Mur semblant posé sur le sol US 20084.
S4	20073	USc	20059						Mur à probable double parement (seul le parement nord est visible) composé des blocs de pierre à peine équarrée, orienté sud-est/nord-ouest, parallèle à US 20072, situé dans l'angle sud-ouest du secteur 4 ; mur contemporain du sol US 20084.
S4	20074	USc	20059						Alignement de quelques blocs épars, semblant former un mur orienté sud-est/nord-ouest, parallèle à USc 20071 et ayant entaillé le sol US 20084 ; situé près de l'angle sud-ouest du secteur 4.
S4	20075	US	20000	20022					Couche de remblai composée d'une terre limoneuse avec de nombreux fragments de TCA, de la céramique et des blocs, recouvrant le mur USc 20022 ou le remplaçant au sud.
S3	20076	USc	20069						Bloc de basalte correspondant au seuil de porte dans le mur USC 20066, adossé à USc 20022.
S3.1	20077	US		20081, 20082					Couche de terre verdâtre contenant des tessons, du cailloutis, de nombreux nodules d'argilite et des fragments d'enduit provenant du mur ; sondage dans le sol en mortier (US 20067) pour retrouver le sol d'origine contemporain au mur USc 20022.
S3	20078	USc						20028	Niveau de sol en mortier peint de couleur rouge conservé, en l'état de la fouille, sur une surface de 20 sur 40 cm, à l'est du mur USc 20022 et semblant être coupé par le mur USc 20066.
S3	20079	US	20065	20078				20065 ?	Fine couche de comblement composée d'une terre limoneuse et de petits fragments de mortier, recouvrant le sol en mortier peint (USc 20078).
S3	20080	USc							Enduit blanc recouvrant le mur USc 20022 conservé sur 0,40 m de hauteur et de 1,5 cm d'épaisseur.
S3	20081	US	20082	20077					Couche de radier composée d'une terre blanchâtre compacte limoneuse, venant contre l'enduit (USc 20080) du mur USc 20022 avec inclusion de marne blanche ; probable couche préparatoire à la pose du sol en mortier USc 20077.
S3	20082	US	20067	20077					Couche de terre et de gravillons rouge très friable, remblai venant probablement compléter le nivellement du sol pour la mise en place du sol en mortier USc 20067.
S4	20083	US	20075						Couche de terre argilo-limoneuse avec de nombreuses inclusions de roche/terrain naturel blanchâtre recouvrant le mur USc 20022 dans sa partie sud du secteur 4.
S4	20084	USC	20059						Sol en mortier compact observable dans l'espace compris entre les murs USc 20071, USc 20072, USc 20073 et USc 20074. Sol semblant contemporain du mur USc 20073 et semblant passer sous le mur USc 20072 et antérieur au mur USc 20074.

	Interprétation de l'USC	L.	l.	P.	D.	Consistance	Granulométrie	Couleur	Composants culturels	Interprétation des US	Croquis sur	Num. plan	Num. coupe	Auteur de la fiche
	Mur	1,34	0,52											J. Coudrin
	Sol	1,30 (EO)	2,40 (NS)	4 cm		Compacte	Chaux		Chaux mêlée de fragments de tuille	sol				J. Coudrin
	Mur	1,10	0,50	0,35										J. Coudrin
	Démolition								Tuile, fragments de dallage en grande quantité	Niveau de démolition				M. Vialle
	Occupation				60			rouge/noire	charbon	Niveau de foyer (?)				J. Coudrin
	Mur	1,90	?	0,25										J. Coudrin
	Mur	1,80	0,80	0,20										J. Coudrin
	Mur	2,50	?											J. Coudrin
	Mur													J. Coudrin
	Remblai					Compacte	Limoneux	Marron	Céramique, tuiles, brique, os et lithique					J. Coudrin
	Mur	0,80	0,21				Basalte	Gris/noir						J. Coudrin
	Comblement					Meuble	Argilo-limoneux	Vert	céramique, tuiles, os animal et mortier					J. Coudrin
	Sol	0,40	0,20			Compacte	blanc/rouge		Mortier de tuileau avec inclusions de charbon					A. Rageau
	Comblement					Compacte	Limoneux	Marron	Céramique, os animal, verre, mortier					J. Coudrin
	Mur			40		Compacte		Blanc						J. Coudrin
	Radier					Compacte	Limoneux	Blanc	Marne blanche					J. Coudrin
	Radier					Compacte et homogène	Gravier	Rouge						J. Coudrin
	Remblai					Compacte	Argilo-limoneux	Marron et rouge	Céramique, tuile					J. Coudrin
	Sol	1,88	1,10			Compacte	Mortier de tuileau	Blanc et rouge	Inclusions de chamotes et fragments de TCA					J. Coudrin

SECTEUR « THÉÂTRE »

Inventaire des US/USC

Locus	Num	Nature	Sous	Sur	Équivalent	Égale à	Num. Contenant	Num. Remplissage	Description
Sondage E	30.046	Usc	30.043	30.045					Fragment de bloc de tufeau (calcarénite) présentant les mêmes caractéristiques que 30.047 : on distingue un bandeau horizontal, large de 11 cm; formant le lit d'attente pour le bloc suivant, puis en léger contrebas une bande formant la zone de circulation. Fragment de siège de théâtre, en place sur la roche mère.
Sondage E	30.047	Usc	30.044	30.044					Bloc de calcarénite (tufeau) qui n'est plus en place, mais probablement à proximité de son emplacement initial. Lit d'attente sur la partie supérieure de 11 cm de large, suivi d'un léger chanfrein de 5 cm de large et 3 cm de haut. La zone de circulation mesure 40 cm de large, puis une remontée en pente douce formant chanfrein, moins prononcé, la relie à la zone de siège large de 30 cm. Un bandeau mal conservé sur la face, de 10 cm de haut, surmonte une courbe rentrante, haute de 28 cm, en retrait de 9 cm par rapport au plan du bandeau.
Sondage AD	30.048	Usc	30.034	30.040					Ensemble constitué de deux blocs de pierre placés contre le parement interne du rempart, au droit de la canalisation 30.032. Ils reposent directement sur 30.040. Fonction inconnue, peut-être à mettre en lien avec la couverture de la canalisation.
Sondage E	30.049	Usc	30.042	30.045					Quatre blocs semblables taillés dans une roche volcanique noire (basalte ?), inclus dans une couche de remblais. Cette dernière associée dans une matrice limoneuse plus foncée que la couche 30.042, des fragments de blocs et beaucoup de TCA. Quelques tessons de céramique. Couche de remblais présentant un double pendage vers le sud et vers l'est.
Sondage AD	30.050	Us	30.007	30.052					Couche compacte et hétérogène composée de limon brun avec des incrustations d'argile et de minéraux (éclats calcaires ou marneux), de gros blocs de mortier, des pierres, de la TCA (briques et tegulae), des galets, quelques petits fragments de charbon. Elle contient de nombreux tessons de céramique, deux scories et quelques éléments de faune. Il s'agit très probablement d'une nouvelle couche de remblais semblable à 30.007, mais plus argileuse. Elle semble pencher en créant une cuvette en direction de 30.032.
Sondage AD	30.051	Us	30.007	30.037					Couche limono-argileuse très compacte de couleur gris clair avec de gros blocs de pierre, de la TCA et des plaques de grandes dimensions de béton de tulleau. Elle contient très peu de mobilier, avec seulement quelques tessons de céramique. Il s'agit probablement d'une autre couche de remblais qui semble être de plus en plus aplaniée par rapport au pendage général.
Sondage AD	30.052	Us	30.050	30.034					Couche compacte et hétérogène composée de limon argileux brun clair, avec des blocs, des cailloux et de la TCA. Elle contient de nombreux éléments de construction en terre cuite, ainsi que de nombreuses céramiques et quelques nodules de charbon de bois, de petits éléments de faune, et du verre. Il s'agit probablement d'une couche de remblais, semblable à 30.050 et 30.007, mais avec un pendage prononcé en direction du rempart et de la canalisation qui s'ouvre dedans.
Sondage AD	30.053	Us	30.035	30.036					Couche marron compacte et hétérogène comprenant des blocs de pierre, des TCA (briques, tuiles). Elle comporte de nombreux fragments de céramique de taille moyenne et de nombreux éléments de faune. Probablement une couche de remblais, qui suit la pente générale du terrain jusqu'à la canalisation 30.032, composée des plus gros éléments de l'us 30.052, qui se sont accumulés dans la canalisation et contre le rempart.
Sondage F	30.054	Us	Néant	30.055					Couche meuble composée d'humus avec de nombreuses racines, des cailloux de taille moyenne. Elle contient quelques petits fragments de TCA et peu de mobilier céramique. Terre végétale reposant à la fois directement sur l'aménagement 30.055 en partie haute, et sur la couche de remblais 30.056, en suivant le pendage naturel.
Sondage F	30.055	Usc	30.054	30.056					Empilement de blocs de roche naturelle locale grise, et de blocs taillés en calcarénite (tufeau). En l'état, cinq assises de mur se dessinent. Aménagement identifié comme le mur inférieur du parodos méridional du théâtre d'Halaesa.
Sondage F	30.056	Us	30.055	30.057					Couche compacte et hétérogène constituée de petits blocs de pierre, de nombreux cailloux et d'éléments de TCA, dans une matrice limoneuse. Colluvionnement suivant le pendage naturel.
Sondage F	30.057	Us	30.056	30.058					Us compacte et hétérogène composée de limon, de gros blocs de pierre, et de TCA. La couche est directement liée à l'Usc 30.055 et semble être une couche de démolition du mur de parodos bas.
Sondage F	30.058	Us	30.057	fond de fouille					Terrain naturel en place ? Remblais ? Couche de marne dégradée et peut-être remobilisée, apparue en fond de sondage, impossible à interpréter.
Mur du parodos	30.059	Usc	30.000	fond de fouille					Blocs imposants, taillés dans de la calcarénite (tufeau), accolés à la roche mère, situé à quelques mètres au nord du sondage F. Ces blocs font parti d'un ensemble identifié comme le mur inférieur du parodos méridional.
Mur du parodos	30.060	Usc	30.000	fond de fouille					Alignement de plusieurs assises en escalier, constituées de roche grise, marquant la limite orientale de la cavea. Sommet du mur supérieur du parodos méridional.
Sondage F	30.061	Usc	30.042	30.045					Grand dallage monumental constitué de plaques de marne et d'arenite. Cet ensemble posé à l'ouest contre le substrat, semble marquer la limite occidentale de l'orchestra.

SECTEUR « THÉÂTRE »

Inventaire des US/USC

Locus	Num	Nature	Sous	Sur	Équivalent	Égale à	Num. Contenant	Num. Remplissage	Description
Sondage G	30.062	Usc	30.000	fond de fouille					Construction composée de gros blocs de roche naturelle, formant un angle droit. Le mur correspond avec l'alignement du mur sud de la cavea, et marque la limite occidentale de cette dernière.



Le théâtre antique d'Halaesa © F. Gerber / MAFHA



E.A. 4284



Textes, Représentations, Archéologie, Autorité et Mémoires de l'Antiquité à la Renaissance



Terre d'Orient

